



**YILDIZ TEKNİK ÜNİVERSİTESİ**  
**FEN BİLİMLERİ ENSTİTÜSÜ**

**ÇOK FONKSİYONLU PROTEZLER İÇİN  
YAPAY SINİR AĞLARI KULLANILARAK  
MİYOELEKTRİK KONTROL**

**34754**

**Elek. Yük. Müh. Bekir KARLIK**

**F.B.E. Elektrik Mühendisliği Anabilim Dalında hazırlanan**

**DOKTORA TEZİ**

**Tez Savunma Tarihi : 1 Mart 1994**

**Tez Danışmanı : Prof. Dr. Halit PASTACI (Y.T.Ü.)**

**Jüri Üyeleri : Prof. Dr. Ertuğrul YAZGAN (İ.T.Ü.)**

**Doç. Dr. Mehmet KORÜREK (İ.T.Ü.)**

**İSTANBUL, MART 1994**

## **TEŞEKKÜR**

Bu tezin hazırlanmasında ve çalışmalarım sırasında yönlendirme, teşvik ve her türlü desteği ile bana yardımcı olan Sayın Hocam Prof. Dr. Halit PASTACI'ya teşekkürlerimi sunarım.

Biyolojik işaret işleme konularında yardımım esirgemeyen ITÜ Elektronik ve Haberleşme Mühendisliği Bölümü Tıp Elektroniği Anabilim Dalı öğretim üyelerinden Doç. Dr. Mehmet KORÜREK'e, yapay sinir ağları ile ilgili hususlarda bana yol gösteren Boğaziçi Üniversitesi Bilgisayar Mühendisliği Bölümü öğretim üyesi Sayın Doç. Dr. Fikret GÜRGÜN'e ve arkadaşlarına yardımlarından dolayı teşekkürlerini bir borç bilirim.

Ayrıca her an ilgi ve desteğini üzerinden eksik etmeyen sevgili eşime en içten teşekkürlerimi sunarım.

Aralık 1993

Bekir Karlık

## **İÇİNDEKİLER :**

<b>Özet</b>	I
<b>Summary</b>	II
<b>1.GİRİŞ</b>	1
<b>1.1 Konunun Tanıtılması</b>	1
<b>1.2. Miyoelektrik Kontrollü Protezlerin Gelişimi</b>	2
<b>1.3. Mevcut Çalışmaların Eksiklikleri</b>	4
<b>2. EMG'NİN OLUŞUMU VE ÖLÇÜLMESİ</b>	7
<b>2.1. Uyarılabilen Hücrelerin Elektriksel Aktivitesi</b>	7
<b>2.1.1. Dinlenme Durumu</b>	7
<b>2.1.2. Aksiyon Durumu</b>	7
<b>2.2. Elektromiyogram (EMG)</b>	8
<b>2.3. Miyoelektrik İşaret Bilgisinin Ölçüllererek Elde Edilmesi</b>	9
<b>3. BİYOLOJİK İŞARET İŞLEME</b>	11
<b>3.1. Temel Kavramlar ve İşaretlerin Sınıflandırılması</b>	11
<b>3.2. İşaret İşlemenin Temelleri</b>	12
<b>3.3. Rastgele İşaret Modelleri</b>	13
<b>3.3.1. Wold Teoremi</b>	13
<b>3.3.2. Doğrusal (Lineer) Zaman Serileri Modellemesi</b>	14
<b>3.4. AR Katsayılarının Kestirimi</b>	17
<b>3.4.1. Özilişki Korelasyon Yöntemi</b>	18
<b>3.4.2. PARCOR Yöntemi</b>	19
<b>4. YAPAY SINİR AĞLARI ( YSA )</b>	22
<b>4.1. Giriş</b>	22
<b>4.2. Tarihsel Gelişimi</b>	22
<b>4.3. YSA'nın Tanımı ve Modeli</b>	23
<b>4.3.1. YSA'nın Tanımı</b>	23
<b>4.3.2. Nöronun Biyolojik Yapısı ve Nöron Modeli</b>	23
<b>4.4. YSA'nın yapısı ve İşlem Elemanı</b>	25
<b>4.4.1. Giriş İşareti Sınıfları</b>	26
<b>4.4.2. Bağlılı Geometrileri</b>	27
<b>4.4.3. Ağ Tipleri</b>	28
<b>4.4.4. Eşik Fonksyonları</b>	28
<b>4.4.5. Ağırlık Uzayı</b>	29

<b>4.5. YSA da Eğitme ( Training )</b>	<b>31</b>
<b>4.5.1. Eğitme Algoritmaları</b>	<b>31</b>
<b>4.5.2. Bellek</b>	<b>31</b>
<b>4.5.3. Hata Toleransı</b>	<b>32</b>
<b>4.6. Öğrenme Kuralları</b>	<b>33</b>
<b>4.6.1. Perceptron ( İdrak, Almaç )</b>	<b>33</b>
<b>4.6.2. Çok Katmanlı Perceptron ( Multi-Layer Perceptron )</b>	<b>35</b>
<b>4.6.3. Hatanın Geriye Yayılması Algoritması ve Genelleştirilmiş Delta Kuralı</b>	<b>36</b>
<b>4.6.4. Öğrenme ve Momentum Katsayıları</b>	<b>40</b>
<b>5. ÇOK FONKSİYONLU PROTEZLER İÇİN YSA KULLANARAK MİYOELEKTRİK KONTROL</b>	<b>41</b>
<b>5.1. Sistem Kontrol Dizaynı</b>	<b>41</b>
<b>5.2. EMG İşaretlerini Sınıflandırmak İçin Kullanılan Çok Katmanlı Perceptron Ağı</b>	<b>47</b>
<b>5.3. Simülasyon Sonuçları</b>	<b>48</b>
<b>5.4. Yapılan Çalışmanın Üstünlükleri</b>	<b>52</b>
<b>KAYNAKLAR</b>	<b>54</b>
<b>EK</b>	<b>57</b>

## ÖZET

Özellikle dirsek üstünden kolunu kaybedenler için kullanılan çok fonksiyonlu protezlerin kontrolü, bir çift yüzey elektrodundan alınan miyoelektrik işaretler kullanılarak yapılabilir. Kontrol stratejisi, herbirini aynı olan ve tekrarlanabilen kas kasılma karakterleri setinin meydana getirdiği miyoelektrik işaretlerden kolaylıkla çıkarılan karakteristik parametrelerle olur. Bu parametreler kullanılarak farklı kas kasılma karakterlerini sınıflara ayırmak mümkündür. Kas kasılması sınıflarının herbirini protez cihazının özel fonksiyonunu tetiklemek için kullanılır.

Yapay sinir ağı uygulaması miyoelektrik işaret analizlerini yerine getirmek için uygulanır. Bu araştırmayı amacı, çok açılı serbestiyete sahip kolun kontrolunu sağlayan daha çok güvenilir metodları incelemektir. Miyoelektrik işaretleri sınıflandırmak için üç katman içeren bir çok katmanlı perceptron özniteliklendirme ( AR: Auto Regressive ) model parametreleri ve işaret gücü özellikler olarak kullanılır. Bu özellikler kullanılarak, perceptron altı ayrı kol fonksiyonları arasındaki farkı ayırdetmek için eğitilir. Perceptron sınıflandırıcısı tarafından kullanılan iki-boyutlu karar sınırları testît edilir. Bu adaptif nitelik, perceptronların gelecekteki miyoelektrik işaret analizleri için faydalı bir araç sağlayabilir.

Bu çalışmada, farklı hareketler ( dirsek açma, dirsek kapama, bilek bükme, bilek döndürme, kavrama ve dinlenme ) gözündeme alınmıştır ve bu fonksiyonlar 3000 iterasyon için % 96.1'lik başarı oranında ayırdedilmiştir.

## SUMMARY

The Control of multi functions prostheses can be accomplished using a myoelectric signal taken from a single pair of surface electrodes. This has been demonstrated specifically in the case of prostheses for use by above elbow amputees. The control strategy in such situations is to have the user /subject generate a set of repeatable muscle contraction patterns, each having similar characteristic parameters that can be easily extracted from the myoelectric signal. By using these parameters, it is possible to segregate different muscle contraction patterns into classes. Each class of muscle contraction is used to trigger a particular function in the prosthetic device.

A Neural Network implementation is applied to myoelectric signal analysis tasks. The motivation behind this research is to explore more reliable methods of deriving control for multidegree of freedom arm prostheses. A Multi Layer Perceptrons (MLP) implementation involves using a three-layer perceptron for classifying myoelectric signals. Auto regressive (AR) model parameters and the signal power are used as features. Using these features, the perceptron is trained to distinguish between six separate arm functions. The two-dimensional decision boundaries used by the perceptron classifier are deliated. This adaptive quality suggests that perceptrons may provide a useful tool for future MES analysis.

In this study, different movements (elbow extension, elbow flexion, wrist supination, wrist pronation, grasp and relexion) are considered and these functions are discriminated with total success rate of 96.1% for 3000 iterations.

## **1.GİRİŞ**

### **1.1. Konunun Tanıtılması**

Cök fonksiyonlu protezlerin kontrolü bir çift yüzey elektrodundan sağlanan miyoelektrik işaretler kullanarak yapılabilir. Bu durum özellikle dirsek üstünden kolumnu kaybetmiş vakalarda gösterilebilir. Benzer biçimde kontrol stratejisi, miyoelektrik işaretler kolayca elde edilebilen karakteristik parametreleri herbiri için aynı olan ve tekrarlanabilen kas kasılma karakterlerinin setini üretmektedir. Bu parametreler kullanılarak farklı kas kasılması karakterlerini sınıflara ayırmak mümkündür. Kas kasılması sınıflarının her biri protez alette parça fonksiyonunu tetiklemek için kullanılır. Sınıflar arasında iyi bir ayrım sahip olmak için, protez alet yerine takıldığındaki normal kol fonksiyonu ile hiçbir benzerlik göstermeyecek olanın dışı kas kasılmalarının bir setini üretmek, denek için sık sık gerekebilir. Kullanıcının bu yeni kas kasılmalarını tekrar tekrar yapabilmeyi öğrendiği proses tipik olarak yavaş ve sıklıkla güvenilir bir kontrol üretmemek. Kullanıcı öğrenmesinin miktarını azaltmak için, protez kol kontrol fonksiyonunu harekete geçirmede kullanılan kasılmaların protez tarafından yapılmaya başlanan doğal fonksiyonuna benzemesi istenir. Pek çok geleneksel karakter tamama kontrol sistemlerindeki bir başka kısıtlama da hesaplama ihtiyaçları büyük boyutta olma eğilimindedir. Bu pratik uygulamaları imkansızlaştırır kontrol mekanizmasında önemli gecikmeler yol açar.

Değişik kas kasılma karakterlerini ayırtedebilme kabiliyeti, miyoelektrik işarette tutulan bilgiye bağlıdır. Örnek olarak üç kasın yakınına yerleştirilmiş bir çift deri yüzey elektrodlarından elde edilen işaret, üç kasın herbirinin aktivitelerine ait bazı bilgiler içerecektir. Bu bilginin tanımlama problemi daha karmaşık olacaktır. Bu da miyoelektrik işaretin doğasından kaynaklanmaktadır. Yüzey elektrodu tarafından belirlenen miyoelektrik işaret, elektrod yakınında bulunan bütün motor birim işaretlerinin kabaca bir toplamıdır. Yüzey elektrodun tek bir kasın bütününden aldığı işaret tabii tamamen rastlantusal yapıdadır ve asenkron olarak tetiklenmiş motor birim darbeleri setinin toplamından oluşur. Tek kastan alınan ve diferansiyel olarak büyütilen miyoelektrik işaret sıfır ortalama değeri ve kas kasılma seviyesiyle orantılı değişiklik ile karakterize edilir.

Deri altındaki kas aktivitesi hakkında daha ileri bilgiler sağlayabilen bu işaretten başka özellikler çıkarmak mümkündür. Bu teknik bütün miyoelektrik işaret katkısı katkıda bulunan bir kastan daha fazlasının olduğu durumlarda da uygulanabilir. Yüzey elektrodunun yakınlarında birkaç kas varsa; sonuç miyoelektrik işaret her kastaki aktiviteye ait bilgiler içerecektir. Mademki elektrot ile kas arasındaki doku yüzünden bir filtre etkisi vardır; bu bilgi kasların komşuluğuyla alakalı olarak yerleştirilen elektroda büyük ölçüde bağlı olan işarette nasıl gösterilecektir? Kas setinin içindeki kasılmalarından oluşan karakter, alınan işaretten çıkarılan özelliklere dayalı olarak tanımlanabilir.

Graupe tarafından gerçekleştirilen deneylere dayalı olarak (Graupe, 1975), bu tip kas hareketlerinin, miyoelektrik işaret özelliklerinin oluşu setlerden tanımlanabileceği söylenebilir. Normal kol fonksiyonlarının seti ile bileşik kasılma karakterleri arasında önemli bir fark varsa, normal kol fonksiyonlarının direkt tanımlanmasına bağlılı olan miyoelektrik işaretin sınıflandırılması yapılabilir. Protez kontrol uygulamasında, farklı miyoelektrik işaretlerinin tanımlanması protez cihazlarının hareket kontrolündeki kullanılabilir. Konvansiyonel kontrol metodlarına karşın, protez aleti tarafından gerçekleştirilen fonksiyonlar, miyoelektrik işaretleriyle tanımlanmış doğal olanağa tamamen benzeyecektir. Bundan dolayı miyoelektrik işaretlerin sınıflaması protez cihazlarının kontrolündeki çok kullanışlı bir metod olacaktır.

Yapay Sinir Ağları (YSA) sınıflayıcılarından olan çok katmanlı perceptron (idrak); miyoelektrik işaretlerinin iyi ayırmayı yapabilmek için protez kullanıcısının ileri derecede öğrenmesini gerekliliğimizdir. Yapısından dolayı YSA sınıflayıcıları uygulamada normal olarak gereken kullanıcı öğremesinin miktarını azaltmak için kullanılır. Bu metodda tek kullanıcı tarafından üretilen işaretlerin özel çeşitlerine, ağ kendini adapte edecektir. Uygulamada bütün amaç öğrenme işinin çoğunu kullanıcıdan makina devretmektedir. YSA'lı sınıflayıcının diğer önemli özelliği; bilgi olasılık yayılmalarının esasını belirten hiçbir varsayılm yapmayı gerektirmemesidir. Böyle varsayımlar miyoelektrik sınıflama uygulamasında sınırlanabilir. Bu ek hesaplama gitti, protez kontrol uygulamasında kabul edilebilir tanma oranları gösterdiği için tercih edilir. Onun için bu çalışmada çok katmanlı perceptron, miyoelektrik işaret sınıflayıcıları olarak kullanılmıştır.

## *1.2. Miyoelektrik Kontrollü Protezlerin Gelişimi*

İkinci dünya savaşından beri vücutun dış güçleri olan uzuvların (kol ve bacak gibi) hasara uğradığında tekrar kullanmaya yönelik yapay protez ve ortez kolları imal etmek için birçok çalışmalar yapıldı (Alderson, 1969). Bu çalışmalarla, vücutun zedelenmiş kaslarından gelen elektromiyografik (EMG) işaretlerinden yararlanıldı. Bunu yapanlar yapay uzuvları kontrol etmek için gerekli elektriksel kumandaları inceleyen araştırmacılardır (Graupe et al, 1978; Lyman et al, 1974; Saridis et al, 1977). Yapılan araştırmaların çoğu ana parçanın üzerinde özel çalışma veya efor gereken ya hep ya hiç biçimde tek hareket kontrolleri meydana getirdi. İlk miyoelektrik kontrollü protezler; kavrama/bırakma gibi tek bir fonksiyonu gerçekleştirmeyi amaçlamıştır. Bilgisayar bilgisi canlı protezlerinin daha detaylı işaret işleme ve hareket kontrolleriyle çalışmayı mümkün hale getirdi.

1940'larda miyoelektrik kontrollü bir yapay el gerçekleştiren Reiter, parmak sıkıcı (flexor) ve açıcı (extensor) kas gruplarından elde edilen EMG işaretlerini kullanmıştır (Scott et al, 1977). Bu işaretler doğrultulduktan sonra genlikleri karşılaşmuştur, hangisi daha büyükse onun temsil ettiği hareketin istendiğine karar verilmiştir. Buna göre parmak sıkıcı veya açıcı rôleler çalıştırılarak elin kavrama yada

bırakma hareketini yapması sağlanmıştır. Aynı çalışma ilkesi günümüzde tek fonksiyonlu yapay ellerde kullanılmaktadır. Ancak daha gelişmiş işaret işleme yöntemleriyle kavrama hız ve gücünü kapsayan oransal kontrol mümkün olmaktadır.

Dorcas ve Scott, birden fazla serbestlik derecesini kontrol edebilmek için bir noktadan ölçülen EMG işaretinin etkin değerini ayrık bölgelere bölme yöntemini geliştirmiştir (Jacobsen et al, 1982). Aynı kasın değişik düzeylerdeki kasılmaları farklı hareketlere karşı düşürtülmüş EMG işaretin hangi aralığa giriysorsa o aralığın belirittiği hareket gerçekleştirilmiştir.

Wirta ve arkadaşları, birçok noktadan ölçülen EMG işaretlerinden faydalannmıştır (Wirta et al, 1978). 10 tane elektrod, belli hareketlerin gerçekleştirilebilmesinde etkin olan kasların üzerine yerleştirilmiştir. Elektrolden edilen EMG ölçümü matris halinde dizilmiş ve bilgisayarda incelemiştir. İnceleme sonucunda elde edilen sınıflama işlemleri daha sonra EMG ölçümülerinin sınamarak değişik hareket sınıflarına ayrılmasında kullanılmıştır. Çok elektrolu miyoelektrik kontrolun farklı bireylere uyarlanması üzerinde çalışan Lyman, "Öğrenme" ve "çalışma" olarak iki ayrı aşama tanımlamıştır (Lyman and Freedy, 1976). Öğrenme sırasında özürli, sağılıklı koluya hayatı kolunu parel olarak hareket ettirirken bilgi-islemci EMG örüntüleri ile kol hareketleri arasındaki bağıntıyı saptar. Normal çalışma sırasında, özürünün ürettiği EMG, eğitim süresinde elde edilenlerle kıyaslanıp en fazla benzeyen örüntü saptanır. Sonra o örüntüye ait hareketi amaçladığını karar verilir. (en yakın komşu algoritması) Yöntemin humerusu (pazı kemigi) döndürme, dirseği açma/kapama ve önkolu döndürme fonksiyonlarının kontrolunda başarılı olduğu bildirilmiştir. Aynı teknigi uyarlayan İşveçli araştırmacılar, "İsveç Eli" olarak bilinen çalışmalarında, kavrama/bırakma, önkolu döndürme ve bileği aşağı/yukarı bükmeye hareketlerini denetlemiştir (Almstrom et al, 1981). Ayrıca dizgede mikroişlemci kullanılarak protezin oransal kontrolu sağlanmıştır.

Graupe ise bir nesnenin (mesela kol) beraber çalışan EMG işaretlerinden gelen kontrol bilgisini tekrar elde etmek için bir zaman serisi tanımlama usulü teklif etti ve başarılı bir şekilde yerine getirdi (Graupe et al, 1982 and 1985). Bahsedilen EMG işaretleri omuz kaslarından elde edildi. Başka bir çalışmada ise direktten omuza kadar olan kemigi (pazı kemigi) kesilen veya felç olan bir şahsin biceps (kolun üst kısmındaki kaslar-iki başlı kas) ve triceps (üç başlı kas)'lerinden meydana gelen EMG işaretlerinin istatistiksel analizini yaptı (Saridis and Gotee, 1982). İstatistiksel işaret tanıma algoritmaları, kolun birleşik ilk hareketleri ve muhtemel işaretlerinin herbirine cevap veren işaretleri sınıflandırmak için kullanıldı. Bu çalışmada; kol kemigi'ne veya omuza ait iç/dış dönme, direk açma/kapama ve bileği aşağı/yukarı bükmeye hareketleri denetlenmiştir. El kavraması hareketi sınıflandırmaya katılmamıştır.

Özellikle Graupe'nin çalışmasından faydalananak, Kelly, Parker ve Scott ilk olarak YSA (Hopfield algoritması) kullanarak miyoelektrik işaretin sınıflamaya dayalı çok fonksiyonlu kontrol tasarımını gerçekleştirdiler (Kelly et al, 1990). Daha sonra bu ilk çalışmadan yararlanarak Hudgins,

Parker ve Scott tarafından yine YSA kullanılarak çok fonksiyonlu bir miyoelektrik kontrol çalışması geliştirildi (Hudgins et al, 1993). Son iki çalışma tek kanallı sistem olup, deney safhası aşamasındadır. Söz konusu çalışmalar; biceps ve triceps elektrodiardan alınan işaretlerin zaman serisi parametreleri çkartılarak dört hareketin sınıflandırılması gerçekleşmiştir.

Yurdumuzda ise, 1989'da Ö. Kuyucu tarafından master tezi olarak bir çalışma yapılmıştır (Kuyucu, 1989). Burada, biceps ve triceps kaslarından yüzey elektrodları vasıtasyile alınan EMG işaretlerinin zaman serisi parametreleri çkartılarak, "Parel Filtreleme" yöntemi ile sınıflandırılma yapılmıştır. Bu yöntemle dört hareket yaklaşık % 70 başarı ile tanımlanabilmektedir.

### **1.3. Mevcut Çalışmaların Eksiklikleri**

Miyoelektrik sistemler, dísektén yukarí kesik organlar veya benzeri protezlerde yaygın olarak kullanılmaktadır. Mevcut ticari amaçlı bütün sistemler, tek devre kontrollü için geçerlidir (Parker and Scott, 1986 and 1988). Bu sistemler; el , dísek, parmak hareketlerinin EMG işaretlerinin genliklerine veya değişik oranlarına dayalı işaret kontrolü üzerinedir (Dorcas, 1966; Childress, 1969). Kontrol işaretü tek bir miyoelektrik kanalından çıkarılmamaktadır. İşaret genliğinin üç devre durumu vardır. Bunlar; genlik, aktivite ve hız şeklindedir. Bütün bu durumların başarısı bir tek kontrol devresi ile yapılmalıdır. Tek fonksiyonlu (Graupe ve diğerlerinin yaptıkları ilk çalışmalar) hareketler için başarılı sonuçlar alınmıştır. Fakat çok fonksiyonlu hareketlerin kontrolü için daha fazla bilgi gereklidirinden yetersiz kalınmaktadır. Herbir miyoelektrik işaretinden dolayı veya tek fonksiyonlu kontrolü, özel çok kanallı sistemden ayırmak için kontrol çıkış sayıları (yada fonksiyonları), kontrol girişleri veya kanallarından daha büyük olabilir. Beher kanalının fonksiyon sayısı bir seviyeye kadar veya sistem kod oranı ikiden fazla için sınırlanır (Williams, 1990). Geri besleme durumu, kullanılan herbir kanalın durumlarının sayısını azaltmaya çalışmadan başarılı olmayı bilir (Vodovnik et al, 1967). Daha fazla elektrod ihtiyacıyla genlik kodunun birkaç kanalı kullanılarak, çok fonksiyonlu protezler geliştirilebilir (Richard et al, 1983). Fakat yüksek seviyede kesiklerin kontrolü için gerçekleştirilmesi zordur. Eğer yüksek seviyede kesikler mevcut değilse, "Boston Eli" (Schmeild, 1973 and 1977) ve "Utah Kolu" (Jacobsen et al, 1982) gibi birkaç başarılı çalışmalar elde etmek mümkündür.

Dorcas ve Scott 'un yaptıkları ilk çalışmada kullandıkları yöntemin sakıncası; aşırı zihinsel çaba gerektirmesi ve denetlenebilecek hareket sayısı ile ulaşılacak başarının özürlünün kasımı farklı ayırt edebilir ve yinelenebilir düzeylerde kasabilme yeteneğine sınırlıdır. Bu sakıncalar eğitimle kısmen ortadan kaldırılabilir. Bahsedilen bu sorunları çözmek üzere kimi araştırmacılar hastaların ameliyat sonrasında yaşadıkları "Hayalet kol" duygusundan yararlanmışlardır. Çoğu özürlü yitirdiği kolunu oynatığı zamanda kalan kaslarında kol yerindeyken oluşan kasılmaları meydana getirebilmektedir. Bu kasılmaların EMG işaretlerinde değişik hareketler için ayırt edilebilir farklı örüntüler oluşturmaktadır. Yapay kol kontrolunda bilgi kaynağı olarak bu işaretlerin kullanılmasıyla kullanıcı yönünden en az zihinsel çabayı gerektiren dizgeler geliştirilebilmektedir.

Bu noktaya kadar anlatılan yaklaşımlar, gerçekleştirilecek harekete karar verilmesinde EMG işaretlerinin güçlerinden yola çıkararak çeşitli kaslarda üretilmek istenen kuvveti kestirmektedirler. Sağlıklı bir insanın kol kasları ile protez motorları arasında kurulan ilişki içinde bu kestirimler belli motorların çalıştırılmasına yol açmaktadır. Sözelimi dirseği içe bükcü kaslar kuvvetle kaslıyorsa protezin dirsek eklemindeki motor çalıştırılmaktadır. Basit yöntemler, ölçülen işaretlerin güçlerini kıyaslamakta, hangi kastan gelen işaret baskınsa o kasın kasılmasına yol açacağı hareketin istediği sonucuna varmaktadır. Böylece herbir harekete bir kas karşılık gelmektedir. Diğer kaslardan gelen işaretlere "gürültü" göziyle bakılmakta ve bunlar sızılımeye çalışılmaktadır. Wirta 'nın ki gibi daha ileri yöntemler ise, bir hareketin gerçekleştirilmesinde ana kasın yanında başka kaslarında kasıldığını kabul etmektedir. En güçlü işaretin seçilmesi yerine tüm elektrodlardaki işaretler gözontine alınmakta, işaret gücünün uzamsal dağılımı incelenmektedir. Ancak yine kullanılan ayıncı paremetre asıl işaret güçtür ve tek paremetreyle en fazla üç hareket ayırt edilebilmektedir. Ayrıca, özellikle çok-fonksiyonlu hareket söz konusu olduğunda, çok sayıda elektrod bölgesi gerekmektedir. Bu ise, kolunun sadece kılıçlı bir kısmı kalmış yada kas sinirleri büyük ölçüde zedelenmiş hastalarda zorluklara hatta imkansızlıklarla yol açmaktadır. Yalnızca işaret gücünü kullanmanın işaretin tüm bilgi içeriğinden yararlanmamak olduğunu savunan kimi araştırmacılar, ileri işaret işleme algoritmalarının kullanılmasıyla tek bir noktadan (kanaldan) ölçülen EMG ile birden fazla hareketin tanınabileceğini ileri sürmüşlerdir.

Yaklaşımın öncülüğünü yapan Graupe'un yöntemi, değişik kas grupları kasılmalarının farklı dalga biçimleri üretmesine dayanmaktadır. Bir hareket gerçekleştirilirken belli kas grupları kasılacak ve dolayısıyla bunların karakteristik dalga biçimleri üretilecektir. Kas ve deri dokularının yerel tümleme etkisiyle yüzey elektrodları ile bir noktadan ölçülen işaret, yapılan harekete bağlı olarak bu dalga biçimlerinin katılışlarından oluşan belli örüntüler içerecektir. Kasların elektriksel etkinliğini özbağlanımlı bir süreç (autoregressive-AR) olarak modelleyen Graupe'nin geliştirdiği dizgede örüntü tanıma AR katsayıları uzayında gerçekleştirilmektedir. "Kalibrasyon" aşamasında özürlü, protezin gerçeklestireceği her hareketi haylet koluya yaparken ürettiği EMG işaretinin AR katsayıları hesaplanmaktadır ve her harekete ilişkin katsayı takımları bellekte saklanmaktadır. Çalışma sırasında ölçülen EMG nin katsayıları hesaplanarak bunların bellekteki katsayı takımlarından hangisine daha yakın olduğu bulunmakta ve bu takımın karşı düştüğü hareket gerçekleştirilmektedir. Bu yöntemle dirseği açma/kapama, önkolu döndürme ve kavrama/bırakma fonksiyonlarının özel eğitim görmemiş bir özürlüde 0.2 saniyede % 85 başarı ile ayırtedilebildiği açıklanmıştır. Graupe bir yerine iki EMG kanalının kullanılmasıyla başarı oranının artırılabileceğini öne sürmektedir. Bununla birlikte bu yöntem protez kol idare etmek için gerekli kontrol işaretlerini tekrar üretmede yeteri kadar hızlı değildir. Doerschuk ise yöntemi dört kanal içerecek biçimde geliştirmiştir. AR katsayılarının yanısına, elektrodlar arasındaki bağlantılarından da yararlanılan bu çalışmada hareketlerin doğru belirlenme oranının artırıldığı bildirilmektedir.

Kelly ve arkadaşlarının ilk defa YSA ile yapmış oldukları çalışmada; tek EMG kanalı kullanılmıştır. Test edilen dört kol fonksiyonu yaklaşık 2800 iterasyonla ayrıt edileilmektedir. Bu çalışmada program dili olarak Fortran, bilgisayar olarak da bir PC 80386 kullanılmıştır. En iyi tanıma ortalama % 90 olarak bulunmuştur. Daha sonra Hudgins, Parker ve Scott 1993 başlarında bir önceki çalışmayı biraz daha geliştirmiştir ve en düşük % 70, en yüksek % 98 ve ortalama % 91.2'lik bir tanıma ile yine 4 hareket ayıredilmiştir. Bu çalışmada bir 8 MHz Intel 80286 PC kullanılmış olup , program dili Turbo C 'dir. Son iki çalışmada tek kanallı sistemler nispeten geniş hesaplama zorluğu gerektirmekte olup, henuz laboratuar çalışması aşamasındadır.

## **2. EMG'İN OLUŞUMU VE ÖLÇÜLMESİ**

EMG, kasın kasılması sonucu ortaya çıkan biyopotansiyel işaretlerdir. Bunların kaynağı vücutta meydana gelen çeşitli elektrokimyasal olaylardır. İstemli kas hareketleri beyinde sinirler yoluyla elektriksel uyarıların kasa iletilmesi sonucu ortaya çıkar. Kas liflerinin kasılmaları sinirlerce iletilen elektriksel uyarılar yoluyla gerçekleştiği gibi kasılmalarında elektriksel bir işaret doğurur. Bu işaret igne veya yüzey elektrodlarıyla ölçülür.

### **2.1 Uyarılabilen Hücrelerin Elektriksel Aktivitesi**

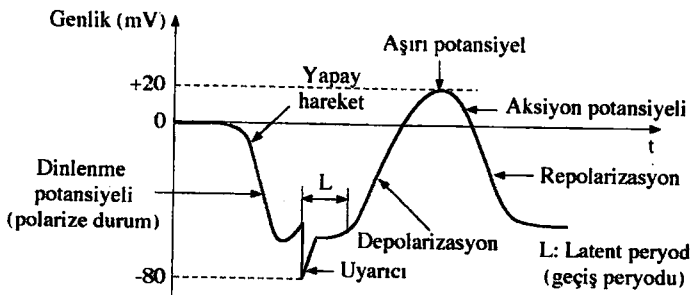
Uyarılabilen hücreler, sinir ve kas hücreleri olup, bunlardaki elektrokimyasal olaylar sonucunda bioelektrik potansiyeller meydana gelir. Bu hücreler de devamlı olarak bir "dinlenme" potansiyeli vardır. Uyarılınca "aksiyon" potansiyeli meydana gelir.

#### **2.1.1 Dinlenme Durumu**

Sukunette uyarılabilen hücrelerin içi ile dış ortam arasında bir elektrik potansiyel farkı vardır. Bu dinlenme gerilimi -50 ile -100 mV civarında bir genlîge sahiptir. Hücre zarı çok ince (7-15nm) ve vücut sıvısındaki iyonları geçirebilen bir yapıya sahiptir. Vücut sıvısı içinde sodyum ( $\text{Na}^+$ ) potasyum ( $\text{Cl}^-$ ) ve klor ( $\text{Cl}^-$ ) iyonları mevcuttur. Hücre zarının potasyum iyonlarını geçirmeye kabiliyeti, sodyum iyonlarınınından 50-100 defa fazladır. Bu farkın nedeni henüz bilinmemekle beraber membranındaki (hücre zarı) gözeneklere bağlı olduğu düşünülmektedir. Potasyum iyonları gibi klor iyonlarında hücre zarından daha kolay geçerler. Dinlenme durumunda vücut sıvısındaki  $\text{K}^+$  ve  $\text{Cl}^-$  iyonlarının çoğu hücre içine girerek hücre içi negatif dış pozitif olur. Bu duruma "polarize durum" denir.

#### **2.1.2 Aksiyon Durumu**

Uyarılabilen hücrelerin özelliklerinden biride, uyarıdığı zaman bir aksiyon potansiyeli üretmesidir. Hücre zarının eşik potansiyelinden daha düşük bir gerilim uygulandığı zaman şekil 2.1'de gösterildiği gibi hücre depolarize olarak belirli genlikle ve belirli süreli bir darbe oluşur. Sinir hücreleri için bu salınım 120 mV ve süresi 1 ms dir. Kas hücrelerinde aksiyon potansiyeli süresi 2-4 ms ve aksonlardaki yayılma hızıda 5 metre/s kadardır. Hücre uyarılınca, hücre zarının özelliği değişerek Na iyonları hücre içine girer ve az bir miktar K iyonu dışarıya çıkar. Böylece hücrenin içi pozitif, dışı negatif olur. Bu olaya "depolarizasyon" denir.



**Şekil 2.1 Aksiyon potansiyelinin zamanla değişimi**

Belirli bir tepe değere ulaştıktan sonra, yukarıdaki olayların tersi olarak tekrar dinlenme potansiyeli seviyesine düşültür. Bu olaya 'repolazasyon' denir. Aksiyon potansiyelinin depolizasyon ve repolazasyon süresi boyunca hücre tekrar uyarılabilir. Hücrenin tekrar uyarılmasına bu süre 1-3 ms kadardır (Pastacı, 1989).

## 2.2 Elektromiyogram (EMG)

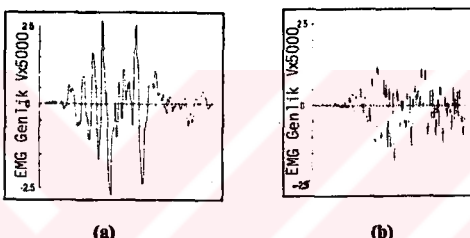
Yukarıda uyarılabilen tek bir hücrenin elektriksel davranışının anlatıldığı. Oysa, kas liflerinin uyarılması tek tek değildir. Değişen sayıdaki kas lifi grupları bir motor siniri tarafından uyarılır. Bir motor siniri tarafından uyarılan kas lifi sayısı birden fazla olduğundan uyarılabilen en küçük kas lifi gürubuda bir motor sinire bağlı olanlardır. Bu nedenle her zaman ancak bir grup kas lifinin uyarılması ve bu gruba bağlı liflerin elektriksel davranışlarının toplamının incelenmesi gerekmektedir. Uyarıya katılan motor birim sayısı ise kasdan istenen güçle bağlıdır. Dolayısıyla kasın yapması gereken iş oldukça çok olmaktadır. Normal şartlarda kaslara verilen uyarıların kaynağı merkezi sinir sistemidir. Sağlıklı iskelet kasları motor sinirlerden bir emir gelmediği sürece kendiliğinden kasılmaz (Karaağaç, 1989). Motor hücreleri sayesinde bütün kas lifleri senkron bir şekilde çalışır. Motor hücreleri ile uyarılan kas liflerinin oluşturduğu alan potansiyeli süresi 3-15 ms ve genliği 20-2000 mV değerinde darbeler şeklinde olur. Frekansı ise 6-30 Hz civarındadır.

EMG işaretleri iğne veya yüzey elektrodlarıyla vücuttan alınabilir. Kas faaliyetlerinin elektriksel davranışını incelemek üzere mikro elektrodlarla hücreye batırılarak elde edilen aksiyon potansiyelleri genellikle derinlerdeki kasların veya tek bir motor biriminin incelenmesinde kullanılır. İnsan dokusunda aksiyon potansiyelinin genliği kas lifinin çapına kayıt yapılan bölgedeki aktif kas liflerine, elektroların yerleştirilmesine ve elektroların filtreleme özelliklerine bağlıdır (Korürek, 1991).

Yüzey elektrodlarıyla ölçüm yapılması halinde elde edilen işaret, o bölgedeki aktif liflerin ürettiği aksiyon potansiyellerinin toplamının oluşturduğu işaretdir. Bu durumda toplama, bir çok lif, daha doğrusu bir çok motor birime ait aksiyon potansiyelleri katılacaktır. Çok miktarda motor birim

aksiyon potansiyellerinin karışmasından dolayı bu olay "girişim olayı" (interference pattern) olarak bilinir. Kasılma şiddeti ile aktif motor birim sayısı artar. Aynı anda birçok kas lifinin etkinleşmesiyle, her birinin ürettiği işaretler birbirini yok edebilir, veya toplanabilir. Sonuç olarak EMG'nin zaman içerisindeki görüntüsü rastgele değişen bir gürültüye benzerdir. Şekil 2.2 de, "dirsek kapama" ve "dirsek açma" hareketleri yapılrken elde edilen EMG dalga şeklärleri gösterilmiştir.

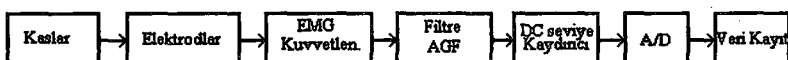
EMG sıfır ortalamalı Guassian bir strect olarak incelenebilir. Frekans bandı 20-1000 Hz. arasındadır. Genliği iğne elektrodlar kullanıldığı zaman 10mV, yüzey elektrodları kullanıldığında 1mV civarındadır. Kas yorulmasıyla birlikte EMG'nin güç spektrumunda alçak frekanslara doğru kayma genliğinde ise artış olmaktadır.



Şekil 2.2 EMG dalga şeklärleri (a) Dirsek kapama (b) Dirsek açma

### 2.3 Miyoelektrik İşaret Bilgisinin Ölçülerek Elde Edilmesi

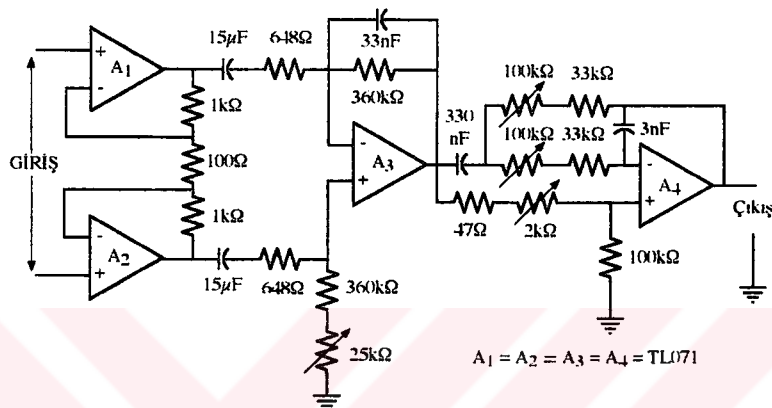
EMG işaretinin (incelenmesi için) ölçülerek elde edilmesinin blok diyagramı Şekil 2.3 de verilmiştir.



Şekil 2.3 EMG işaret bilgisinin elde edilmesi

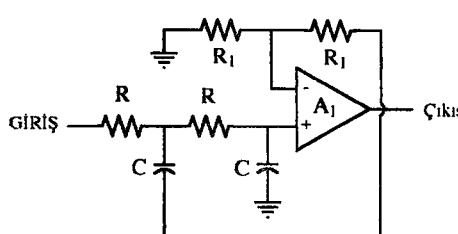
EMG işaretlerinin kaslardan alınmasında elektrodlar kullanılır. Bu çalışmada gümüş-gümüşklorür elektrod çifti kullanılır. Elektrod bağlanacak yüzey asetonlu pamukla silinerek deri üzerindeki iletkenli önleyecekl vb. maddeler uzaklaştırılır. Yüzey temizlendikten sonra elektrod çifti iletken pasta sürürlerek, ikisi arasında 3 cm aralık kalacak şekilde bicepslerin en çok karın yaptığı bölgeye yerleştirilir. Referans elektrod en çok hareketsiz duran diğer bileğe bağlanır. EMG kuvvetlendiricisi olarak standart ölçü amplisi kullanılır. Kuvvetlendiricinin devresi şekil 2-4 de verilmiştir. Bu devrede A1, A2 ölçü amplisi

olarak, A3 fark kuvvetlendirici olarak ve A4 dc 50 Hz şebeke frekansını bastırmak için kullanılan bir çentik olarak çalışmaktadır (Williams, 1990).

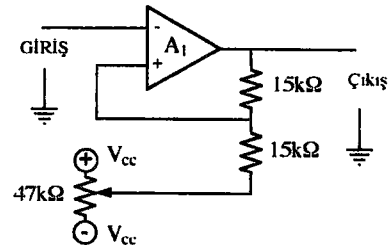


**Şekil 2.4** EMG Kuvvetlendiricisi

Kuvvetlendiricinin çıkışında 2. dereceden ve üst kesim frekansı 14 Hz olan bir alçak geçiren Butterworth bir filtre kullanılır. Devre şeması Şekil 2.5'de gösterildiği gibidir. Kullanılan analog-dijital çevirici, girişine uygulanan 0 ile 5 volt değerleri arasındaki işaretleri çevirmektedir. EMG değerleri sıfır ortalama değerli olduğundan sözü edilen gerilim değerleri arasında ötelendikten sonra ADC girişine uygulanır. Bu amaçla kullanılan "dc seviye kaydırıcısının" devre şeması Şekil 2.6'de verilmiştir.



**Şekil 2.5** 2. Dereceden Butterworth AGF



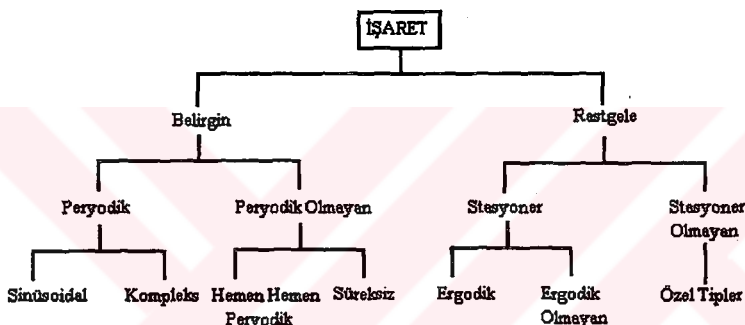
**Şekil 2.6** DC seviye kaydırıcı

ADC devresi bir modül halinde DC içine yerleştirilmiş olup 12 bitlidir. ADC çıkışından elde edilen sayısal veriler kayıt edilerek işlenir.

### 3. BİYOLOJİK İŞARET İŞLEME

#### 3.1 Temel Kavramlar ve İşaretlerin Sınıflandırılması

Biyolojik ve fiziksnel sistemlerden elde edilen işaretlerin çeşitli özellik ve karakteristikleri vardır. Uygun işaret işleme yöntemlerinin uygulanabilmesi için işaretin genel karakteristığının bilinmesi önem kazanır. Şekil 3.1'de sınıflandırılan işaretler belirgin (deterministik) ve rastgele(random) işaretler olmak üzere iki ana grub altında toplanır (Kohen, 1986).



Şekil 3.1 İşaretlerin Sınıflandırılması

Belirgin işaretler, açık ve bilinen matematiksel bağıntılarla ifade edilen işaretlerdir. Bu eşitlikler zaman yada frekansın birer fonksiyonu şeklinde ve sonlu sayıda terim bulundurur. Rastgele işaretler ise tam olarak matematiksel bağıntılarla ifade edilen bir işaret bulmak zordur. Öte yandan rastgele işaretde bulmak mümkün değildir. EKG işaretine bakıldığında ve bunun QRS kompleksi ile ilgilenildiği işaretin bu QRS diliyi belirgin olacak ve fakat RR aralığı değişimi ile ilgilenildiğinde ise bu değişim rastgele olacaktır.

Belirgin işaretler iki alt gruba ayrılır; peryodik ve peryodik olmayan işaretler. Peryodik işaretler her  $t$  için  $X(t)=X(t+T)$  bağıntısını sağlayan işaretlerdir. Burada  $T$  peryod adını alır. Peryodik işaretler, bir peryodluk kisumlarının tüm işaretin belirlenesi nedeniyle işaret işleme ve işaretin tanımlama açısından kolaylık sağlar. Frekans domeninde ise, peryodik işaretler Fourier serileri ile temsil edilirler. Bu domende temel frekans ve harmonik bileşenler söz konusu olur. Peryodik olmayan işaretlerde; hemen hemen peryodik(almost) sürekli(transient) işaretler olmak üzere iki kısma ayrılır. Hemen hemen peryodik işaretler birbirinden bağımsız ve peryotları farklı (temel frekansları farklı) işaretlerin

kombinasyonu sonucu meydana gelirler. Süreksiz işaretler ise zaman içinde kısa bir süre ortaya çıkan ve peryodik olmayan işaretlerdir.

Rastgele işaretler işlenmesi daha zor olan işaretlerdir. Bir rastgele işaret bir rastgele işlemin, bir örnek fonksiyonudur. Bu örnek fonksiyonların oluşturduğu işaret "topluluk" (ensemble) adını alır. Rastgele işaret bileşik olasılık yoğunluk fonksiyonu ile belirlenir. Rastgele işaretler, "durağan" (stasioner) ve "durağan olmayan" işaretler olmak üzere iki alt gruba ayrılır. Durağan işlemin, istatistiksel özellikleri zamanla değişmez. Bu gruba giren önemli bir rastgele işaret, "ergodik" işaret adını alır ve bu işaret için herhangi bir t anında topluluk (ensemble) elemanları üzerinde alınan topluluk ortalaması, elemanlardan birinin (örnek fonksiyonlardan birinin) üzerindeki zaman ortalamasına eşittir. Durağan olmayan işlem en zor işlenen işlemidir. Bu yüzden hatalı olduğunu bile bile bu işlem, "ergodik işlem" varsayılar. Mesela EEG işaretini işlerken elimizde tüm topluluk olmayıp sadece bir örnek fonksiyon bulunabilir. Bundan dolayı ergodilik varsayılmak yapılıarak gerekli istatistiksel özellikler, bu örnek fonksiyonun zaman içindeki değişiminden elde edilme yoluna gidilir. Durağan olmayan işaretler için işlem yöntemleri pek etkili olmadıklarından durağan olmayan (non stasioner) işaret, her biri durağan sayılan dilimlere (segmentlere) ayrılır. Dilimlerin uzunluğu durağan olmanın özelliklerine bağlıdır. Örneğin ses işaretleri için dilim uzunluğu 10 ms iken EEG işaretleri için birkaç saniyedir.

İşaret işleme açısından işaretlerin diğer bir sınıflamasında vardırkı bu sınıflamada işaretler: "sürekli" ve "ayrık" işaretler olarak iki gruba ayrılır. Genel olarak sürekli işaretler zaman içinde herhangi bir anda tanımlanabilirler. Bu işaretlere uygulanan işaret işleme yöntemleri; Fourier ve Laplace dönüştürmeleri ve diğer "analog" yöntemlerdir. Donanım açısından bu işaretler; analog sistemlere (filtreler, kuvvetlendiriciler, analog bilgisayarlar) uygulanırlar veya bu sistemlerde işlenirler. Ayrık işaretler ise ancak belli zaman noktalarında (belli anlarda) tanımlıdır. Genellikle bu işaretler genlik olarak öneklenirler. Bu yüzden ayrık işaretler, sürekli işaretlerin zaman içinde "örneklenmiş" ve genlik olarak "kuantalanmış" şekilleridir. Bununla beraber tabiatı itibarıyla ayrık olan işaretlerde mevcuttur. Bu işaretlere, z-dönüştümü ve ayrık fourier dönüştümü (DFT) gibi ayrık işaret işleme yöntemleri uygulanır. Donanım açısından ise ayrık işaretler sayısal bilgileri ihtiva eden sayısal sistemlerde işlenirler. Sayısal işaret işleme teknikleri günümüzde gelişme göstermektedir. Bu nedenle sürekli (analog) işaretler, analog-dijital çeviriciler (ADC) yardımıyla, sayısal (dijital) işaret işleme teknikleriyle uygulanabileceği şekilde, yani sayısal şekilde getirilirler. Bu şekilde sürekli işaretlerle ayrık işaret durumuna getirilmiş olur.

### 3.2 İşaret İşlemenin Temelleri

İşaret işlemenin en temel öğesi filtreleme işlemidir. Filtreleme zaman domeninden çok frekans domeninde uygulanır. Fourier dönüştümü, zaman domenindeki bir işaret, frekans domenine dönüştüren

bir işlemidir. Frekans domeninde işaret, genliği ve fazı frekansına göre değişen olarak tanımlanır. Laplace dönüşümünde ise karmaşık s-düzlemi kullanılır. İşaretin istenen frekans bölgelerindeki kısımları tamamen atmak veya zayıflatılmak üzere dağılım (spectral) özellikleri filtreler yardımıyla bıçılmalıdır. Benzer işlemler karmaşık z-domeninde tanımlanan ayrık işaretlere de uygulanır.

Frekans filtreleme işlemi, belirgin işaretler için olduğu kadar, rastgele işaretler içinde etkilidir. Rastgele işaretleri işlerken Fourier dönüşümü, işaretin örnek fonksiyonu yerine otokorelasyon fonksiyonuna uygulanır. Bu durumda işaretin güç dağılımı yoğunluk fonksiyonu ile ilgilenebilir.

### 3.3 Rastgele İşaret Modelleri

Burada "modeller" terimi, ilgilenilen rastgele sürece ilgili verinin üretilmesinde etkili olan kuralları açıklayan veya tanımlayan hipotezler için kullanılmıştır. Bu nedenle modeller rastgele işaretin özelliklerini ve tabiatını karakterize etmektedir. Sözkonusu modellerin biyolojik işaret işlemede önemli bir rolü vardır. Çünkü işaretin sentez etmek için modelde ihtiyaç vardır. Ayrıca işaretin ait model parametreleri kullanılarak yeniden elde etme imkanı sağlar (Orfanidis, 1988).

#### 3.3.1 Wold Teoremi

1938 yılında Wold, herhangi bir rastgele işaretin "genel bir lineer işaret" ile "belirgin işaretin" ayırt edilebilmesini göstermiştir. Daha açık bir şekilde Wold teoremi, matematiksel olarak aşağıdaki gibi verilir.

Herhangi bir durağan rastgele işaret  $\{y_n\}$  şu şekilde ifade edilebilir.

$$y_n = u_n + s_n \quad (3.1)$$

burada  $\{U(n)\}$  ve  $\{S(n)\}$  korelasyonsuz işaretlerdir.  $\{U(n)\}$  genel bir lineer olup;

$$u(n) = \sum_{k=0}^{\infty} b_{n-k} e_k \quad (3.2)$$

büçümünde ifade edilir

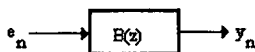
$b_0=1$  ve  $\{e_n\}$  işaretin,  $\{s_n\}$  ile korelasyonsuz bir beyaz gürültü işaretidir.

$$E[e_n s_k] = 0 \quad \dots \text{tüm } n, k \text{ için} \quad (3.3)$$

$\{S(n)\}$  belirgin işaretin ve sıfır hata varyansı ile geçmişinden tahmin edilebilir. Bu teoremden hareketle bir rastgele işaret "nedensel" ve "kararlı" olan  $B(z)$  lineer filtresinin bir durağan beyaz gürültü işaretinin  $\{e_0, e_1, \dots, e_n, \dots\}$  çıkışını olarak ele alınabilir. Şekil 3.2'deki filtrenin transfer fonksyonu;

$$B(z) = \sum_{n=0}^{\infty} b_n z^{-n} \quad (3.4)$$

olarak verilir.



Şekil 3.2 Basit Bir Filtre Modeli

Çıktı  $y_n$  rastgele işaretini, filtrenin impuls cevabı olan  $b_n$  katsayılarıyla giriş dizisi  $e_n$ 'in konvolüsüyonu olarak elde edebiliriz.

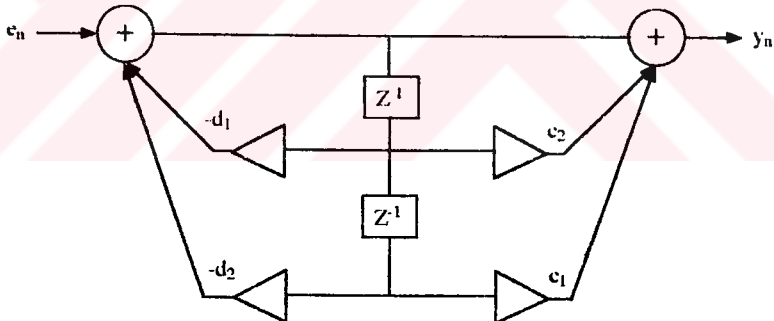
$$y_n = \sum_{i=0}^n b_{n-i} e_i, \quad n = 0, 1, 2, \dots, \quad (3.5)$$

Yukarıda açıklanan Wold teoremine dayanan (3.4)'deki modelin pratikte kullanılması, sonsuz sayıda parametre gerektirmesi nedeniyle mümkün degildir.  $B(z)$  filtrenin sonsuz terimli bir滤re yerine  $Z$  değişkeninin iki sonlu polinom oranı biçiminde olması istenir. Böylece (3.5)'de verilen filtrenin giriş-çıkış ilişkisi olan konvolisyon toplamını bir fark denklemi ile ifade edebiliriz. Mesela,  $B(z)$  filtresinin transfer fonksiyonu;

$$B(z) = \frac{1 + c_1 z^{-1} + c_2 z^{-2}}{1 + d_1 z^{-1} + d_2 z^{-2}}$$

biçiminde verilsin, (5)'deki konvolisyon toplamı;

$y_n = -d_1 y_{n-1} - d_2 y_{n-2} + e_n + c_1 e_{n-1} + c_2 e_{n-2}$  fark denklemine eşittir. Şekil 3.3 de bu fark denkleminin gerçekleştirilemesi görülmektedir.

Şekil 3.3  $B(z)$  Filtresinin Gerçekleştirilmesi

### 3.3.2 Doğrusal (lineer) Zaman Serileri Modellemesi

Çoğu sistem geçmişteki çıkışlarının, o andaki ve geçmişdeki girişlerinin (reküratif) lineer kombinasyonları ile modellenebilmektedir.

$$S_k = - \sum_{i=1}^p a_i s_{k-i} + \sum_{j=0}^q b_j u_{k-j} \quad (3.6)$$

Burada  $u_k$  ve  $s_k$  sistemin ayrik zamanındaki giriş ve çıkış serileridir. Giriş ait herhangi bir bilgiye erişemiyorsak, EMG işaretlerinde olduğu gibi, giriş beyaz gürültü olarak alınabilmektedir. Yukarıdaki eşitlikten anlaşılabileceği gibi model parametreleri olan  $a_{ij}$ ,  $i=1,2,\dots,p$  ve  $b_{ij}$ ,  $j=1,2,\dots,q$  bilindiği takdirde, geçmişteki giriş ve çıkış değerlerinden k anındaki  $s_k$  değeri hesaplanabilir. Bu nedenle modelleme "lineer tahmin" (linear prediction) olarak da adlandırılır. (3.6) nolu eşitliğin Z-dönüşümü alınarak sistemin transfer fonksiyonu:

$$H(z) = \frac{S(z)}{U(z)} = \frac{\sum_{j=0}^q b_j z^j}{1 + \sum_{i=0}^p a_i z^i} \quad (3.7)$$

olarak bulunur.

Burada  $S(z)$  ve  $U(z)$  sırasıyla  $s_k$  ve  $u_k$  nın Z dönüşümleridir.

$$\sum_{i=0}^p a_i z^{-1} = A(z^{-1}) \quad (3.8)$$

$$\sum_{j=0}^q b_j z^{-1} = B(z^{-1}) \quad (3.9)$$

bu durumda;  $A(z^{-1})S(z) = B(z^{-1})U(z)$  olup düzenlersek;

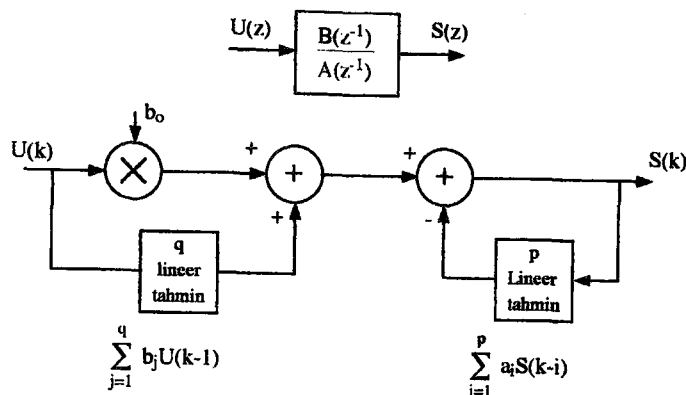
$$S(z) = \frac{B(z^{-1})}{A(z^{-1})} U(z) \quad (3.10)$$

elde edilir. (Harici gürültü yok) Sıfırları ve kutupları ihtiva eden bu genel model ARMA (autoregressive moving average) model olarak isimlendirilir. Şekil 3.4'de ARMA modelinin Z ve zaman domenleri tasvir edilmiştir. Sistem sadece giriş işaretleri kullanılarak da modellenebilir. ( $a_i=0$ ,  $i=1,2,\dots,p$ ) Bu durumda;

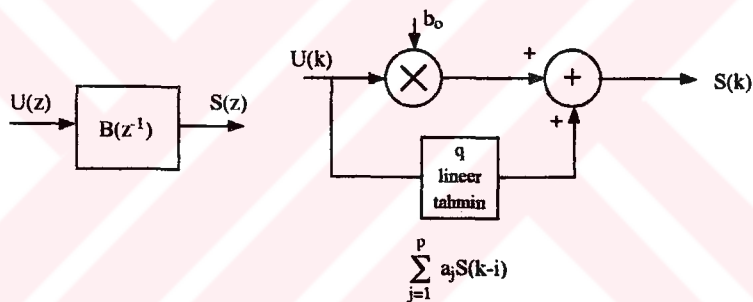
$$S_k = \sum_{j=0}^q b_j u_{k-j} \quad (3.11)$$

$$A(z^{-1}) = 1 \quad (3.12) \text{ olup,} \quad S(z) = B(z^{-1}).U(z) \quad (3.13)$$

şeklindedir. Bu model tüm sıfır veya MA (moving average) model olarak bilinir.



Şekil 3.4 ARMA modeli



Şekil 3.5 MA modeli

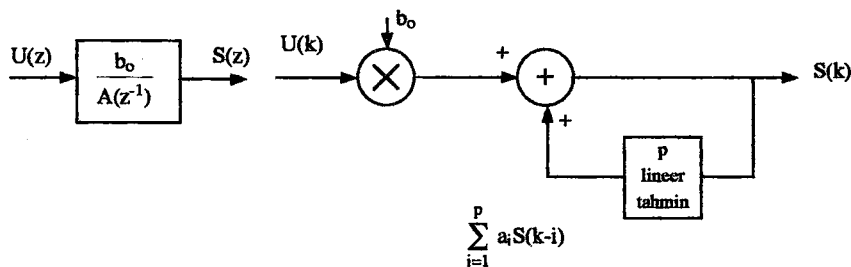
$b_j$  katsayılarının sıfır olduğu durumda sistem, yalnızca çıkışları kullanılarak modellenir.

$$B(z^{-1}) = b_0 = \text{sbt} \quad (3.14) \text{ olup,} \quad S(z) = \frac{b_0}{A(z^{-1})} U(z) \quad (3.15)$$

bulunur. Tüm kutup veya AR (autoregressive) model olarak adlandırılan bu modelin fark denklemleriyle gösterimi;

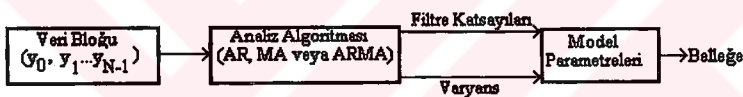
$$S_k = - \sum_{i=1}^p a_i s_{k-i} + b_0 u_k \quad (3.16)$$

şeklindedir. Şekil 3.6 da AR modeli tasvir edilmiştir (Kohen, 1986).



Şekil 3.6 AR modeli

Bu modeller özellikle, konuşma ve görüntü işlemede, jeofiziksel işaretleri değerlendirmede, EMG ve EEG işaretlerini işlemede, spektrum kestiriminde, veri (data) sıkıştırma yaygın olarak kullanılmaktadır. Parametreleri bulmaya yaranan analiz sistemi şekil 3.7'de gösterilmektedir.



Şekil 3.7 İşaret analizi

En çok kullanılan model AR modelidir. AR parametre kestirimi için etkin algoritmalar geliştirilmiştir. Durağan (stasyoner) zaman serileri AR modeliyle modellenebilir. Tezde kullanılan EMG işareti her ne kadar durağan degilsede; yeterince küçük zaman aralıklarında durağan sayılabilir. ARMA modeli ile durağan zaman serilerinin lineer bir modeli daha az sayıda parametre ile elde edilebilir. Ancak ARMA parametrelerini elde etmek, AR modele göre daha karmaşık. MA modeli, durağan olmayan sistemlerin modellenmesinde daha uygundur. Bu çalışmada EMG işaretinin modellenmesinde AR modeli kullanılmıştır.

### 3.4 AR Katsayılarının Kestirimi

Bir sistem veya işaret modelinin parametrelerini elde etmek, diğer bir deyişle parametre kestirimi için değişik yöntemler vardır. Bu yöntemlerden çoğu "en küçük kareler" (Least Squares, LS) yaklaşımından yola çıkan probleme değişik yoldan çözüm getiren algoritmalarıdır. Dört temel kestirim kriteri vardır. Bunlar:

- 1-Maksimum sonsal olasılık (Maximum a posteriori-MAP) kestirim kriteri
- 2-Karesel ortalama ( Mean squared-MS) kestirim kriteri

3-Lineer karesel ortalama (Linear mean squared-LMS) kriteri

(veya en küçük kareler (Least squares, LS))

4-Maksimum olasılıklık (Maximum likelihood-ML) kriteri

En küçük kareler teknlığında, kestirim hatasının karesinin, beklenen değeri en küçük yapacak şekilde sistem parametreleri belirlenir. LMS (LS) işlemesinin en önemli avantajı, sadece ikinci derece istatistiksel bilgiyi gerektirmesidir. Oysa diğer lineer olmayan kestirimciler daha detaylı olasılık yoğunluk bilgisi istemektedir.

### 3.4.1 Özilişki Korelasyon Yöntemi

Bir sistemin AR modeli (3.16) nolu formülden;

$$S_k = - \sum_{i=1}^p a_i s_{k-i} + e_k \quad k = 1, 2, 3, \dots, N \quad (3.17)$$

olarak ifade edilir. Burada  $S_k$  işaretin  $k$  anındaki değeri  $p$ ; modelin derecesi  $a_i$ ; AR katsayıları  $N$ ; örnek sayısı ve  $e_k$  ise beyaz gürültüdür. Geçmişteki çıkış değerlerini kullanarak  $k$  anındaki örneği;

$$\hat{s}_k = - \sum_{i=1}^p \hat{a}_i s_{k-i} \quad (3.18)$$

olarak kestirebiliriz. Bu kestirimden doğan hata;

$$e_k = S_k - \hat{s}_k = S_k + \sum_{i=1}^p \hat{a}_i s_{k-i} \quad (3.19)$$

olacaktır. Aynı zamanda ek erişilmeyen girişin kestirimidir. Hatanın en küçük olabilmesi için,

$$\frac{\partial E(e_k^2)}{\partial \hat{a}_i} = 0 \quad i = 1, 2, \dots, p \quad (3.20)$$

olmalıdır.

$$E(e_k^2) = E \left[ \left( s_k + \sum_{i=1}^p \hat{a}_i s_{k-i} \right)^2 \right] \quad (3.21)$$

(3.21)'ı (3.20)'de yerine koyarsak;

$$\frac{\partial E(e_k^2)}{\partial \hat{a}_i} = 2E \left[ \left( s_k + \sum_{j=1}^p \hat{a}_j s_{k-j} \right) s_{k-i} \right] = 0 \quad (3.22)$$

$$r_{ij} = E(s_{k-j} s_{k-i}) = r_{j-i} \quad (3.23)$$

(3.22) ve (3.23) nolu eşitsizlikleri kullanarak  $i = 1, 2, \dots, p$  için  $p$ -bilinmeyenli  $p$  tane linser denklem takımı elde edilir.

$$\sum_{j=1}^p \hat{a}_j r_{i-j} = -r_i \quad i=1, 2, \dots, p \quad (3.24)$$

Burada  $r_0, r_1, \dots, r_p$  gibi  $(p+1)$  adet öziliği bilindiği taktirde  $p$  tane en iyi parametre  $(a_j, j=1, 2, \dots, p)$  bulunabilir. Bu eşitlik "normal" veya "Yule-Walker" eşitlikleri olarak adlandırılır. Bu eşitlikleri matris formunda göstermek mümkündür.

$$\begin{bmatrix} r_0 & r_1 & r_2 & \cdots & r_{p-1} \\ r_1 & r_0 & r_1 & \cdots & r_{p-2} \\ \vdots & \vdots & \ddots & \ddots & \vdots \\ r_{p-2} & \cdots & \cdots & r_0 & r_1 \\ r_{p-1} & r_{p-2} & \cdots & r_1 & r_0 \end{bmatrix} \begin{bmatrix} \hat{a}_1 \\ \hat{a}_2 \\ \vdots \\ \hat{a}_p \end{bmatrix} = \begin{bmatrix} r_1 \\ r_2 \\ \vdots \\ r_p \end{bmatrix} \quad \text{veya} \quad R \cdot \hat{a} = -r \quad (3.25)$$

Burada  $\hat{a}$ ; AR katsayı vektörü,  $r$  öziliği vektörü,  $R$  simetrik ve köşegenler üzerindeki elemanları aynı olan (Toeplitz) yapıdaki öziliği matrisidir.  $R$  matrisinin tersi alınarak;

$$\hat{a} = -R^{-1} \cdot r \quad (3.26)$$

AR katsayı vektörü bulunabilir.

### 3.4.2 PARCOR Yöntemi

Yukarıdaki yöntemde AR katsayılarını belirlemek için öziliği matrisinin tersini almak gerekmektedir. Bu işlemden kurtulmak için Levinson ve Durbin tarafından bir yöntem geliştirilmiş kısmi korelasyon yada PARCOR adı verilen bu yöntem,  $p$  bilinmeyenli problemi  $p$  tane bir bilinmeyenli eşitliğe indirger. (22) nolu denklemi açarsak;

$$E\{e_k^2\} = E\left\{\left(s_k + \sum_{i=1}^p \hat{a}_i s_{k-i}\right)^2\right\} + E\left\{\left(s_k + \sum_{i=1}^p \hat{a}_i s_{k-i}\right) \sum_{i=1}^p a_i s_{k-i}\right\} = \min$$

$(r_0, r_1, \dots, r_p)$  gibi  $p+1$  adet öziliği (korelasyon)  $(r_j; j = 0, 1, 2, \dots, p)$  bilindiği takdirde  $p$  adet optimal parametre

$(\hat{a}_j; j = 1, 2, \dots, p)$  bulunabilir. O zaman en küçük ortalama hata;

$$E(e_k^2) = E_p = r_0 + \sum_{j=1}^p a_j r_j \quad (3.27)$$

şeklindedir. Normal olarak özilişkiler verilmez ve bunların verilen  $\{ s_k \}$   $k = 0, 1, 2, \dots, (N-1)$  dizisinden kestirilmesi gereklidir. Bu durumda özilişkiler;

$$E\{s_k \cdot s_{k+i}\} = \hat{r}_i = \frac{1}{N} \sum_{k=0}^{N-1-i} s_k \cdot s_{k+i} \quad (3.28)$$

olarak hesaplanır. (3.27) nolu denklemden faydalananlarak;

$$p = 0 \text{ için } E_0 = r_0 \quad (3.29)$$

$$k_i = - \frac{\left( r_i + \sum_{j=1}^{i-1} a_j^{(i-1)} \cdot r_{i-j} \right)}{E_{i-1}} \quad (3.30)$$

$$a_i^i = k_i, \quad i = 1, 2, \dots, p \quad (3.31)$$

$$a_j^i = a_j^{(i-1)} + k_i \cdot a_{i-j}^{(i-1)}, \quad j = 1, 2, \dots, (i-1) \quad (3.32)$$

$$E_i = (1 - k_i^2) \cdot E_{i-1} \quad (3.33)$$

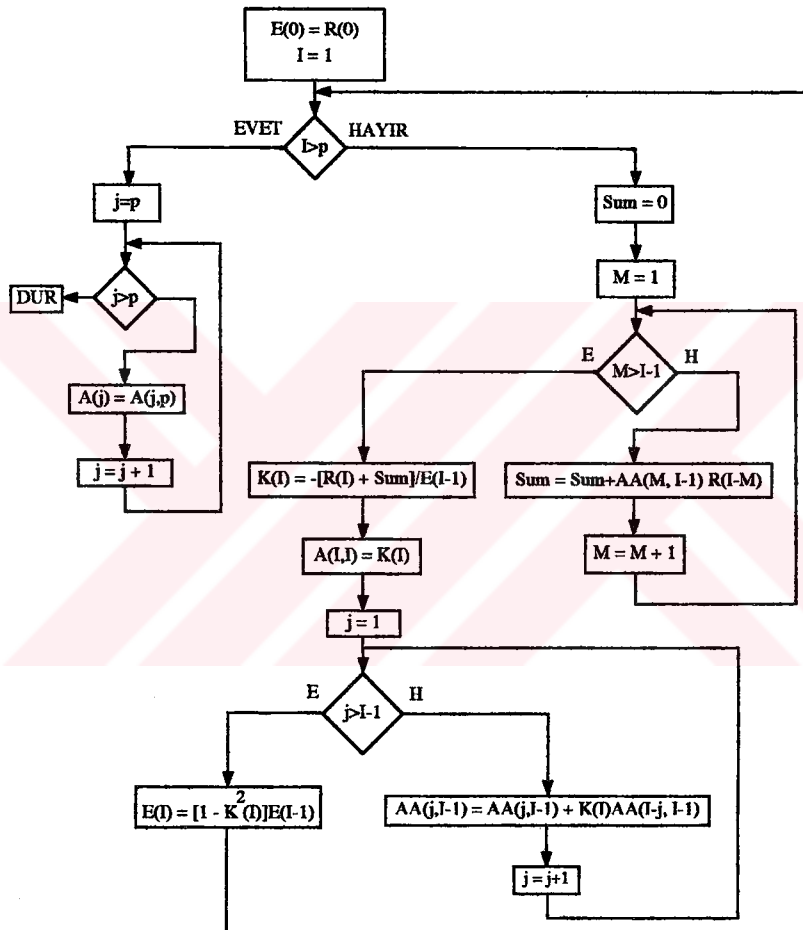
elde edilir. Burada  $a_j^i$  birinci dereceden modelin  $j$ inci AR katsayıdır. (3.30) ve (3.33) eşitlikleri  $i=1, 2, \dots, p$  için ardisık olarak çözülür ve sonuçta  $p$ 'inci dereceden modelin AR katsayıları;

$$a_i = a_i^p \quad i = 1, 2, \dots, p \quad (3.34)$$

olarak bulunur. (3.30) denkleminden hesaplanan  $k_i$  katsayıları "yansıma" veya "küsmi özilişki" katsayıları adını alır. Durbins algoritmasının  $j$ inci dereceden en küçük ortalama hatası  $E_j$ ;

$$0 \leq E_j \leq E_{j-1} \quad (3.35)$$

şeklindedir. (3.33) nolu eşitliğin hesabını gösteren akış diyagramı aşağıda Şekil 3.8'de verilmiştir. (Tezde kullanılan AR kestiri programı buna göre olmuştur)



Şekil 3.8 Durbins algoritmasının akış diyagramı (PARCOR için)

## **4. YAPAY SINIR AĞLARI**

### **4.1 Giriş**

Yapay sinir ağları ya da kısaca YSA; insan beyninin çalışma sisteminin yapay olarak benzetimi çabalarının bir sonucu olarak ortaya çıkmıştır. En genel anlamda bir YSA insan beynindeki birçok nöronun, ya da yapay olarak basit işlemcilerin birbirlerine değişik etki seviyeleri ile bağlanması ile oluşan karmaşık bir sistem olarak düşünülebilir. Önceleri temel tip birimlerinde insan beynindeki nöronların matematiksel maddeleme çabaları ile başlayan çalışmalar, geçtiğimiz on sene içerisinde, disipline bir şekil almıştır. YSA bugün fizik, matematik, elektrik ve bilgisayar mühendisliği gibi çok farklı bilim dallarında araştırma konusu haline gelmiştir. YSA'nın pratik kullanımı genelde, çok farklı yapıda ve formlarda bulunabilen infomasyon verilerini hızlı bir şekilde tanımlama ve algılama üzerindedir. Ashında mühendislik uygulamalarında YSA'nın geniş çaplı kullanımının en önemli nedeni, klasik tekniklerle çözümü zor problemler için etkin bir alternatif oluşturmasıdır.

### **4.2 Tarihsel Gelişimi**

1940'larda Mc. Culloch ve Pitts nöronun lojik fonksiyonlarını sağlayan basit bir eşik cihazı olarak modellenebileceğini gösterdi (Culloch et al, 1943). Aynı zaman aralığında mühendislik temelleri geri beslenme ve beyin fonksiyonlarından faydalanan Wiener sibernetikin temelini atıyordu. 1949'da Donald Hebb "The organization behavior" adlı kitabında hücresel seviyede beyinin öğrenme mekanizmasında bahsetmiştir (Hebb, 1949). Hebb'in biyolojik öğrenme kuralı, bir nöronдан dentrit yoluyla gelen bir aksonal giriş onun bir darbe üretmesine sebep olur. Sonraki aksonal girişlerin darbe üretmesi olasılığı artar. Böylelikle yapılan davranışın mükafatı ortaya çıkar. Hızlı hesaplamağa yönelik ilk YSA çalışmaları 1950'li yıllarda başlamış ve basit nöron modellerine dayalı bir hesaplama modeli 1950'lerde Rosenblatt tarafından önerilmiştir (Rosenblatt, 1958). 1960'lı yıllarda Widrow ve Hoff, bu basit nöron modellerini kullanarak ilk öğrenebilen adaptif sistemler üzerinde çalışmıştır (Widrow et al, 1960). Ancak 1969'da Minsky ve Papert yayınladıkları Perceptron adlı bir kitapta YSA yardım ile öğrenmede ve hesaplama aşılması zor engeller olduğunu iddia etmişler ve bu iddia YSA konusundaki çalışmaları büyük ölçüde yavaştarmıştır (Minsky and Papert, 1969).

1969-1982 yılları arasındaki çalışmalarla teori artık oturuyor ve 1982'de J.J. Hopfield tarafından yayınlanan "Neural Networks and Physical systems" adlı çalışması ile çağdaş YSA devri başlar (Hopfield, 1982). Bu çalışmada Hopfield nöronların karşılıklı etkileşimlerine dayanan bir nöral hesaplama modeli önermiştir. Model bir enerji fonksiyonunu alabileceği en az değerine indiren 1. mertebe lineer olmayan diferansiyel denklemlerden oluşmuştur. Hopfield ağ seviyesinde, tek tek nöron seviyesinde var olmayan hesaplama kapasitesinin bulunduğu önə sürüdü. Bu tür YSA'na Hopfield ağı

denmektedir. Hopfield'in geri beslemeli YSA modelini ortaya atması ve bunun pratik optimizasyon problemlerinde kullanabilirliğini göstermesi YSA konusundaki çalışmaları yeniden hızlandırmıştır.

1976'da Grossberg ART(Adaptive Resonance Theory) adında bir YSA yapısı geliştirdi (Grossberg, 1976). ART çok gelişmiş bir YSA'dır ve henüz çok fazla probleme uygulanmamıştır. O sırалarda Kohonenende (Self-Organizing Maps) "kendini düzenleyen nitelik haritasını" geliştiriyordu (Kohonen, 1982). Bu YSA nümerik airodinamik akış hesaplamaları için çoğu algoritmik yöntemden daha etkili olmuştur.

1986'da Rumelhart ve arkadaşlarının "Parellel Distributed Processing" grubu ileri beslemeli modellerde yeni öğrenme modeli olan hatanın geriye yayılması algoritmasını (back propagation algorithm) geliştirecek, bu konudaki daha önce iddia edilen aksaklılıkların aşılabileceğini göstermişlerdir (Rumelhart et al, 1986). Bugün endüstride birçok YSA uygulamasında bu öğrenme yöntemi ile bunun değişik varyasyonları kullanılmaktadır. (Bu tez çalışmasında kullanılan yöntemdir). Back-propagation algoritması, çok kullanılan ve öğrenilmesi kolay bir ağdır.

Widrow ve öğrencileri ise ADALINE'den (ADApitive LINear Element) sonra MADALINE'da geliştirip bu YSA'ya uygulama alanları buldukları. MADALINE I'i 1987'de MADALINE II, 1988'de (David Andes'in keşfettiği) MADALINE III takip etti (Widrow and Lehr, 1990).

Günümüzde YSA'nın teorik çalışmaları büyük ölçüde tamamlanmış olup, 1986'dan bu yana uygulamaya yönelik çalışmalar son derece yoğun bir şekilde devam etmektedir.

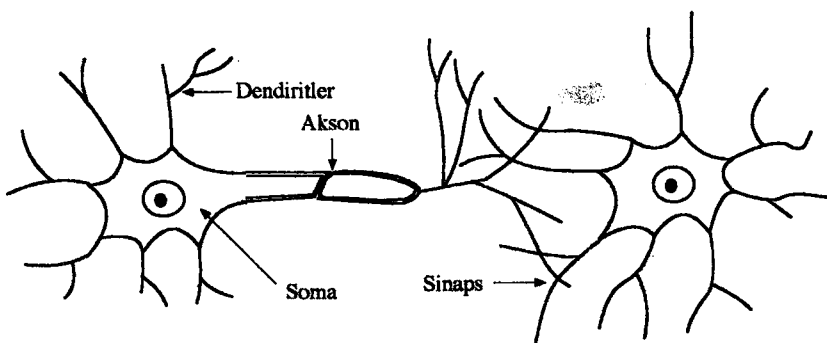
#### **4.3 YSA'nın Tanımı ve Modeli**

##### **4.3.1 YSA'nın Tanımı**

YSA paralel dağılmış bir bilgi işleme sistemidir. Bu sistem tek yönlü işaret kanalları (bağlantılar) ile birbirine bağlanan işlem elemanlarından oluşur. Çıkış işaretin bir tane olup isteğe göre çoğaltılabılır. YSA yaklaşımının temel düşüncesiyle, insan beyninin fonksiyonları arasında benzerlik vardır. Bu yüzden YSA sistemine insan beyninin modeli denilebilir. YSA çevre şartlarına göre davranışlarını şekilliyebilir. Girişler ve istenen çıkışların sisteme verilmesi ile kendisini farklı cevaplar verebilecek şekilde ayarlayabilir. Ancak son derece karmaşık bir iç yapısı vardır. Onun için bugüne kadar gerçekleştirilen YSA; biyolojik fonksiyonların temel nöronlarını örnek olarak yerine getiren kompoze elemanlardır.

##### **4.3.2 Nöronun Biyolojik Yapısı ve Nöron Modeli**

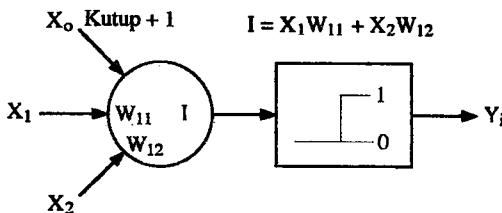
İnsanın bilgi işleme olayı beyninde gerçekleşir. Sinir sisteminin en basit yapısı nöronlardır. Vücudun değişik yerleri ile bilgi alışverişi yapan nöron hücresidir. Şekil 4.1 de basit bir nöron hücresi görülmektedir.



Şekil 4.1 Basit bir nöron yapısı

Nöron, soma adı verilen hücre gövdesi dentrit denilen kıvrımlı uzantılar ve somann dalları sayesinde nöronu dallarına bağlayan tek sinir fiberi aksondan oluşur. Dendritler hücreye gelen girişleri toplarlar. Dendrit tarafından alınan işaretler hücrede bireştirilerek bir çıkış darbesi üretilip üretilemeyeceğine karar verilir. Eğer bir iş yapılacaksa üretilen çıkış darbesi aksonlar tarafından taşınarak diğer nöronlara olan bağlantırlara veya terminal organlara iletilir. Beyindeki kortexde her nöronun bir karşılığı vardır. Bir nöronun çıkışı ona bağlı olan bütün nöronlara iletilir. Fakat kortex, işin yapılabilmesi için hangi nöron harekete geçirileceğe, sadece ona komut gönderir.

Somanın içinde ve çevresinde sodyum, kalsiyum, potasyum ve klor iyonları vardır. Potasyum yoğunluğu nöronun içinde, sodyum yoğunluğu dışındadır. Somanın zarı elektriksel olarak uyarılınca (söz konusu uyarı genellikle bir gerilim düşmesidir) zar, Na ve Ca gibi diğer iyonların içeri geçmesine izin verir ve somanın iç durumunu değiştirir nöronlar arasındaki bağlantırlar hücre gövdesinde veya "sinaps" adı verilen dendritlerdeki geçişlerde olur. Yardımcı bir benzetme aksonlarla, dendritleri elektrik sinyallerini nörona iletten değişik empedansındaki yalıtılmış iletken olmasıdır. Sinir sistemi milyarlarca nöron ile tek bir nördan çıkan aksonun 10000 kadar diğer nöronu bağlayan bir ağıdır. Sinapslarla düzeltlenen işaretleri taşıyan aksonlar ve dendritlerle içine geçmiş önbörönler bir sinir ağı oluştururlar. Şekil 4.2'de en basit formda gösterilen nöron modeli, bir eşik birimi olarak algılanabilir.



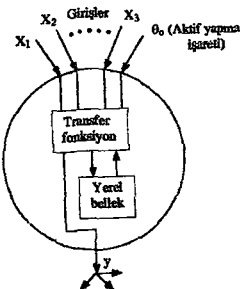
Şekil 4.2 Nöron modeli

Eşik birimi, çıkışları toplayan ve sadece girişin toplamı iç eşik değerini aşlığında bir çıkış üreten işlem elemanıdır. Bir eşik birimi olarak nöron sinapslarındaki işaretleri alır ve hepsini toplar. Eğer toplanan işaret güçlü eşigi geçecik kadar güçlü ise diğer nöronları ve dendritleri uyaran akson boyunca bir işaret gönderilir. Kesisen dendritlerden gelen sinapslarla kaplı olan bütün işaretleri soma toplar. Toplam işaret daha sonra nöronun iç eşik değeri ile karşılaştırılır ve eşik değeri aşmuşsa aksona bir işaret yayar. YSA, bu basit nöronların (düğümelerin yada ünitelerin) bağlanarak bir ağa dönüştürülmesiyle meydana getirilir.

#### 4.4 YSA'nın Yapısı ve İşlem Elemanı

YSA temel olarak, basit yapıda ve yönlü bir graf biçimindedir. Her bir düğüm hücre denilen n. dereceden lineer olmayan bir devredir. Düğümler işlem elemanı olarak tanımlanır. Düğümler arasında bağlantılar vardır. Her bağlantı tek yönlü işaret iletim yolu (gecikmesiz) olarak görev yapar. Her işlem elemanı istenildiği sayıda giriş bağlantısı ve tek bir çıkış bağlantısı alabilir. Fakat bu bağlantı kopya edilebilir. Yani bu tek çıkış birçok hücreyi besleyebilir. Ağdaki tek gecikme çıkışları iletan bağlantı yollarındaki iletim gecikmeleridir. İşlem elemanın çıkışı istenilen matematiksel tipte olabilir. Kısmen sürekli çalışma komumunda "aktif" halde eleman bir çıkış işaretü üretir. Giriş işaretleri YSA'na bilgi taşır. Sonuç ise çıkış işaretlerinden alınabilir. Şekil 4.3 'de genel bir işlem elemanı (nöron, düğüm) gösterilmiştir.

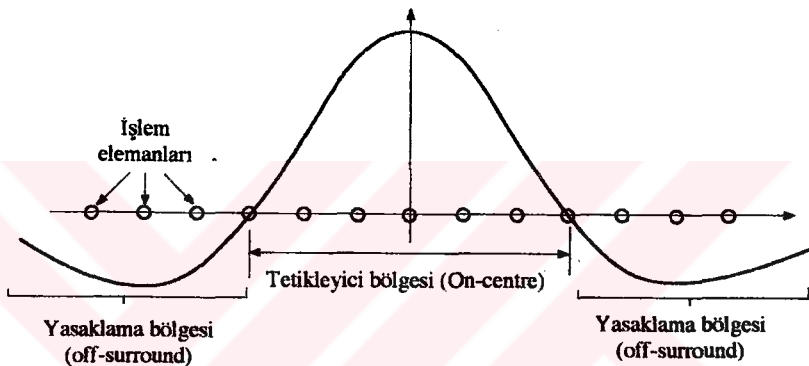
YSA birtakım alt kümelere ayrılabilir. Bu alt kümelerdeki elemanların transfer fonksiyonları aynıdır. Bu küçük gruplara "katman" layer adı verilir. (örn: çok katmanlı perceptron MLP) Ağ katmanlarının birbirlerine hiyerarşik bir şekilde bağlanmasından oluşmuştur. Dış dünyadan alınan bilgi giriş katmanı ile taşınır. Bir transfer fonksiyonları yoktur. YSA transfer fonksiyonu ve yerel bellek elemanı bir öğrenme kuralı ile giriş çıkış işaretü arasındaki bağıntıya göre ayarlanır. Aktif yapma giriş için bir zamanlama fonksiyonu tanımlaması gerekebilir.



Şekil 4.3 Genel işlem elemanı yapısı

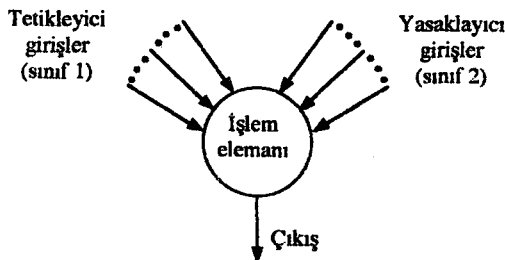
#### **4.4.1 Giriş İsareti Sınıfları**

İşlem elemanının transfer fonksiyonu gelen bütün giriş işaretleri için tanımlanır. Bazen değişik katman davranışlarının farklı olması tabiidir. İşaretlerin hangi bölgelerden geldiğinin bilinmesi gerekir. Değişik bölgelere göre işaretlerin sınıfları tamamlanabilir. Sıkça izlenen bir yapı ise merkezde evet/çevrede hayatı (on centre/off surround) yapısıdır. Şekil 4.4'de bu yapı gösterilmektedir. Meksika şapkasına benzer bağlantı tipindedir.



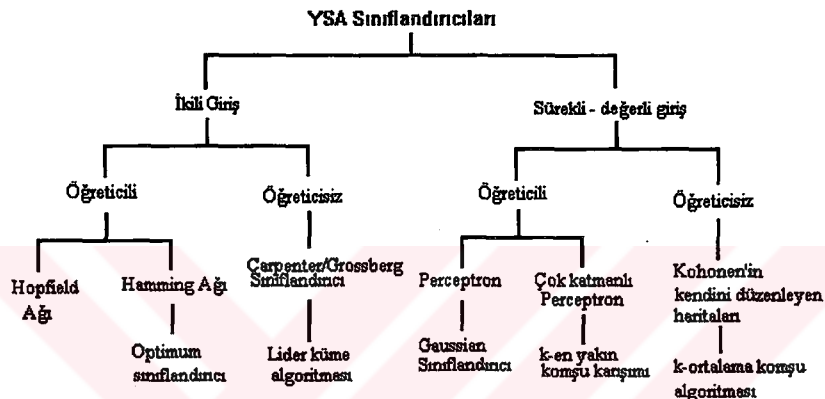
**Sekil 4.4** Komşu hücrelerin merkez hücreye etkisi

İşlem elemanı tetikleyici girişlerin kendine yakın komşu girişlerden yasaklanan girişlerini daha uzaktan alır. Böylece işlem elemanına gelen girişler sınıflarına göre değerlendirilmiş olur. Tetikleyici bölgeden gelen girişler yasaklanan sınıfı oluşturur. Şekil 4.5 böyle bir işlem elemanını gösterir.



**Şekil 4.5** Tetikleyici ve yasaklanan girişlere sahip bir işlem elemanı

Bir işlem elemanına gelen girişler matematiksel tiplerine göre etiketlendirilerek sınıflandırılır. YSA, giriş veri tiplertine göre ikili giriş (0,1) ve sürekli-değerli giriş olmak üzere aşağıdaki gibi sınıflandırılır



Bu tezde giriş işaretinin seçilen EMG işaretinin sürekli-değerli (reel sayı) olduğundan dolayı, sınıflandırıcı olarak öğreticili öğrenmeye sahip olan çok katmanlı perceptron kullanılmıştır.

#### 4.4.2 Bağlantı Geometrileri

Bağlantılarda taşınan işaretin cinsini tanımlamalıdır. Bağlantı geometrisi YSA için çok önemlidir, bağlantı işaretin her cinsinden olabilir. Bağlantının nerede başlayıp nerede bittiğini bilmesi gereklidir.  $i$ 'den  $N$ 'e kadar olan bir işlem elemanı kümelerinin bağlantıları aşağıda tanımladığı gibi  $N \times N$  boyutlu matris biçiminde gösterilebilir.

$$\begin{bmatrix}
 w_{11} & w_{12} & \dots & w_{1n} \\
 w_{21} & w_{22} & \dots & w_{2n} \\
 [w_{ij}] = & \dots & \dots & \dots \\
 w_{n1} & w_{n2} & \dots & w_{nn}
 \end{bmatrix}$$

$w_{ij} = w_{ji} = 1 \Leftarrow i.$  işlem elemanı  $j$  işlem elemanına bağlı

$w_{ij} = w_{ji} = 0 \Leftarrow$  bağlı değil

En fazla  $N^2$  bağlantı olur. Bağlantılar çeşitli geometrik bölgeler arasında demetler halinde düşünülebilir. Bu bağlantı demetlerinin uyması gereken kurallar şunlardır.

- 1- Bağlantı demetini oluşturan işlem elemamları aynı bölgeden çıkmalıdır.
- 2- Bağlantı demetinin işaretleri aynı matematiksel tipten olmalıdır.
- 3- Bağlantı demetinin işaretleri aynı sınıftan olmalıdır.
- 4- Bağlantı demetinin bir seçim fonksiyonu ( $\sigma$ ) olmalıdır.

$$\sigma : T \rightarrow 2^S \quad T: \text{Hedef bölgesi} \quad S: \text{kaynak bölgesi}$$

Hedef bölgesindeki her işlem elemanı kaynak bölgesindeki her elemana giderse "tam" full bağlıdır. (örn: çok katmanlı perceptron). Eğer her hedef bölgesi elemanı N kaynak bölgesi elemanına bağlı ise "düzgün dağılmış" (uniform) olasıdır. Ayrıca her bir elemana, yine bir kaynak elemanı bağlı ise buna "bire-bir" bağlı denir.

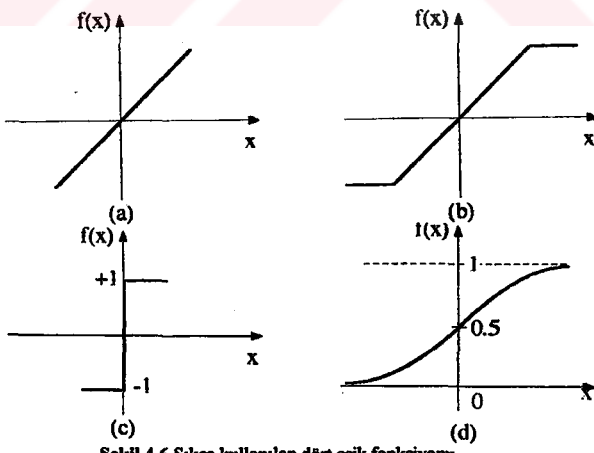
#### 4.4.3 Ağ Tipleri

Üç çeşit ağ tipi vardır

- 1- İleri beslemeli ağ: Her bir katmandaki hücreler sadece bir önceki katmanın hücrelerince beslenir.
- 2- Kaskat bağıntılı ağ: Hücreler sadece önceki katmanlardaki hücrelerce beslenir.
- 3- Geri beslemeli ağ: En az bir hücre sonraki katmanlardaki hücrelerde beslenir. (Bu çalışmada hem ileri, hemde geri beslemeli ağ tipi birlikte uygulanmalıdır).

#### 4.4.4 Eşik Fonksiyonları

Transfer veya işaret fonksiyonları olarak da adlandırılan eşik fonksiyonları, muhtemel sonsuz domen girişli işlem elemanlarını önceden belirlenmiş sınırla çıkış olarak düzenler. Dört tane yaygın eşik fonksiyonu vardır. Bunlar, rampa, basamak ve sigmoid fonksiyonudur. Şekil 4.6'da bu fonksiyonlar gösterilmiştir.



Şekil 4.6 Sıkça kullanılan dört eşik fonksiyonu

Şekil 4.6 (a)'da gösterilen lineer fonksiyonun denklemi aşağıdaki gibidir.

$$f(x) = \alpha x$$

$\alpha$ : işlem elemanının  $x$  aktivitesini ayarlayan reel değerli bir sabittir. Lineer fonksiyon  $[-\tau, +\tau]$  sınırları arasında kısıtlandığında (b)'deki rampa eşik fonksiyonu olur ve denklemi;

$$f(x) = \begin{cases} +\tau & : \text{eğer } x > \tau \text{ ise} \\ x & : \text{eğer } |x| < \tau \text{ ise} \\ -\tau & : \text{eğer } x < -\tau \text{ ise} \end{cases}$$

şeklini alır.

$+\tau$  ( $-\tau$ ) işlem elemanın maksimumu (minimumu) çoğu zaman doyma seviyesi olarak adlandırılan çıkış değeridir. Eğer eşik fonksiyon bir giriş işaretine bağlı ise yaydığı  $+\tau$  giriş toplamı pozitif, bağlı değilse eşik basamak fonksiyonu  $-\delta$  olarak adlandırılır. Şekil 3.6 (c), basamak eşik fonksiyonunu gösterir ve denklemi;

$$f(x) = \begin{cases} +\tau & : \text{eğer } x > 0 \text{ ise} \\ -\delta & : \text{diğer durumlar} \end{cases}$$

şeklindedir.

Son ve en önemli eşik fonksiyonu (bu çalışmada kullanılan) sigmoid fonksiyonudur. Şekil 4.6 (d) de gösterilen S biçimindeki sigmoid fonksiyonu; seviyeli, lineer olmayan çıkış veren, sınırlı, monoton artan fonksiyondur. Denklemi;

$$f(x) = \frac{1}{1+e^{-x}}$$

biçimindedir

Her işlem elemanı kendisine verilen yerel veriye göre, kendisini ayarlayacak bütün YSA'nın enformasyon bölgesinin öğrenmesini sağlar. (Enformasyon bölgesi olasılık-yoğunluk fonksiyonu ilde tamamlanabilir). Enformasyon bölgesi birçok uygulamada, gerçek değerin "0" ile "1" arasında normalize edilmesi gereklidir. (Normalize etmek: gerçek değeri 85 olan bir girişi 0.85 şeklinde ağa uygulamaktır.) Normalizasyon aynı anda bütün girişlere uygulanabilir.

#### 4.4.5 Ağırlık Uzayı

Bir çok YSA öğrenme işlemi, işlemlemanlarının ağırlığı değiştirilerek sağlanır. Böylece tanımlanan ağırlık değiştirilerek öğrenmede iyi bir model kullanıp, ağırlıkların bu modele göre değiştirilmesi esastır. Basit bir matematiksel model olarak herbir işlem elemanın "n" adet gerçek ağırlığı olduğu düşünülferek ve N adet işlem elemanı gözönüne alınırsa;

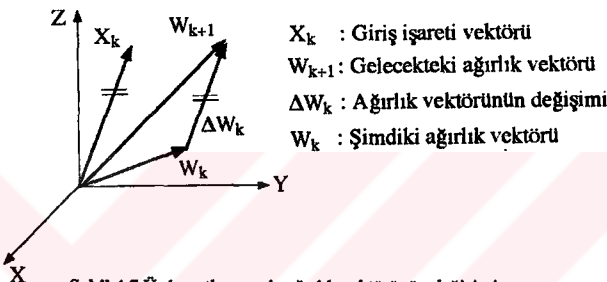
$$\mathbf{w} = (w_{11}, w_{12}, \dots, w_{1n}, w_{21}, w_{22}, \dots, w_{2n}, \dots, w_{N1}, w_{N2}, \dots, w_{Nn})^T$$

$$\mathbf{w} = (w_1^T, w_2^T, w_3^T, \dots, w_N^T)$$

$w_1, w_2, \dots, w_N$ : işlem elemanlarının ağırlık vektörleridir.

$$\begin{array}{ll}
 w_{11} & w_{N1} \\
 w_{12} & w_{N2} \\
 w_1 = . & \dots \dots \dots w_N = . \\
 & \vdots \\
 w_{1n} & w_{Nn}
 \end{array}$$

YSA ağırlık vektörü  $N$ ,  $n$  boyutlu orkid uzayında yayılır. YSA'nın enformasyon işleme performansı, ağırlık vektörünün belirli bir değeri ile bulunacaktır. Aşağıda şekil 4.7 de ağırlıkların düzeltiminin vektörel çizimi verilmiştir.



Şekil 4.7 Üç boyutlu uzayda ağırlık vektörünün değişimi

Şekilde görüldüğü gibi  $\Delta\tilde{W}_k$ ,  $\tilde{X}_k$  ile aynı doğrultuda olduğunda istenen hata düzeltimini en küçük ağırlık değişimi ile elde etmek mümkündür. Böylece yeni bir giriş örüntüsü uygulandığında önceki eğitim örüntülerinin cevabı en az bozulmuş olur. Hata değişimini inceleyen iki çeşit kural vardır.

#### 1- Hata düzeltme kuralları , 2- Gradyen kuralları

Hata düzeltme kuralları; Her bir giriş örüntüsünde ağırlıkları yeniden ağırlayarak çıktı hmasını en aza indirmeye çalışırlar. Gradyen kurallarında ise, ağırlıklar yeniden ayarlanarak ortalama karesel hatayı (MSE) en aza indirilmeye çalışılır.

Ağırlık vektörü ile çalışan YSA'da önemli noktalardan birisi, bir öğrenme kuralı geliştirip, enformasyon böglesi kullanarak (eşik fonksiyonu ile) ağırlık vektörü "w" yi istenilen YSA performansı verecek noktaya yönetmektir. Genellikle öğrenme kuralı için bir performans ya da maliyet fonksiyonu tanımlanır. Minimizasyon veya maksimizasyon ile "w" vektörü bulunur. Bir performasyon çeşidi olarak bilinen, MSE (karesel ortalama hata) şu şekilde tanımlanır.

$$F(w) = \frac{1}{A} \int_A |f(x) - G(x, w)|^2 \rho(x) d\nu(x)$$

Amaç F'yi kıçültmeye çalışmaktadır.

$y = G(w, x)$ : sistemin giriş çıkış fonksiyonu.

$y$ : çıkış işaretinin vektörü

$x$ : giriş işaretinin vektörü

w: ağırlık vektörü

p(x): olasılık yoğunluk fonksiyonu

#### 4.5 YSA'da Eğitme (Training)

##### 4.5.1 Eğitme Algoritmaları

Eğitme algoritmaları YSA'nın ayrılmaz bir parçasıdır. Eğitme algoritması eldeki problemin özelliğine göre öğrenme kuralını YSA'na nasıl adapte edeceğimizi belirtir. Üç çeşit eğitme algoritması yaygın olarak kullanılmaktadır.

- 1- Öğreticili eğitme (supervised training).
- 2- Skor ile eğitme (graded training).
- 3- Kendini düzenlemeye ile eğitme (self-organization training)

Öğreticili eğitmede, elimizde doğru örnekler vardır. Yani  $(x_1, x_2, \dots, x_n)$  şeklindeki giriş vektörünün,  $(y_1, y_2, \dots, y_n)$  şeklindeki çıkış vektörü, tam ve doğru olarak bilinmektedir. Herbir  $(x_1, y_1), (x_2, y_2), \dots, (x_N, y_N)$  çifti için ağ doğru sonuçları verecek şekilde seçilen bir öğrenme kuralıyla beraber eğitilir.

Skor ile eğitmede giriş işaretlerine karşılık gelen çıkış işaretleri tam olarak bilinmemektedir. Çıkış işaretini yerine skor verilir ve ağın değerlendirilmesi yapılır. Özellikle kontrol uygulamaları için idealdir. Çeşitli maliyet (cost) fonksiyonlarını kullanılır.

Kendini düzenleyen ağ, giriş işaretine göre kendini düzenleyerek organize eder. Olasılık yoğunluk fonksiyonlarına, sınıflandırma ve şekil tanıma problemlerine uygulanabilir.

Ne tür eğitme yöntemi kullanılsrsa kullanılsın, herhangi bir ağ için gerekli karakteristik özellik, ağırlıkların verilen eğitme örneğine nasıl ayarlanacağının belirlilerek öğrenme kuralının oluşturulmasıdır. Öğrenme kuralının oluşturulması için bir örneğin ağa defalarca tanıtılması gerekebilir. Öğrenme kuralı ile ilişkili parametreler ağıın zaman içinde gelişme kaydetmesiyle değişebilir. Hangi YSA algoritmasında ne tür bir eğitme kullanıldığı bu bölümün giriş işaretlerinin sınıflandırılması kısmında gösterilmiştir.

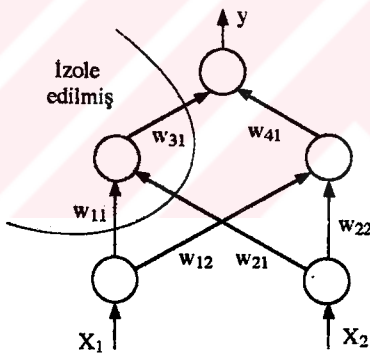
##### 4.5.2 Bellek

YSA'nın önemli bir özelliği bilgiyi saklama şeklidir. YSA'da bellek, birçok yerel bellekler oluşturularak dağıtilır. Bağlılı ağırlıkları YSA bellek biçimleridir. Ağırlıkların değerleri ağıın o anki bilgi durumunu temsil eder. Mesela; bir giriş/istenen çıkış çiftinin belirtilen bilgi parçası ağıın içinde birçok bellek biçimine dağılmıştır. Bellek üniteleri ile diğer saklı bilgiler, bu bilgiyi paylaşırlar. Bazi

ilişkilidir. Öyleki eğitilen ağa birkismi uygulanırsa, ağ bu girişe belleğindeki en yakın çıkışını bu giriş için seçer ve tam girişe bağlı çıkış ortaya çıkar. Eğer YSA oto-ilişkili ise, kısmi giriş vektörlerinin ağa verilmesi bu girişlerin tamamlanması ile sonuçlanır. YSA belleğinin yapısı; eksik, gürültülü ve tam seçilemeyen bir giriş uygulandığı zaman bile mantıklı çıkış üretmeye uygundur. Bu kurala "genellemme" adı verilir. Bir genellemenin kalitesi ve anlamı, uygulama çeşidine, ağın tipine ve karmaşıklığına dayanır. Lineer olmayan çok katmanlı ağlar (özellikle geriye yayının ağları) gizli katmandaki özelliklerden öğrenirler ve bunları çıkışlar üretmek için birleştirirler. Gizli katmandaki bilgi, yeni giriş örüntülerine akıcı çözümler oluşturmak için kullanılabilir.

#### 4.5.3 Hata Toleransı

Klasik hesaplama sistemleri çok az bir zarardan bile etkilendir. YSA için durum farklıdır. Bu farklılık YSA'nın hata toleransı olmasıdır. İşlem elemanlarının az da olsa zarar görmesi sistemin bütünlüğünü etkiler. YSA paralel dağılmış parametreli bir sistem olduğundan her bir işlem elemanı izole edilmiş bir ada olarak düşünülebilir. Şekil 4.8'de çok katmanlı perceptron (MLP) için bu durum gösterilmiştir.



Şekil 4.8 MLP'nin izole edilmiş hali

Daha çok işlem elemanın zarar görmesi ile sistemin davranışı biraz daha değişir. Performans düşer ama sistem hiç bir zaman durma noktasına gelmez. YSA sistemlerinin hata toleransı olmasının nedeni bilginin tek bir yerde saklanmayıp, sisteme dağıtılmıştır. Bu özellik sistemin durmasının önemli bir zarara neden olacağı uygulamalarda önem kazanır.

#### 4.6 Öğrenme Kuralları

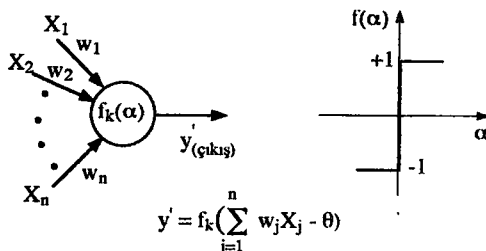
Bilginin kurallar şeklinde açıklandığı klasik uzman sistemlerin tersine, YSA gösterilen örnekten öğrenerek kendi kurallarını oluşturur. Öğrenme; giriş örneklerine veya (tercihen) bu girişlerin çıkışlarına bağlı olarak ağır bağlantı ağırlıklarını değiştiren veya ayarlayan öğrenme kuralı ile gerçekleştirilir. Öğreticisiz öğrenmede her giriş işaretü için istenen çıkış sisteme tanıtılır ve YSA giriş/çıkış ilişkisini gerçekleştirene kadar kademe kademe kendini ayarlar. Günümüzde kullanılan birçok öğrenme kuralı vardır. Bilinen en çok kullanılan öğrenme kuralları şunlardır.

- Raslantısal (Hebb) öğrenme kuralı
- Performans (Widrow ve ADALİNE) öğrenme kuralı
- Kompetitif (Kohonen) öğrenme
- Filtreleme (Grossberg)
- Spotitemporal öğrenme
- Genelleştirilmiş Delta Kuralı Öğrenme

Burada bütün öğrenme kuralları incelenmeyecektir. Sadece tezde kullanılan "Genelleştirilmiş Delta Kuralı" öğrenmesi ilk oluşumundan yani perceptron halinden başlayıp, tüm gelişimiyle son durumu anlatılacaktır.

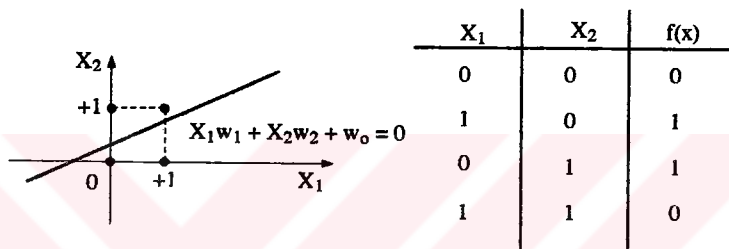
##### 4.6.1 Perceptron (İdrak, almaç)

Perceptron ağı, ilk 1943 yılında Mc Culloch ve Pitts tarafından saptandı. Onların bahsettikleri YSA tipi aşağıda şekil 4.9'da gösterildiği gibidir (McCulloch and Pitts, 1943).

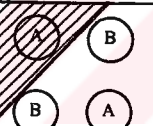
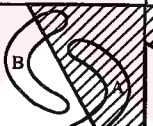
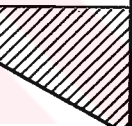
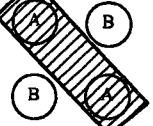
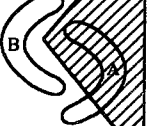
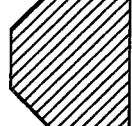
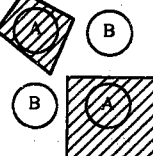
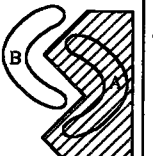
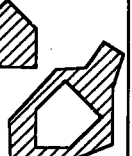


$$\sum_{j=1}^n w_j x_j - \theta = 0 \quad n\text{-boyutlu uzayda } n-1 \text{ boyutlu bir düzlem belirler.}$$

Yani bu ilk perkeptron modeline göre, giriş bilgisinin mevcut iki sınıfından hangisine eşit olabileceğini bulacak şekilde eğitilen basit bir ağdır. Daha sonra 1960 yıllarda F.Rosenblatt yukarıdaki ağ tipini biraz daha geliştirdi (Hebb, 1949). Ama Minsky ve Papert bu tek katmanlı perceptronun XOR (ayraklılık veya) işlemini gerçekleştiremediğini ispatladılar. Şekil 4.10 ve şekil 4.11'den anlaşılacağı gibi 0'ların bir tarafta 1'lerin bir tarafta ayıracak şekilde bir bölge oluşturamıyor. XOR gibi 3 veya daha fazla sınıfa ihtiyaç duyulan problemleri çözmek için yapılması gereken işlem; YSA yeni katmanlar eklemektir. Eşik bağlantılarıyla oluşturulan karar bölgesi şeklärin karmaşaklılığı sadece eklenmiş olan katmanların sayısıyla sınırlıdır. Şekil 4.11'de gösterildiği gibi içbükey ayrınlabilir fonksiyonlar gerçekleştirilebilir (Pao, 1989).



Şekil 4.10 Lineer yayılabilirliğin gösterimi

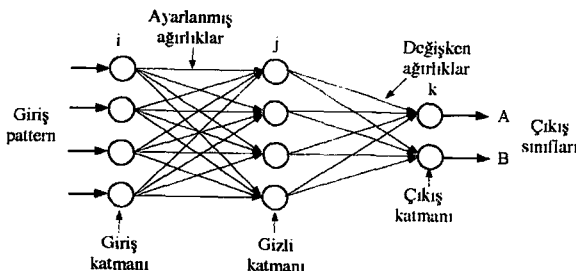
YAPI	Karar Bölgeleri tipi	XOR Problemi	Bölgelere Dayanımlı sınıflar	En İyi ayırdığı bölge şekilleri
Tek katman  (a)	Doğrusal ayrıntıyalabilir. Ayrıncılık veya işlevini gerçekleymez.			
İki katman  (b)	Konveks (iç bükey) açık veya kapalı bölgeler.			
Üç katman  (c)	İç bükey olmayan hatta bağıntılı olmayan bölgeler			

Şekil 4.11 Çok katmanlı perceptron'da gizli katmanın rôle

Bilgi lineer yaylamıyorsa 2. katmanın çıkışı konveks bölgededir ve bunun neticesi olarak 3. katmandan gelecek olan çıkış bilgisinin şekli, herhangi bir bölgenin şeklinde olabilir. Bu sebeple ihtiyaç duyulan katman sayısı üç olmaktadır. Şekil 4.11'den anlaşılabileceği gibi iç-bükey olmayan hatta basit bağlantılı olmayan bölgeleri kümelemek ancak 3-katmanlı ağ ile mümkündür. 3-katmanlı perceptronun 2. katmanında ihtiyaç olan düğümlerin sayısı, bir karar bölgesinin bireştirilmemiş hali veya bir ağ gözümüzün bir dış-bükey alandan meydana gelemediğinin birinden büyük olması lazımdır. 2. katmandaki düğüm sayısı en kötü durumda giriş bilgilerinin dağılımını yapan bölgenin bağlanmamış sayısına eşit olması gereklidir. Birinci katmandakilerin sayısı her iki katmandaki değişim ile 3 ya da 4 köşeli dışbükey bir alan oluşturmaya yeterli seviyede olmalıdır. Bunun tipik bir sonucu olarakda en az 1. katmandakinden üç kat fazla miktarda olması gerekmektedir. Bunu beraber Gutierrez ve arkadaşları değişik perceptron ağlarının ihtiyacı olan düğüm sayıları hakkında çalışma yaptılar ve çok fazla düğümünde, çok az sayıda olduğu gibi zararlı etkisi olduğunu buldular (Gutierrez et al, 1989). Tek katmanlı perceptron uygulanan her eğitimin seti modelinin en önemli özelliği, lineer biçimde dağılmak zorunda olmasıdır. Şayet bu doğruya, Rosenblatt perceptron ağının kararlı olacağını gösterebilir. (Mesela ağırlıklar iterasyonla yakinsar).

#### 4.6.2 Çok Katmanlı Perceptron (Multi-Layer Perceptron)

Çok katmanlı perceptron giriş ve çıkış katmanları arasında birden fazla katmanın kullanıldığı YSA sistemleridir. Gizli katman (hidden layer) olarak isimlendirilen bu katmanlarda, düğümleri aracılık yapmayan ve aracılık yapmayan uniteler vardır. Şekil 4.12 'de çok katmanlı perceptronun genel yapısı verilmiştir.



*Şekil 4.12 Çok katmanlı perceptron yapısı*

İki katmanlı ağlarda veriler giriş katmanı tarafından kabul edilirler. Ağ içinde yapılan işlemler sonucunda çıkış katmanında oluşan sonuç değer işlenen cevap ile karşılaşılır. Bulunan cevap ile istenen cevap arasındaki herhangi bir ayrılık varsa ağırlıklar bu farkı azaltarak şekilde yeniden düzenlenir. Girişteki değer, ağırlıklar uygun noktaya ulaşana kadar değişmez. Hesaplanan çıkışlar istenilen cevaplarla karşılaşırarak sonuçta gerekirse hata belirtilir. Hata işaretini gizli birimlerden çıkış birimine olan ağırlıkları değiştirmekte kullanılır. Ama bunu yaparken giriş katmanından gizli katmana gelenin değiştirilip değiştirilemediğini düşünmek gerekir. Gizli birimlerden ne tür bir çıkış istediği bilinmeyeceğinden gizli birimlerin çıkışında hata işaretini verilmesi kolay bir şey değildir. Bunun yerine her bir birimin çıkış biriminin hatalarına olan etkisi bilinmelidir. Bu hatalı birim için gizli birime bağlı olan çıkış birimlerinin hata işaretlerinin ağırlıkları toplamı alınarak yapılır. Çok gizli katmana sahip sistemlerde her sistemin hata işaretleri, bir önceki katmanın düzeltilmiş işaretlerinden çıkartılarak işlem tekrarlanır. Sonuç olarak ağırlık düzeltme işlemi çıkış seviyesine bağlı ağırlıklardan başlar ve işlem ters yönde, giriş seviyesine varana kadar devam eder. Sonuçta sistem hatalar yapar, ama bu hatalardan bireyler öğrenip isteneni bulana kadar işleme devam eder. Bu yönteme "hatanın geriye yayılması algoritması" (Back-propagation algorithms) denir.

#### 4.6.3 Hatanın Geriye Yayılması Algoritması ve Genelleştirilmiş Delta Kuralı

Hatanın geriye yayılması algoritması, karesi alınmış hata fonksiyonunu minimize eden kodlu bir algoritma olup ve genelleştirilmiş delta kuralını eğitme için kullanılır. Şekil 4.13'de mimarisini gösterilen algoritma, ana hatlarıyla şöyledir:

m-boyutlu giriş örüntüleri set edildiğinde  $X_i = [X_1, X_2, \dots, X_m]^T$  'dir. Benzer şekilde istenilen n-boyutlu çıkış örüntüleri  $d_k = [d_1, d_2, \dots, d_n]^T$  belirtir. j. katmana giren ağ;

$$net_j = \sum_{i=1}^m w_{ji} \cdot x_i \quad (4.1)$$

j. düğüm çıkışı (transfer fonksiyonu çıkışı);

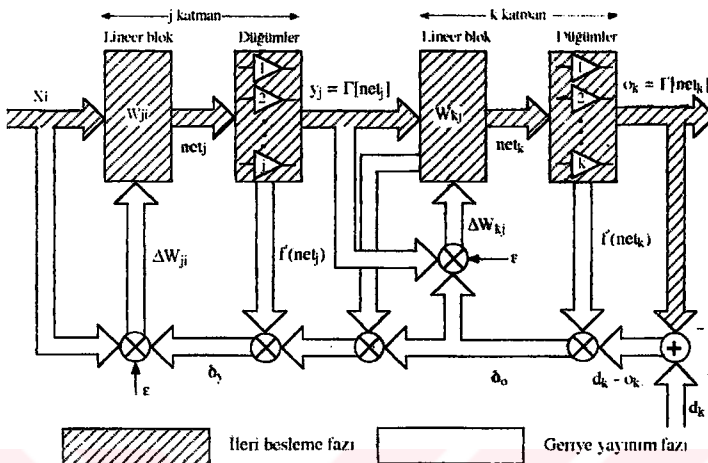
$$y_j = f(net_j); \quad j = 1, 2, \dots, J \quad (4.2)$$

k katmanına ait nörona giren ağ;

$$net_k = \sum_{j=1}^J w_{kj} \cdot y_j \quad (4.3)$$

k. düğümünün lineer olmayan çıkışı;

$$o_k = f(net_k); \quad k = 1, 2, \dots, K \quad (4.4)$$

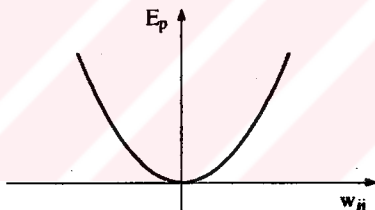


**Şekil 4.13** Hatanın geriye yayılması algoritmasının blok diyagramı

Herbir pattern (örnütü) için karesel hata;

$$E = \frac{1}{2} \sum_k (d_k - o_k)^2 \quad (4.5)$$

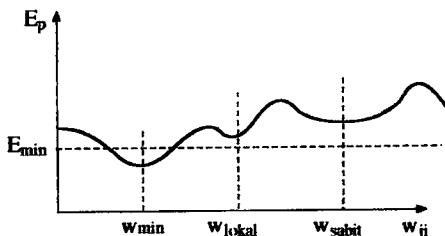
olur. Hata fonksiyonu Şekil 4.14 de gösterildiği gibidir.



**Şekil 4.14** Gizli katman olsayan ağıın hata fonksiyonu

Gizli katman olduğu zaman; Hata düzeyi şekil 4.14'de olduğu gibi sadece bir minimumdan oluşmuyor.

Şekil 4.15'deki gibi çeşitli minimumlar olusur. Öğrenmede en küçük minimuma ulaşılmak istenir.



**Şekil 4.15** Gizli katmana ait ağıın hata fonksiyonu

Ağırlıkların değişimi;

$$\Delta W_{kj} = -\epsilon \frac{\partial E}{\partial W_{kj}} \quad (4.6)$$

Burada,  $\epsilon$ ; öğrenme oranı adı verilen küçük değerde bir pozitif sayıdır. (4.6)'de eşitliğin sağ tarafını açarsak,

$$\frac{\partial E}{\partial W_{kj}} = \frac{\partial E}{\partial net_k} \quad (4.7)$$

$$\frac{\partial E}{\partial net_k} = \frac{\partial E}{\partial net_k} \frac{\partial net_k}{\partial W_{kj}} \quad (4.7)$$

$$\frac{\partial net_k}{\partial w_{kj}} = \frac{\partial}{\partial w_{kj}} \sum_j w_{kj} \cdot y_j = y_j \quad (4.8)$$

Amaç uygun  $w$  seçimiyle,  $E = \sum_p E_p$  toplam hatayı yeterince küçük yapmaktır. Bu amaci gerçekleştirmek için, bir  $p \in P$  örüntüsü ard arda ve rasgele biçimde seçilir.  $k$ . nöronda oluşan ve 'delta' adı verilen hata işaretti,

$$\delta_o = -\frac{\partial E}{\partial net_k} \quad (4.9)$$

(4.8) ve (4.9)'u (4.7) de ve onuda (4.6) da yerine koyarsak,

$$\Delta w_{kj} = \epsilon \delta_o y_j \quad (4.10)$$

elde edilir. Bu terime 'Delta Kuralı' denir. (4.9) kısmi türevlerine ayrılrsa,

$$\delta_o = -\frac{\partial E}{\partial net_k} = -\frac{\partial E}{\partial o_k} \frac{\partial o_k}{\partial net_k} \quad (4.11)$$

$$\frac{\partial E}{\partial o_k} = -(d_k - o_k) \quad (4.12)$$

olup  $k$ . nöron çıkışının lokal hatasını verir.

$$\frac{\partial o_k}{\partial net_k} = f'_k(net_k) \quad (4.13)$$

Son iki formülü (4.11)'de yerine koyalım;

$$\delta_o = (d_k - o_k) f'_k(net_k) \quad (4.14)$$

bulunur. Bu son terim (4.10) da yerine konulduğunda  $k$  nöronu için;

$$\Delta w_{kj} = \epsilon(d_k - o_k) f'_k(net_k) y_j \quad (4.15)$$

Eğer ağırlıklar çıkış nöronlarını direkt olarak etkilemiyorsa (yani arada gizli katman var ise) (4.10)'a benzer biçimde delta kuralını uygulayalım.

$$\Delta w_j = -\varepsilon \frac{\partial E}{\partial w_j} \quad (4.16)$$

$$\begin{aligned} &= -\varepsilon \frac{\partial E}{\partial net_j} \frac{\partial net_j}{\partial w_j} = -\varepsilon \frac{\partial E}{\partial net_j} x_i \\ &= -\varepsilon \left( -\frac{\partial E}{\partial y_j} \frac{\partial y_j}{\partial net_j} \right) x_i = \varepsilon \left( \frac{\partial E}{\partial y_j} \right) f'_j(net_j) x_i \\ \Delta w_j &= \varepsilon \delta_y x_i \end{aligned} \quad (4.17)$$

Bununla birlikte  $\partial E / \partial y_j$  faktörü direkt olarak geliştirilemez. Özel olarak çıkış katmanına etkisi;

$$-\frac{\partial E}{\partial y_j} = -\sum_k \frac{\partial E}{\partial net_k} \frac{\partial net_k}{\partial y_j} = \sum_k \left( -\frac{\partial E}{\partial net_k} \right) \frac{\partial}{\partial y_j} \sum_m w_{km} y_m = \sum_k \left( -\frac{\partial E}{\partial net_k} \right) w_{kj} = \sum_k \delta_o w_{kj}$$

bulunur. Bu durumda;

$$\delta_y = f'_j(net_j) \sum_k \delta_o w_{kj} \quad (4.19)$$

Kısaca özetleyeceğiz olursak; (4.17) formülü şayet j. nöron, çıkış katmanı nöronuysa (4.14)' ebnez birimde,

$$\delta_y = (d_y - o_y) f'_j(net_j) \quad (4.20)$$

olur. Eğer j nöronları gizli katmana ait nöronlar ise ozaman (4.19) nolu formül kullanılır. Transfer (esik) fonksiyonu olarak sigmoid fonksiyonu kullanıldığında;

$$f(net_j) = y_j = \frac{1}{1 + e^{-net_j}} \quad (4.21)$$

olur. Türevi alınırsa,

$$\begin{aligned} f'(net_j) &= \frac{1}{1 + e^{-net_j}} \frac{1 + e^{-net_j} - 1}{1 + e^{-net_j}} \quad \text{gerekli sadeleştirme yapıldığında} \\ \frac{\partial y_j}{\partial net_j} &= y_j(1 - y_j) \end{aligned} \quad (4.22)$$

Benzer biçimde k katmanı içinde yapılursa;

$$\frac{\partial o_k}{\partial net_k} = f'_k(net_k) = o_k(1 - o_k) \quad (4.23)$$

elde edilir. Bu durumda (4.14) ve (4.19) daki deltalar aşağıdaki gibi olur. ( $\delta_0$  : çıkış katmanı,  $\delta_y$  : gizli katman elemanları içindir);

$$\delta_o = (d_k - o_k) o_k(1 - o_k) \quad (4.24)$$

$$\delta_y = y_j(1-y_j) \sum_k \delta_o w_{kj} \quad (4.25)$$

$\omega_{ji}$  'yi öğrenme durumunda eğitme örtüntülerinin seti, her örtüntü seti için  $\Delta w_{ji}$  yi hesaplamak gerekir. Öğrenme oranı ( $\epsilon$ ) hızlı öğrenmeyi sağlar fakat osilasyona sebep olabilir. Rumelhart ve arkadaşları (4.15) ve (4.17) ifadelerinin bir tür momentum terimi içermek üzere düzenlenebileceğini ileri sürmüştürlerdir. Bu durumda;

$$\Delta W_{ji}(n+1) = \epsilon \delta_y x_i + \alpha \Delta W_{ji}(n) \quad (4.26)$$

$$\Delta W_{ij}(n+1) = \epsilon \delta_o y_j + \alpha \Delta W_{ij}(n) \quad (4.27)$$

olarak yazabilirdiz. Burada  $n$ : öğrenme saykıklarının (iterasyon) sayısını gösterir. Momentum terimi olan ( $\alpha$ ) küçük değerde pozitif bir sayıdır.

#### 4.6.4 Öğrenme ve Momentum Katsayıları

YSA ile ilgili bir başka sorunda, düzelin bir öğrenme katsayısının ( $\epsilon$ ) ayarlanmasıdır. Ağırlıkları çok yüksek tutmak davranışın bozulmasına neden olabilir. O nedenle öğrenme katsayısını böyle bir davranıştı önlemek için küçük tutmak gereklidir. Öğrenme katsayı,  $0.01 < \epsilon < 10$  aralığında seçilen sabit bir sayıdır. Öte yandan çok küçük bir öğrenme oranında, öğrenme işleminin yavaşlamasına yol açar.

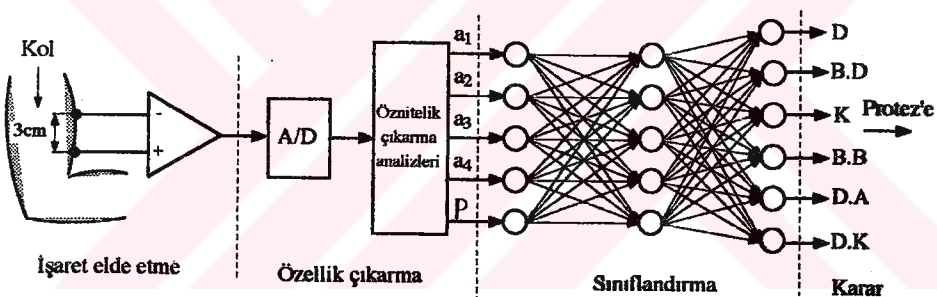
Momentum ( $\alpha$ ) fikri bu noktadan hareketle ortaya atılmıştır. Momentum mevcut delta ağırlığı üzerinden önceki delta ağırlığının belli bir kısmını besler. Böylece daha düşük öğrenme katsayı ile daha hızlı öğrenme elde edilir. Momentum katsayı genellikle  $0 < \alpha < 1$  aralığında değişen sabit bir sayıdır.

## 5. ÇOK FONKSİYONLU PROTEZLER İÇİN YSA KULLANARAK MİYOELEKTRİK KONTROL

Bir miyoelektrik kontrollü protez temelde, işaret işleme birimi ile kontrol biriminden meydana gelmektedir. İşaret işleme birimi; EMG işaretini ölçer, kuvvetlendirme ve filtreleme gibi ön işlemlerden sonra bilgi taşıyan parametreleri bulur. Kontrol biriminde ise; bulunan veriler kullanılarak çok fonksiyonlu hareket sınıflandırılması yapılır. Böylece özürfünün amaçladığı harekete karar verilir.

### 5.1 Sistem Kontrol Dizaynı

Bu çalışmada gerçekleştirilmesi istenen (amaç); ön kolun biceps ve triceps kaslarından alınan EMG işaretleriyle, protez motorlarını kumanda edecek lojik bilginin elde edilmesidir. İşte bu bilginin elde edilmesini sağlayan sistemin kontrol dizaynı Şekil 5.1'de gösterildiği gibidir.



Şekil 5.1 Sistem kontrol dizaynı

Şekilden de anlaşılacağı gibi, sistem kontrol dizaynı; işaret elde etme, özellik çıkarma, sınıflandırma ve karar aşamalarından oluşmaktadır. İşaret elde etme kısmında, gümüş-gümüş klorür elektroldardan alınan EMG işareti önce kuvvetlendirilip, daha sonra 1kHz alçak geçiren filtre ile sizilerek dc seviye kaydırıcı devresine uygulanır. (Detaylı bilgi için bkz. Bölüm 2) Özellik çıkarma aşamasında; A/D çevirisici (5kHz), veri kayıt ve AR kestirimini (Parcor yöntemi ile) yapılmaktadır. Enson aşamada ise; Yapay Sinir Ağları (YSA) ile verilen AR parametrelerinin sınıflandırılması yapılarak karar verilir.

EMG işaretleri, 26 yaşında sağlıklı bir erkek denekten çeşitli kol hareketlerini sinayarak alınmıştır. Yapılan hareketler: dirsek kapama (elbow flexion), dirsek açma (elbow extension), bilek döndürme (wrist supination), bilek bükme (wrist flexion), kavrama (grasp) hareketleri ve dinlenme (resting)'dır. Her hareket 6 kez tekrarlanıp, her deneğede yaklaşık bir saniyede 4800 örnek alınarak

saklanmıştır. Deneyler yapıılırken hareketin başlangıç ve bitiş noktaları atılarak, hareketin lineer olduğu bölge alındı ve her denemede kaslara aynı kuvvet uygulanmaya gayret edildi.

Elde edilen verilerin işlenmesi aşamasında, EMG işaretleri normalize edildikten sonra dc seviyeleri bulundu ve herbir örnekten dc seviyeleri çıkartılarak işaret sıfır ortalamalı hale getirildi. Her deney için kaydedilen 4800 örneklik veri, herbiri 80 ms'lik 400 örneğe sahip olan 12 segmente ayrılarak incelendi. Her segment, "Blackman" tipi pencere fonksiyonu ile çarpılarak pencereleme işlemi yapıldı. Blackman tipi pencere fonksiyonunun ayrık zamandaki ifadesi aşağıdaki gibidir.

$$w(n) = 0.42 - 0.5 \cos\left(\frac{2\pi n}{N-1}\right) + 0.08 \cos\left(\frac{4\pi n}{N-1}\right), \quad n = 0, 1, 2, \dots, (N-1)$$

Her hareket için elde edilen AR katsayıları ( $a_1, a_2, a_3, a_4$ ) vektörlerinin oluşturduğu uzayda tek bir değerde olmayıp, istatistiksel, biyolojik vb. saptamlardan ötürü bir değerler kümesi şeklinde dağılm göstermektedir. Farklı hareketler için elde edilen bu değerler kümesi, belitilen uzayda birbirinden yeterince uzaksa bu hareketler kolaylıkla ayırtedilebilir. Yaptığımız deneylerde işlenecek her segmentin bir pencere fonksiyonu ile çarpılmasıyla elde edilen AR katsayıları, pencereleme yapılmadan elde edilenlere göre daha iyi gruplaşma sağlamıştır. Bu nedenle pencereleme işlemi yapılmıştır. Çeşitli hareketler için elde edilen AR katsayıları Tablo 5.1-5.6'da verilmiştir. Tabloda, sırasıyla  $a_1, a_2, a_3$  ve  $a_4$  katsayılarına ait değerler görülmektedir.

**Tablo 5.1. Dinlenme AR Katsayıları**

$a_1$	$a_2$	$a_3$	$a_4$
-9.6845563318E-01	-1.5400527307E-01	1.3427406528E-01	7.4366799392E-02
-1.0497303938E+00	2.4184004970E-03	4.0869415318E-02	1.2779659727E-01
-9.2388897922E-01	-1.4672540367E-01	2.6943985669E-01	-7.7113845847E-02
-9.4570361030E-01	-1.3319789043E-01	2.3991312436E-02	1.3348951770E-01
-8.6972619636E-01	-1.6419381431E-01	5.312518849E-02	8.6418984900E-02
-9.9760288423E-01	-2.1539712883E-01	3.4189008671E-01	-6.8069358428E-03
-6.308925263E-01	-2.1380003899E-01	1.2691625064E-01	8.8365856683E-02
-7.5374334159E-01	-2.7940743845E-01	1.4858593883E-01	1.1780134702E-01
-9.3169638653E-01	-2.2416827596E-01	3.0335611006E-01	-7.8712744674E-02
-1.0011006377E+00	-9.4817987105E-02	7.3991220989E-02	1.4613025027E-01
-8.8217377929E-01	-2.5375166024E-03	-1.3407080454E-02	1.4986096858E-01
-9.0702000103E-01	-1.8376654425E-01	1.0685136953E-01	7.0758531863E-02

Tablo 5.2. Bilek Döndürme AR Katsayıları

a <sub>1</sub>	a <sub>2</sub>	a <sub>3</sub>	a <sub>4</sub>
-1.6782944886E+00	2.6520971170E-01	6.1145966890E-01	-1.9385527057E-01
-1.6668844824E+00	2.9128419000E-01	5.7313242335E-01	-1.8845705196E-01
-1.7461513174E+00	3.6548327314E-01	6.5294178040E-01	-2.6558300438E-01
-1.3025860960E+00	-1.1446867276E-01	3.2965108775E-01	1.0345283121E-01
-1.6766072277E+00	3.8765627083E-01	3.9051372035E-01	-9.2938484190E-02
-1.6251298068E+00	2.3540441738E-01	6.1427725759E-01	-2.1594742888E-01
-1.5167089140E+00	1.8555941225E-01	3.1414453378E-01	2.4623479891E-02
-1.7621534596E+00	3.4742859380E-01	6.9550974971E-01	-2.7184063596E-01
-1.8006326425E+00	4.9785971212E-01	4.9213001705E-01	-1.862514748E-01
-1.6311482325E+00	2.3110173842E-01	5.4244144339E-01	-1.3354386907E-01
-1.6576312368E+00	2.5007500734E-01	6.2423480450E-01	-2.0160357415E-01
-1.7242866413E+00	3.3098455016E-01	6.2193987179E-01	-2.2082391743E-01

Tablo 5.3. Kavrama AR Katsayıları

a <sub>1</sub>	a <sub>2</sub>	a <sub>3</sub>	a <sub>4</sub>
-1.7628620203E+00	3.3509014048E-01	7.7903685144E-01	-3.3784912048E-01
-1.7147937194E+00	3.8440939067E-01	5.3351277970E-01	-1.9138849529E-01
-1.7847137462E+00	4.5364101095E-01	5.9422588725E-01	-2.5489654237E-01
-1.6969885901E+00	4.2314270627E-01	3.5911528476E-01	-7.5380301477E-02
-1.7920895718E+00	4.5149447486E-01	6.3829194507E-01	-2.8863118420E-01
-1.8890499350E+00	5.9260677875E-01	5.9514623768E-01	-2.9097552091E-01
-1.9145207019E+00	6.3425417746E-01	5.8029881792E-01	-2.9383511415E-01
-1.6212407393E+00	2.9392652232E-1	4.3690521059E-01	-1.0108151881E-01
-1.7480720586E+00	4.7166348138E-01	4.8403544742E-01	-1.9144358599E-01
-1.7411912333E+00	3.7700625993E-01	5.8395543349E-01	-2.0921690180E-01
-1.5918863811E+00	1.3577361182E-01	6.4716547454E-01	-1.8351180178E-01
-1.6465979555E+00	2.8133125987E-01	5.0332032768E-01	-1.2983359683E-01

Tablo 5.4. Bilek Bükme AR Katsayıları

a <sub>1</sub>	a <sub>2</sub>	a <sub>3</sub>	a <sub>4</sub>
-1.7177802376E+00	1.7923506031E-01	8.6416402389E-01	-3.2248749080E-01
-2.1556195534E+00	1.0727194727E+00	4.1624856169E-01	-3.2769068977E-01
-2.1094966700E+00	9.4973859050E-01	5.2513090298E-01	-3.6229070932E-01
-1.9881745683E+00	7.1473677244E-01	6.3532171690E-01	-3.5710443516E-01
-2.0302231521E+00	8.7372247668E-01	3.9424159375E-01	-2.3394918091E-01
-2.0361573993E+00	7.2691468604E-01	7.5100323360E-01	-4.3777890206E-01
-2.1158109897E+00	9.9905398463E-01	4.4321123616E-01	-3.2188584227E-01
-2.0156995333E+00	8.2924206776E-01	5.1270155057E-01	-3.1983913478E-01
-1.9381246455E+00	6.7198915940E-01	6.0503315396E-01	-3.2973071443E-01
-2.1954326032E+00	1.1464640424E+00	3.7764439479E-01	-3.2738111062E-01
-2.013877545E+00	7.1353238125E-01	7.0211842794E-01	-3.9699016671E-01
-1.9626837954E+00	6.7939541286E-01	6.1023028541E-01	-3.2306485047E-01

Tablo 5.5. Dirsek Açma AR Katsayıları

a <sub>1</sub>	a <sub>2</sub>	a <sub>3</sub>	a <sub>4</sub>
-2.2914128854E+00	1.4157880401E+00	1.5643946565E-01	-2.7576257484E-01
-2.2236665563E+00	1.1925184658E+00	3.7804077194E-01	-3.4387288667E-01
-2.5605990742E+00	2.1284516167E+00	-4.7985836909E-01	-8.5217132090E-02
-2.1855094142E+00	1.1668151587E+00	3.5497629656E-01	-3.0421272700E-01
-2.1335049591E+00	1.0162656173E+00	4.8782226231E-01	-3.6814453276E-01
-2.3205685494E+00	1.3983241604E+00	2.4926231425E-01	-3.2406063327E-01
-2.2736460701E+00	1.3090069187E+00	3.0759887510E-01	-3.4078144846E-01
-2.1544811453E+00	1.0935288607E+00	3.8948655289E-01	-3.2407480865E-01
-2.2177809049E+00	1.1889682963E+00	4.0943813260E-01	-3.7655125553E-01
-2.3595552024E+00	1.5141832312E+00	1.3451033751E-01	-2.8448465373E-01
-2.3105310227E+00	1.4117335132E+00	2.0540127137E-01	-3.0442982559E-01
-2.0866797895E+00	9.1354732122E-01	5.1311636760E-01	-3.3697516577E-01

Tablo 5.6. Dirsek Kapama AR Katsayıları

a <sub>1</sub>	a <sub>2</sub>	a <sub>3</sub>	a <sub>4</sub>
-2.3542062185E+00	1.4851184597E+00	1.4528583345E-01	-2.7379972680E-01
-2.4726544348E+00	1.8385442000E+00	-2.0527237386E-01	-1.5744447000E-01
-2.4573193843E+00	1.7527869504E+00	-8.6343603770E-02	-2.0686584583E-01
-2.3926002892E+00	1.6307035562E+00	9.9958495213E-03	-2.4512770954E-01
-2.3730717435E+00	1.5655434941E+00	3.6312152113E-02	-2.2689045467E-01
-2.2351576581E+00	1.2796459202E+00	2.7017863040E-01	-3.1305935123E-01
-2.4544280426E+00	1.7943195725E+00	-1.2409796096E-01	-2.1258192259E-01
-2.6320357985E+00	2.2931298851E+00	-6.1287175187E-01	-4.5692505305E-02
-2.5094879915E+00	1.9042301538E+00	-2.0069102896E-01	-1.9150689238E-01
-2.3592941518E+00	1.5443889449E+00	7.4672604464E-02	-2.5650593923E-01
-2.5892689199E+00	2.1397847674E+00	-4.3889054107E-01	-1.1007795451E-01
-2.4751362659E+00	1.8528491083E+00	-2.1320267626E-01	-1.8249904129E-01

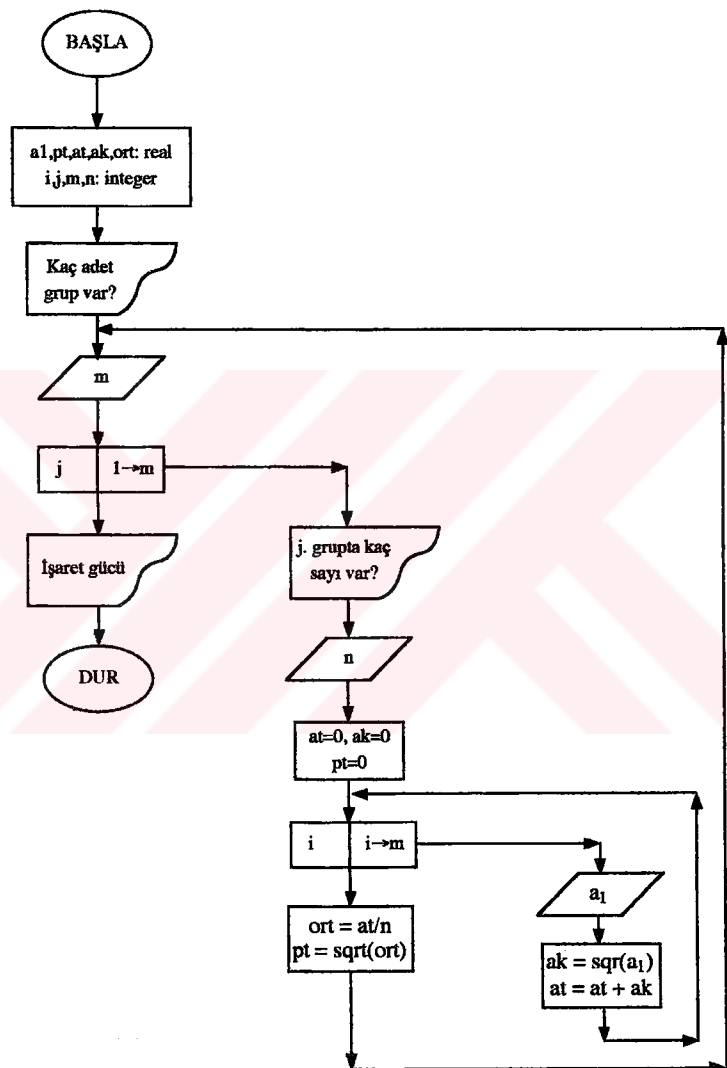
İşaret gücü (signal power) olarak adlandırılan ve ( P ) ile gösterilen ifade; bilinen güç kavramlarından farklı olup, AR parametrelerinin geometriksel ortalamasını ( yada standart sapmasını ) belirtir. Bu tanıma göre işaret gücü örneğin a<sub>1</sub> parametresine göre şu şekilde formülize edilir.

$$P = \sqrt{\frac{a_{11}^2 + a_{12}^2 + a_{13}^2 + \dots + a_{1n}^2}{n}}$$

Burada ( n ), denek sayısı olup bu çalışmada her hareket için 12 adet örnek alındığından n=12 olur. Altı farklı hareket için işaret güçleri ayrı ayrı hesaplanır. Şekil 5.2'deki akış diyagramında, işaret gücünün hesaplanması gösterilmektedir. İşaret gücü, yapay sinir ağı girişinde bir nevi kutup (bias) gibi davranışlığı için etkilidir. İlk AR parametresi olan a<sub>1</sub> dışında sırayla a<sub>2</sub>, a<sub>3</sub> ve a<sub>4</sub> lerin dahil olduğu durumlarda yukarıda verilen eşitlikle benzer biçimde ilave edilerek hesaplanır. Her hareket için, parametrelerin tek tek ilave edilmesinde hesaplanan işaret güçleri Tablo 5.7'de verilmiştir.

Tablo 5.7

Parametre	P (D)	P (BD)	P (K)	P (BB)	P (DA)	P (DK)
a <sub>1</sub>	0.927	1.655	1.744	2.028	2.237	2.443
a <sub>1</sub> , a <sub>2</sub>	0.667	1.190	1.269	1.550	1.846	2.136
a <sub>1</sub> , a <sub>2</sub> , a <sub>3</sub>	0.518	0.918	1.013	1.234	1.517	1.738
a <sub>1</sub> , a <sub>2</sub> , a <sub>3</sub> , a <sub>4</sub>	0.4821	0.8901	0.9488	1.1469	1.3278	1.5206

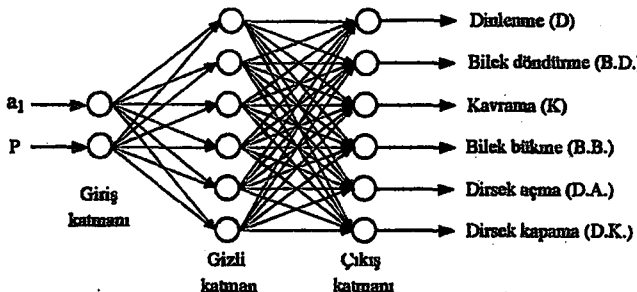


Şekil 5.2 İşaret gücü hesabı akış diyagramı

### 5.2 EMG İşareterini Sınıflamak İçin Kullanılan Çok Katmanlı Perceptron (İdrak) Ağı

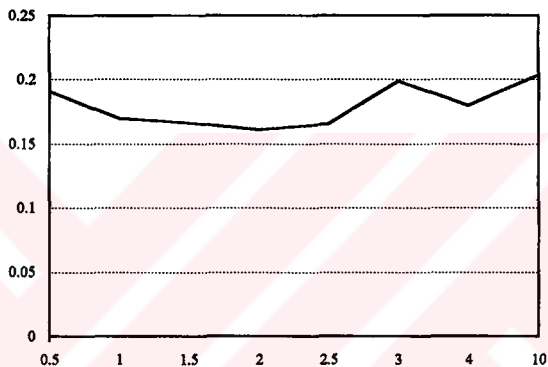
Örütüllerin tanımı ve miyoelektrik işaretin kontrol olarak sınıflandırılması konvansiyonel sınıflama teknikleri kullanılarak gerçekleştirilebilir. Bu çalışmada, biceps ve triceps kaslarından (tek kanallı) alınan miyoelektrik işaretlerden elde edilmiş AR parametreleri ile altı kol fonksiyonu arasında sınıflama yapabilmek için çok katmanlı perceptron (İdrak) ağ yapısı kullanıldı. Sınıflayıcı olarak kullanılan YSA uygulaması, kullanıcı (protez takılan) öğrenmesinin miktarını azaltma gereği öncelikle motive edilir. Basit ileri-beslemme (feed-forward) ağ iyi bir donanım uygulaması ile verilen yüksek tanma oranları için gerekli potansiyele sahiptir. Bu çalışmada ilk denemelerde birinci zaman serileri parametresi  $-a_1$  ve işaret güç seviyesi - p - özellik segmenti olarak kullanıldı.

Şekil 5.3'de gösterildiği gibi  $a_1$  ve p özellikleri çok katmanlı perceptron için giriş verileridir. Bu sınıflayıcı ağ yapısı, analog girişler içeren problemler için idealdir ve bugüne kadar bir çok benzer uygulamalarda kullanılmıştır. Deneylerde tek katmanlı ağ yapısı kullanıldığında sınıflamanın başarısız olduğu gözlemlendiğinden dolayı; miyoelektrik işaret özelliğine en uygun sınıflayıcı ağ yapısı olarak çok katmanlı ağ yapısı seçilmiştir. Ağ, öğrenme işleyiş boyunca girişler ve arzu edilen (hedef) çıkışlar bilinicek şekilde "Öğreticili" eğitme ile eğitilir. Öğrenme bilgisi, bütün giriş bilgileri arzu edilen çıkışları üretene kadar ağda var olur. Çok katmanlı perceptronların öğrenmesi, bağlantı ağırlıklarını ve işlem elemanı eşik değerlerini değiştirmek suretiyle olur. Bunun için "Hatanın geriye yayılması" (Back-propagation) algoritması kullanıldı. Algoritma adından da anlaşılacağı gibi, teknik bağlantı ağırlıklarını ayarlamak için çıkış hatasını ağın gerisine doğru yaymayı hedef alır. Burada çıkış hatası terimi, eğitme anında ağın o anki çıkış değeri ile istenen çıkış değeri arasındaki fark olarak bilinir. Çıkış düğümleri (üniteleri)'nın sigmoid transfer (eşik) fonksyonları yüzünden, ağ çıkışları ikili (binary) formda olmaya eğilimlidir. Bundan dolayı sınıflama, herbir çıkış bilgi setinin belli bir parçasını temsil edecek şekilde oluşturulur. Mesela, eğer bilek döndürme hareketi (1) komumunda ise diğer hareketler (0) komumunda olacaktır. Sınıflamanın anlamsız olması için her giriş hareketi için, bir ağ çıkışı aktif olmalıdır.



Şekil 5.3 İlk olarak eğitilen 2:6:6 mimarisindeki çok katmanlı ağ yapısı

Kullanılan ağ mimarisi 2:6:6 düzende olup, iki giriş ünitesine, altı gizli ünite ve altı çıkış ünitesine sahiptir. Giriş ünitesine her hareketin 12 segmenti ve onlara ait işaret güçü  $2x(6 \times 12)$  şeklinde uygulanmıştır. Eğitme çalışmasında, öğrenme oranının (kazanç) farklı değerlerini denedikten sonra en iyi yakınsamanın  $\epsilon = 2$  olduğu bulundu. Ayrıca gizli katmandaki ünite sayısının farklı değerleri için iterasyonlar yapılarak optimum sayı 6 olarak bulundu. Bulunan sonuç Gutierrez ve arkadaşlarının ortaya attıkları teoriye uygundur. Şekil 5.4'de ise öğrenme oranı  $\epsilon$ 'nın toplam hataya etkisi görülmektedir. Grafiğe dikkat edilirse en iyi sonuç; kazancın  $\epsilon = 2$  olduğu durumda gerçekleşmektedir.



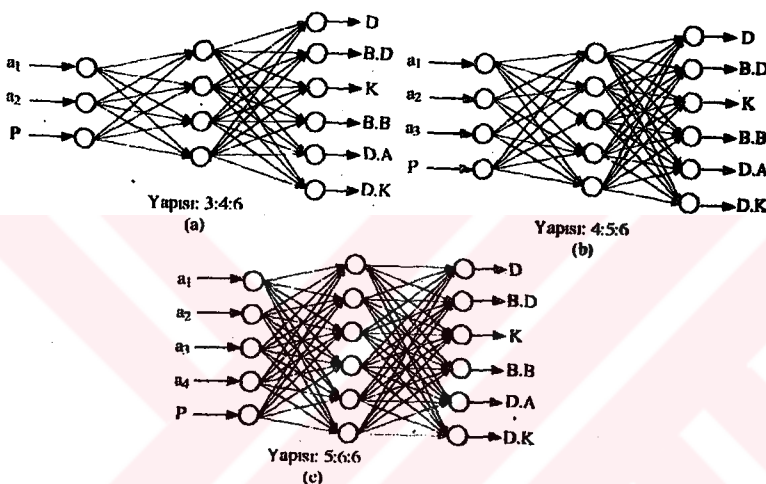
Şekil 5.4 3000 iterasyon için kazancın değişimi

Ağın çıkışı, sınıflandırılacak altı hareketi tanımlamaktadır. Çıkışda hedef (target) değerlerinin seti  $(12 \times 6) \times 6$  şeklindeki YSA yapısından dolayı 0.1 ve 0.9 düzeyleri 0 ve 1 binary düzeylerine karşılık gelmektedir. Yapılan iterasyonlar sonucu ilk tanınan hareketler "dinlenme" ve "dirsek kapama" hareketleri olmuştur. Iterasyonlar arttıkça tabiatıyla öğrenme (siniflama) daha iyi oldu. YSA'nın sınıflama sonucu çıkışlarının binary düzende olması, kontrol aşamasında ilgili hareketleri sağlayacak servomotorları kolaylıkla kontrol etmeye sağlar. Çok katmanlı perceptron'da "Genelleştirilmiş Delta Kuralı" öğrenme metodu kullanıldı. Yazılım tez yazarı tarafından gerçekleştirilmiş olup, yazı dili Turbo PASCAL'dır. Programın tamamı başka araştırmacıların istifadesine sunmak amacıyla ekte verilmiştir. YSA programı genel amaçlı olup EKG aritmî teşhisî gibi çeşitli uygulamalarda da kullanılabilir.

### 5.3 Simülasyon Sonuçları

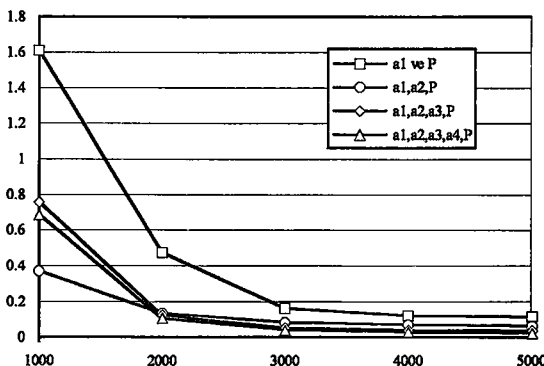
Şekil 5.3'deki girişte işaret gücü dışında sadece  $a_1$  paremetresi uygulanan ağ mimarisine göre, yapılan 3000 iterasyonlu eğitme sonucu % 84'lük bir tanıma sağlanmıştır. Bu durumda, öğrenme oranı  $\epsilon=2.0$  ve momentum katsayı  $\alpha=0.01$ 'dir.  $a_1$  dışında diğer AR katsayı paremetreleri  $a_2, a_3, a_4$  sırayla YSA girişine uygulandığında elde edilen çok katmanlı ağ mimarileri

Şekil 5.5'de gösterildiği gibidir. Şekle dikkat edilecek olunursa optimum sonuç veren "gizli katman" ümîte sayılarının her AR parametresini ilave ettikçe birer arttığı gözlenir. Şekil 5.5'deki üç aynı ağ mimariside ekte verilen programda simülle edilmiştir. Üç ağ mimarisi içinde momentum katsayısı ( $\alpha = 0.1$ ) ve öğrenme oranı ( $\epsilon = 4$ ) aynıdır. Hepside ekte verilen programa göre simülle edilmiştir.



Şekil 5.5 Diğer AR parametreleri ( $a_2$ ,  $a_3$ , ve  $a_4$ ) eklenince oluşan YSA mimarileri

Şekil 5.5 (a) daki yapıya göre giriş katmanına uygulanan  $a_1$ ,  $a_2$  ve  $P$  verilerinin matrisel yapısı  $(6 \times 12) \times 3$  biçimindedir. (b)'de  $a_1$ ,  $a_2$ ,  $a_3$  AR katsayıları ve bunlara ait işaret gücü ( $P$ ) den oluşan giriş verileri  $(6 \times 12) \times 4$  kadar, (c)'de ise  $a_1$ ,  $a_2$ ,  $a_3$ ,  $a_4$  ve bunlara ait toplam işaret gücü  $P$  için  $(6 \times 12) \times 5$  kadardır. Çıkış değerleri her üçü içinde aynı sayıda olup,  $(6 \times 12) \times 6$  şeklindedir. ( Altı farklı hareket sınıfı için) Bütün ağ mimarileri için değişik iterasyonlara göre elde edilen sınıflandırma hataları Şekil 5.6 deki grafikte karşılaştırılmıştır.



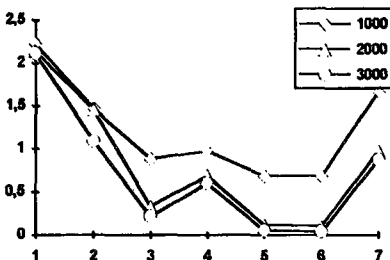
Şekil 5.6 Toplam hataların iterasyona göre değişimi

Yukarıdaki şekeilde anlaşılacığı gibi AR parametreleri dahil edildikce sınıflandırma hatasının azaldığı, başka bir deyişle hareketleri ayırmaya yönelik öğrenme doğruluğunu arttuğu bulundu. Oysa Kelly ve arkadaşları yaptıkları çalışmada, AR parametrelerinden sadece  $a_1$ 'in yeterli kalacağını diğerlerinin ise öğrenmede fazla etkisinin olmayacağı ileri sürümüştür. Ancak aşağıda Tablo 5.8'deki sonuçlardan anlaşılacığı gibi  $a_2$ ,  $a_3$ ,  $a_4$ ün öğrenmeye etkisi bariz bir şekilde belli olmaktadır.

Tablo 5.8

İterasyon Sayısı	a <sub>1</sub> ,p	a <sub>1</sub> ,a <sub>2</sub> ,p	a <sub>1</sub> ,a <sub>2</sub> ,a <sub>3</sub> ,p	a <sub>1</sub> ,a <sub>2</sub> ,a <sub>3</sub> ,a <sub>4</sub> ,p
1000	—	% 63.2	% 25.4	% 41.6
2000	% 52.8	% 86.5	% 87.6	% 89.4
3000	% 84	% 91.6	% 95	% 96.1
4000	% 87.8	% 93.1	% 93.8	% 97.2
5000	% 88.6	% 93.8	% 96.5	% 97.6

Tablo 5.8 de 1000, 2000, 3000, 4000 ve 5000 itersyon için sınıflanmadaki başarı yüzdesleri verilmiştir. Dördüncü paremetreden sonra tanıma yüzdesi fazla artmayacaktır. Zira yukarıdaki tabloya bakıldığından 3. paremetre ile 4. paremetrenin arasında tanıma yüzdesi farkı fazla değildir. (% 1'lük tanıma farkı olmaktadır.) Bu yüzden 4.paremetreden sonraki parametreleri ( $a_5$ ,  $a_6$ , ...) almaya gerek yoktur. Sınıflandırılan 6 hareket için tanıma yüzdesi en yüksek olan Şekil 5.4 (d)'deki YSA mimarisine göre (5:6:6 düzeminde,  $\epsilon = 4$  ve  $\alpha = 0.1$ ); değişik iterasyonlarda gizli katmandaki ünite sayısının sınıflandırma hatasına etkisi Şekil 5.6'da gösterilmiştir.



Şekil 5.6 Gizli katmandaki ünite sayısının etkisi

Grafiğe göre en küçük hata, gizli ünite sayısının 6 adet olduğu durumudur. Gizli ünite sayısını, giriş veya çıkış ünitesinin maksimum sayısından daha fazla olduğu anda (yani 6'dan büyük 7,8,...) hata büyümektedir. Şunda da unutmamak gereklidir ki; gizli ünite sayısı arttıkça eğitme süresinde azda olsa artmaktadır. İterasyonlar bir PC 486 SX'de yapılmıştır. 5000 iterasyon yaklaşık beş saat sürmüştür. Aynı iterasyon bir PC 486 DX (icinde matematik işlemci var) bilgisayarında sadece 11 dk. sürmüştür. İterasyon sayısı arttıkça öğrenme yüzdesi artmaktadır, diğer bir deyişle sınıflandırma hatası azalmaktadır. Aşağıda Tablo 5.8'de ise, tüm hareketlerin verilen 12 denek örüntüsünden ne kadarının tanındığı gösterilmektedir. 100 iterasyon için; Dınlennme (D) ve Dirsek Kapama (DK) örüntülerinin hepsi tanınmakta, Bilek Döndürme (BD) ile Kavrama (K) hareketleri tanınmamaktadır. Bilek Bükme (B) nin 4 tanesi, Dirsek Açımanın (DA) 5 tanesi ayırt edilebilmektedir. Buna karşın 2BB, 2DA ve 7DK örüntüleri yanlış tanınmaktadır. Dirsek açma hareketinin tamamı 500 iterasyonda, BB ve K hareketlerinin tamamı da 600 iterasyonda ayırt edilmektedir. Enson olarak Bilek döndürme hareketinin örüntülerini tanımakta olup, ancak 2000 iterasyonda gerçekleşmektedir. Bunun nedeni, BD ile K örüntü değerlerinin birbirine çok yakın olmasından kaynaklanmaktadır.

Şekil 5.2 de verilen 2:6:6 YSA mimarisi programında ( $\epsilon = 2$ ,  $\alpha = 0.01$ ), kayan noktalı aritmetyinde bir taşma olmuştur. (Diğerlerinde olmamıştır) Bu hata, momentum katsayısının çok küçük seçilmesinden dolayı eşik fonksiyonu olarak kullanılan sigmoid fonksiyonunda;  $y(x) = 1/(1 + \exp(-x))$   $x$ 'in değeri çok çok büyük sayı olmaktadır. Bu problemi gidermek için eşik fonksiyonuna sınırlama getirildi. Bu durumda ekte verilen YSA programında sigmoid fonksiyonunun tanımlanıldığı kısım şu şekilde olacaktır;

if  $x \geq 1000000000$

```

then y:= 1
else if x <= -1000000000
    then y:= 0
    else y:= 1 / 1 + exp(-x)
  
```

Tablo 5.8

İterasyon	D	BD	K	BB	DA	DK	Yanlış Tanıma
100	12	0	0	4	5	12	2BB,3DA,7DK
200	12	0	0	6	8	12	8BB,4DA,4DK
300	12	1	1	8	9	12	5K,2BD,4DA,3DK
400	12	1	6	9	11	12	10K,2BD,3DA,1DK
500	12	1	6	11	12	12	11K,1BB,1DA
600	12	1	11	12	12	12	11K
800	12	1	12	12	12	12	11K
1000	12	2	12	12	12	12	10K
1200	12	3	12	12	12	12	9K
1500	12	8	12	12	12	12	4K
1800	12	11	12	12	12	12	1K
2000	12	12	12	12	12	12	0

Yapılan bu ekle sadece problem giderilmemiş olup aynı zamanda N.B. Karayiannis ve arkadaşlarının söz ettikleri "hızlı öğrenme" (fast learning) avantajınınada sahip olunmaktadır (Karayiannis et al, 1992). Yalnız bu durumda çok azda olsa öğrenme hatası artabilir.

Bu çalışmada YSA giriş değerleri olan veriler, denekten alınan verilerin kendisi olup herhangi bir eksiltme olmamıştır. Sadece virgülinden sonra üç hane alınacak şekilde yuvarlatma yapılmıştır. Altı farklı hareketin AR parametrelerinden örtüsehen değerler atılmıştır. Şayet örtüseen değerler çıkarılırsa öğrenme yüzdesinin dahada artacağı aşikardır.

Ayrıca yapılan çalışmada ilk defa 6 hareket % 96.1 (3000 iterasyon için) gibi yüksek doğrulukta ayrı edilmiştir. 1. Bölümde de bahsedildiği gibi bundan önce en yüksek tamama oranı yine yaklaşık 3000 iterasyonda ama 4 hareket için tamama oranı % 92 olmuştu. Şimdilik simülasyon olarak gerçekleştirilen bu çalışma, tıp doktoru ve makina mühendisleriyle ortaklaşa pratik hale getirilebilir. Bilgisayarlarla ve diğer teknolojik gelişmelerle 6 temel hareket daha spesifik olarak incelenebilinir. Yani sadece dirsek kapama yerine, yavaş kapama, orta ve hızlı kapama gibi hareketlerde öğretilebilir. Son yıllarda popüler olan biorobotlar içinde kullanılabilir. Yani insan beyninden verilen komutla bir robotun kol hareketleri kontrol edilebilir.

**KAYNAKLAR**

- 1- Alderson, S., "The electric arm." in P.E. Klopsteg and P.D Vilson, Human Limbs and their Substitutes New York: Mc Graw-Hill, 1954, ch.13; reprinted by Hafner, 1969
- 2- Almstrom, Herberts, P. and Korner, L., "Experiences with swedish multifunction prosthetic hands controlled by pattern recognition of multiple myoelectric signals," Int. Orthopased vol. 5, pp.15-21 1981
- 3- Childress, "A myoelectric three state controller using rate sensivity," in Proc. 8th. ICMBE, Chicago, IL, pp.4-5, 1969
- 4- Culloch, S. M. and Pitts, W., "A logical calculus of the ideas immanent in nervous activity," Bulletin of Mathematical Biophysics, vol.5, pp. 115-133, 1943
- 5- Dorcas and Scott, R.N, "A three state myoelectric control," Med. Biol. Eng., vol. 4, pp. 367-372, 1966
- 6- Graupe, "Functional separation of EMG signals via ARMA identification methods for prosthesis control purposes," IEEE Trans. Syst. Man Cybern., vol. SMC-5, pp.252-259 Mar. 1975
- 7- Graupe, D., Salahi, J. and Kohn, K.H., "Multifonction prosthesis and orthosis control via microcomputer identification of temporal pattern differences in single-site myoelectric signals," J. Biomed. Eng., vol. 4, pp.17-22, 1982
- 8- Graupe, D., Salahi, J. and Zhang, D. "Stochastic analysis of myoelectric temporal signatures for multifonctional single-site activation of prostheses and orthoses," J. Biomed. Eng., vol. 7, no. 1, pp.18-29, 1985
- 9- Graupe, Magnus, J. and Beox, A., "Microprocessor system for multifonctional control of upperlimbs prostheses," IEEE Trans. Automat. Control., vol. AC-23, pp. 538-544, Aug. 1978
- 10- Grossberg, "Adaptive pattern classification and universal recoding:I. Parallel development and coding of neural feature dedectors," Biological Cybernetics vol. 23, pp. 121-134, 1976
- 11- Gutierrez, Wang, J. and Grandin, R.D., "Estimating hidden units for two layer perceptrons," Proceeding of the 1st. International Conference on Artificial Neural Networks," London, U.K, pp:120-124, October, 1989
- 12- Hebb, O., "The Organization of Behavior," Introduction and Chapter 4, pp. XI-XIX, and, 60-78, Wiley, New York, 1949
- 13- Hopfield, J., "Neural networks and physical systems with emergent collective computational abilities," Proceedings of the National Academy of Sciences, vol. 79, pp. 2554-2558, 1982
- 14- Hudgins, Parker, P., Scott, R.N, "A New Strategy for Multifonction Myoelectric Control," IEEE Trans. Biomed. Eng. vol. 40, no:1, January 1993
- 15- Jacobsen, Knutti, D.F., Johnson, R.T., Sears, H.H., "Development of the Utah Artificial Arm", IEEE Trans. Biomed. Eng. vol. BME-29, pp. 249, April 1982
- 16- Karaağaç, "EMG işaretlerine ait bazı parametrelerin PC yardımıyla bulunması," Yüksek Lisans Tezi İ.T.Ü sayfa:12-16 Şubat 1989
- 17- Karayiannis, B. ve Venetsanopoulos, A. N., "Fast Learning Algorithms for Neural Networks," IEEE Trans. an Circuits and Systems-II: Analog and Digital Signal Processing, vol. 39, no:7, July, 1992
- 18- Kelly, Parker, P. and Scott, R.N., "The application of neural networks to myoelectric, signal analysis: A preliminary study," IEEE Trans. Biomed. Eng., vol. BME-37, pp. 221-227, Mar.1990
- 19- Kohen, "Biomedical Signal Processing," CRC press vol:1, pp. 3-5, and 81-89, 1986

- 20- Kohonen, "Self-Organized formation of topologically correct feature maps," *Biological Cybernetics*, vol. 43, pp. 59-69, 1982
- 21- Kordrek, "Tıp Elektroniginde Kullanılan Kuvvetlendiriciler ve Dönüşürticiler," Ders Notları, İ.T.Ü 1991
- 22- Kuyucu "Elektromiyografik İşaretlerin Değerlendirilmesi," Yüksek Lisans tezi İ.T.Ü Fen Bil. Enst. Haziran 1989
- 23- Lippmann, "An Introduction to computing with Neural Nets," *IEEE ASSP Magazine*, pp. 4-22, April, 1987
- 24- Lyman and Freedy, A., "A pattern analysis and sequential decision methods for sensory feed back and control of upper limb prostheses," *Res. Prop. to the Nat. Sci. Found.*, 1976
- 25- Lyman, A. Freedy, and H. Zadaca, "Studies and development of heuristic end-point control for artificial upper limbs," *UCLA Biotechnol. Lab., Tech. Rep.* 54, Oct 1974
- 26- Minsky and S. Papert, "Perceptrons," Cambridge, MA: MIT Press, *Introduction*, pp. 1-20 and 73, 1969
- 27- Naylor, C. J., "Artificial Neural Networks Review," University of Nottingham version 1.1 (U.K) 12 December 1990
- 28- Nielsen, R. H., "Neurocomputing" Addison Wesley, pp. 28-30, 1989
- 29- Orfanidis, J., "Optimum Signal Processing," second edition, Mc Millan Pub. pp. 58-66, 1988
- 30- Pao, Y. H., "Adaptive Pattern Recognition and Neural Networks," Addison-Wesley pp:130, 1989
- 31- Parker and Scott R.N., "Myoelectric control of prosthesis," *CRC Crit. Rev. Biomed. Eng.*, vol. 13, issue 4 pp. 283-310, 1986
- 32- Pastaci: "Mühendisliğin Tıptaki Uygulamaları," Ders Notları, Y.T.Ü 1989
- 33- Richard, P., Gander, R., Parker, P. and Scott, R.N. "Multistate myoelectric control: The feasibility of 5-state control," *J. Rehab. R&D*, vol. 20, BPR 10-38, pp. 84-86, 1983
- 34- Rosenblatt, "The perceptron: a probabilistic model for information storage and organization in the brain," *Psychological Review* vol.65, pp. 386-408, 1958
- 35- Rumelhart, E., Hinton, G.E. and R.J. Williams, "Learning representations by back-propagating errors," *Nature* 323: 533-536, 1986
- 36- Rumelhart, E., Hinton, G.E. and Williams, R.J., "Learning internal representations by error propagation," *Parallel Distributed Processing Explorations in the Microstructures of Cognition*, vol. 1, D.E. Rumelhart and J.L. Mc Cllland (Eds.) Cambridge, MA: MIT Press, pp:318-362, 1986
- 37- Saridis and Stephanou, H.E., "A hierarchical approach to the control of a prosthetic arm," *IEEE Trans. Syst. Man Cybern.*, vol. SMC-7, pp. 407-420, June 1977
- 38- Saridis, G. N. and Gotee, T., "EMG Pattern Analysis and Classification for a Prosthetic Arm," *IEEE Trans. Biomed. Eng.* vol. BME-29 no:6 pp.403-412, June 1982
- 39- Schmeild, "The I.N.A.I.L. experience fitting upper-limb dysmelia patients with myoelectric control," *Bull. Prosth. Res.*, vol. BPR 10-27, pp. 17-42, Spring 1977
- 40- Schneid, "The INAIL-CECA Prostheses," *Orthotics Prosth.*, vol. 27, no. 1 pp. 6-12, 1973
- 41- Scott and Parker, P.A., "Myoelectric prosthesis: State of the art," *J. Med. Eng. Technol.*, vol. 12, pp. 143-151, 1988
- 42- Scott, Parker, P.A., Dunfield, V.A., "Myoelectric Control," *IEE Medical Electronics Monographs*. Ed. D. W. Hill, B.W. Watson, Peter Peregrinus Ltd., Exeter 1977

- 43- Vodovnik, J., Kreifeldt, R., Caldwell, L. Green, E. Silgalis and P.Craig, "Some topics an myoelectric control of orthotic/prosthetic systems," Rep. EDC 4-67-17, Case Western Reserve University, Cleveland, OH, 1967
- 44- Widrow and Lehr, M. A., "Perceptron, Madaline, and Back propagation," Proceedings of the IEEE vol.78, no:9, pp. 1417-1439, September, 1990
- 45- Widrow, B. and Hoff, M. E., "Adaptive switching circuits," IRE WESCON Convention Record, New York: IRE pp. 96-104, 1960
- 46- Williams, T.W., "Practical methods for controlling powered upper-extremity prostheses," Assistive Technol., vol. 2, no.1, pp. 3-18, 1990
- 47- Wirta, Taylor, D.R., Finley, F.R., "Pattern-recognition arm prosthesis: a historical perspective- a final report," Bulletin of Prosthetics Research, Fall 1978

```

PROGRAM EMG_Net;
{SN+,E+}
CONST
Layers_Max = 3; { Maximum katman sayısı }
Nodes_Max = 6; { Herbir katmandaki maximum düğüm sayısı }
Outputs_Max = 72; { Giriş bileşenlerinin sayısı }
Input_Nodes = 5; { Giriş katmanı düğümleri sayısı }
Output_Nodes = 6; { Çıkış katmanı düğümleri sayısı }
Hidden_Nodes = 6; { Gizli katman düğümleri sayısı }
Epsilon = 4;
Alpha = 0.1;
Iterative_Max = 3000; { Maximum iterasyon sayısı }
Every = 1000; { Her iterasyondan sonraki çıkış sonuçları }

LABEL 10,20,30;

VAR
i, ii, j, count,dcount,tt, isylla, num : integer;
eps, alp, err, error, terr, terror, total_rate: double;
Layers, Inputs, Outputs : integer;
Node : array [0..Layers_Max-1] of integer;
matrix : array [0..Outputs_Max-1, 0..(Input_Nodes+Output_Nodes-1)] of double; matrix_tmp: array
[0..trunc(Iterative_Max/Every), 0..Outputs_Max-1,
 0..(Input_Nodes+Output_Nodes-1)] of double;

des : double;
rate : array [0..Outputs_Max-1] of double;
out : array [0..Layers_Max-1, 0..Nodes_Max-1] of double;
der : array [0..Layers_Max-1, 0..Nodes_Max-1] of double;
theta : array [0..Layers_Max-1, 0..Nodes_Max-1] of double; dtheta : array
[0..Layers_Max-1, 0..Nodes_Max-1] of double;
weight : array [0..Layers_Max-1, 0..Nodes_Max-1, 0..Nodes_Max-1] of double; dweight :
array[0..Layers_Max-1, 0..Nodes_Max-1, 0..Nodes_Max-1] of double; dess: array [0..Outputs_Max-
1,0..Output_Nodes-1] of double;

st1: string[6];
st2, st3, st4: string[9];
outfile : text;
weightfile : file of double;

procedure Wrand;
{ Düğüm offsetlerini başlatır & Programın başlangıcındaki ağırlıklar }
var
li, ni, ni_end, no, no_end : integer;
drand48, power: double;
begin
power:=1.0;
for li:=1 to 31 do
  power:=power*2;
power:=power-1;
{ Rastgele offsetler }
for li:=1 to Layers_Max-1 do
begin
  ni_end:=node[li];

```

```

for ni:=0 to ni_end-1 do
begin
  drand48:=Random(30)/100;
  theta[i,n]:= drand48;
  dtheta[i,n]:=0;
end;
end;

{ Rastgele ağırlıklar }
for li:=1 to Layers_Max-1 do
begin
  ni_end:=node[li];
  no_end:=node[li-1];
  for ni:=0 to ni_end-1 do
    for no:=0 to no_end-1 do
      begin
        drand48:=Random(100)/100;
        weight[li,ni,no]:=drand48;
        dweight[li,ni,no]:=0;
      end;
    end;
  end;
end; { procedure WRAND }

procedure Initial;
{ Her iterasyondan önce herbir çıkış düğümünü sıfırla }
VAR
l, n, n_end: integer;
begin
  for l:= 0 to Layers-1 do
  begin
    n_end:= node[l];
    for n:= 0 to n_end-1 do
      out[l,n]:= 0;
  end;
end; { procedure INITIAL }

procedure yread ( isylla: integer );
{ Giriş örneklerini oku ( 72 farklı giriş bileşeni için ) }
begin
  case isylla of
    0: begin out[0,0]:=-0.968; out[0,1]:=-0.154; out[0,2]:=-0.134; out[0,3]:=0.074; out[0,4]:=0.4821 end;
    1: begin out[0,0]:=-1.049; out[0,1]:=0.0024; out[0,2]:=-0.041; out[0,3]:=0.128; out[0,4]:=0.4821 end;
    2: begin out[0,0]:=-0.924; out[0,1]:=-0.147; out[0,2]:=-0.269; out[0,3]:=-0.077; out[0,4]:=0.4821 end;
    3: begin out[0,0]:=-0.945; out[0,1]:=-0.133; out[0,2]:=0.024; out[0,3]:=-0.133; out[0,4]:=0.4821 end;
    4: begin out[0,0]:=-0.869; out[0,1]:=-0.164; out[0,2]:=0.053; out[0,3]:=0.086; out[0,4]:=0.4821 end;
    5: begin out[0,0]:=-0.997; out[0,1]:=-0.215; out[0,2]:=0.342; out[0,3]:=-0.007; out[0,4]:=0.4821 end;
    6: begin out[0,0]:=-0.863; out[0,1]:=-0.213; out[0,2]:=-0.127; out[0,3]:=0.088; out[0,4]:=0.4821 end;
    7: begin out[0,0]:=-0.754; out[0,1]:=-0.279; out[0,2]:=-0.148; out[0,3]:=0.118; out[0,4]:=0.4821 end;
    8: begin out[0,0]:=-0.931; out[0,1]:=-0.224; out[0,2]:=-0.303; out[0,3]:=-0.078; out[0,4]:=0.4821 end;
    9: begin out[0,0]:=-1.001; out[0,1]:=-0.095; out[0,2]:=-0.074; out[0,3]:=0.146; out[0,4]:=0.4821 end;
   10: begin out[0,0]:=-0.882; out[0,1]:=-0.002; out[0,2]:=-0.013; out[0,3]:=0.150; out[0,4]:=0.4821 end;
   11: begin out[0,0]:=-0.907; out[0,1]:=-0.184; out[0,2]:=0.106; out[0,3]:=0.071; out[0,4]:=0.4821 end;
   12: begin out[0,0]:=-1.678; out[0,1]:=0.265; out[0,2]:=0.611; out[0,3]:=-0.194; out[0,4]:=0.8901 end;
  end;
end;

```

```

13: begin out[0,0]:=-1.666; out[0,1]:=0.291; out[0,2]:=-0.573; out[0,3]:=-0.188; out[0,4]:=0.8901 end;
14: begin out[0,0]:=-1.746; out[0,1]:=0.365; out[0,2]:=-0.653; out[0,3]:=-0.265; out[0,4]:=0.8901 end;
15: begin out[0,0]:=-1.303; out[0,1]:=-0.114; out[0,2]:=0.329; out[0,3]:=-0.103; out[0,4]:=0.8901 end;
16: begin out[0,0]:=-1.676; out[0,1]:=0.387; out[0,2]:=-0.390; out[0,3]:=-0.093; out[0,4]:=0.8901 end;
17: begin out[0,0]:=-1.625; out[0,1]:=0.235; out[0,2]:=-0.614; out[0,3]:=-0.216; out[0,4]:=0.8901 end;
18: begin out[0,0]:=-1.516; out[0,1]:=0.185; out[0,2]:=0.314; out[0,3]:=0.0246; out[0,4]:=0.8901 end;
19: begin out[0,0]:=-1.762; out[0,1]:=0.347; out[0,2]:=-0.695; out[0,3]:=-0.271; out[0,4]:=0.8901 end;
20: begin out[0,0]:=-1.800; out[0,1]:=0.498; out[0,2]:=0.492; out[0,3]:=-0.186; out[0,4]:=0.8901 end;
21: begin out[0,0]:=-1.631; out[0,1]:=0.231; out[0,2]:=0.542; out[0,3]:=-0.133; out[0,4]:=0.8901 end;
22: begin out[0,0]:=-1.657; out[0,1]:=0.250; out[0,2]:=0.624; out[0,3]:=-0.201; out[0,4]:=0.8901 end;
23: begin out[0,0]:=-1.724; out[0,1]:=-0.331; out[0,2]:=0.622; out[0,3]:=-0.221; out[0,4]:=0.8901 end;
24: begin out[0,0]:=-1.763; out[0,1]:=0.335; out[0,2]:=0.779; out[0,3]:=-0.338; out[0,4]:=0.9488 end;
25: begin out[0,0]:=-1.714; out[0,1]:=0.384; out[0,2]:=0.534; out[0,3]:=-0.191; out[0,4]:=0.9488 end;
26: begin out[0,0]:=-1.784; out[0,1]:=0.453; out[0,2]:=0.594; out[0,3]:=-0.255; out[0,4]:=0.9488 end;
27: begin out[0,0]:=-1.697; out[0,1]:=0.423; out[0,2]:=0.359; out[0,3]:=-0.075; out[0,4]:=0.9488 end;
28: begin out[0,0]:=-1.792; out[0,1]:=0.451; out[0,2]:=0.638; out[0,3]:=-0.288; out[0,4]:=0.9488 end;
29: begin out[0,0]:=-1.889; out[0,1]:=0.592; out[0,2]:=0.595; out[0,3]:=-0.291; out[0,4]:=0.9488 end;
30: begin out[0,0]:=-1.914; out[0,1]:=0.634; out[0,2]:=0.580; out[0,3]:=-0.294; out[0,4]:=0.9488 end;
31: begin out[0,0]:=-1.621; out[0,1]:=0.294; out[0,2]:=0.437; out[0,3]:=-0.101; out[0,4]:=0.9488 end;
32: begin out[0,0]:=-1.748; out[0,1]:=0.472; out[0,2]:=0.484; out[0,3]:=-0.191; out[0,4]:=0.9488 end;
33: begin out[0,0]:=-1.741; out[0,1]:=0.377; out[0,2]:=0.584; out[0,3]:=-0.209; out[0,4]:=0.9488 end;
34: begin out[0,0]:=-1.600; out[0,1]:=0.138; out[0,2]:=0.647; out[0,3]:=-0.183; out[0,4]:=0.9488 end;
35: begin out[0,0]:=-1.646; out[0,1]:=0.281; out[0,2]:=0.503; out[0,3]:=-0.130; out[0,4]:=0.9488 end;
36: begin out[0,0]:=-1.718; out[0,1]:=0.179; out[0,2]:=0.864; out[0,3]:=-0.322; out[0,4]:=1.1469 end;
37: begin out[0,0]:=-2.155; out[0,1]:=1.072; out[0,2]:=0.416; out[0,3]:=-0.328; out[0,4]:=1.1469 end;
38: begin out[0,0]:=-2.109; out[0,2]:=0.950; out[0,2]:=0.525; out[0,3]:=-0.362; out[0,4]:=1.1469 end;
39: begin out[0,0]:=-1.988; out[0,1]:=0.715; out[0,2]:=0.635; out[0,3]:=-0.357; out[0,4]:=1.1469 end;
40: begin out[0,0]:=-2.030; out[0,1]:=0.874; out[0,2]:=0.394; out[0,3]:=-0.234; out[0,4]:=1.1469 end;
41: begin out[0,0]:=-2.036; out[0,1]:=0.727; out[0,2]:=0.751; out[0,3]:=-0.438; out[0,4]:=1.1469 end;
42: begin out[0,0]:=-2.116; out[0,1]:=0.999; out[0,2]:=0.443; out[0,3]:=-0.322; out[0,4]:=1.1469 end;
43: begin out[0,0]:=-2.015; out[0,1]:=0.829; out[0,2]:=0.513; out[0,3]:=-0.320; out[0,4]:=1.1469 end;
44: begin out[0,0]:=-1.938; out[0,1]:=0.672; out[0,2]:=0.605; out[0,3]:=-0.330; out[0,4]:=1.1469 end;
45: begin out[0,0]:=-2.195; out[0,1]:=1.146; out[0,2]:=0.378; out[0,3]:=-0.327; out[0,4]:=1.1469 end;
46: begin out[0,0]:=-2.014; out[0,1]:=0.713; out[0,2]:=0.702; out[0,3]:=-0.397; out[0,4]:=1.1469 end;
47: begin out[0,0]:=-1.962; out[0,1]:=-0.679; out[0,2]:=0.610; out[0,3]:=-0.323; out[0,4]:=1.1469 end;
48: begin out[0,0]:=-2.291; out[0,1]:=1.416; out[0,2]:=0.156; out[0,3]:=-0.276; out[0,4]:=1.3278 end;
49: begin out[0,0]:=-2.223; out[0,1]:=-1.192; out[0,2]:=-0.378; out[0,3]:=-0.344; out[0,4]:=1.3278 end;
50: begin out[0,0]:=-2.280; out[0,1]:=2.128; out[0,2]:=0.480; out[0,3]:=-0.085; out[0,4]:=1.3278 end;
51: begin out[0,0]:=-2.185; out[0,1]:=-1.186; out[0,2]:=0.355; out[0,3]:=-0.304; out[0,4]:=1.3278 end;
52: begin out[0,0]:=-2.133; out[0,1]:=1.016; out[0,2]:=0.488; out[0,3]:=-0.368; out[0,4]:=1.3278 end;
53: begin out[0,0]:=-2.320; out[0,1]:=-1.398; out[0,2]:=0.249; out[0,3]:=-0.324; out[0,4]:=1.3278 end;
54: begin out[0,0]:=-2.273; out[0,1]:=-1.309; out[0,2]:=0.308; out[0,3]:=-0.341; out[0,4]:=1.3278 end;
55: begin out[0,0]:=-2.154; out[0,1]:=1.094; out[0,2]:=0.389; out[0,3]:=-0.324; out[0,4]:=1.3278 end;
56: begin out[0,0]:=-2.218; out[0,1]:=-1.189; out[0,2]:=0.409; out[0,3]:=-0.376; out[0,4]:=1.3278 end;
57: begin out[0,0]:=-2.350; out[0,1]:=1.514; out[0,2]:=-0.134; out[0,3]:=-0.284; out[0,4]:=1.3278 end;
58: begin out[0,0]:=-2.310; out[0,1]:=1.412; out[0,2]:=-0.205; out[0,3]:=-0.304; out[0,4]:=1.3278 end;
59: begin out[0,0]:=-2.100; out[0,1]:=-0.914; out[0,2]:=0.513; out[0,3]:=-0.337; out[0,4]:=1.3278 end;
60: begin out[0,0]:=-2.354; out[0,1]:=1.485; out[0,2]:=0.145; out[0,3]:=-0.274; out[0,4]:=1.5206 end;
61: begin out[0,0]:=-2.472; out[0,1]:=1.838; out[0,2]:=-0.205; out[0,3]:=-0.157; out[0,4]:=1.5206 end;
62: begin out[0,0]:=-2.457; out[0,1]:=1.753; out[0,2]:=-0.086; out[0,3]:=-0.207; out[0,4]:=1.5206 end;
63: begin out[0,0]:=-2.392; out[0,1]:=1.640; out[0,2]:=0.010; out[0,3]:=-0.245; out[0,4]:=1.5206 end;
64: begin out[0,0]:=-2.373; out[0,1]:=1.566; out[0,2]:=-0.036; out[0,3]:=-0.227; out[0,4]:=1.5206 end;
65: begin out[0,0]:=-2.237; out[0,1]:=1.280; out[0,2]:=0.270; out[0,3]:=-0.313; out[0,4]:=1.5206 end;
66: begin out[0,0]:=-2.454; out[0,1]:=1.794; out[0,2]:=-0.124; out[0,3]:=-0.213; out[0,4]:=1.5206 end;
67: begin out[0,0]:=-2.632; out[0,1]:=2.290; out[0,2]:=-0.612; out[0,3]:=-0.046; out[0,4]:=1.5206 end;

```

```

68: begin out[0,0]:=-2.510; out[0,1]:=1.904; out[0,2]:=-0.200; out[0,3]:=-0.191; out[0,4]:=1.5206 end;
69: begin out[0,0]:=-2.360; out[0,1]:=1.545; out[0,2]:=0.075; out[0,3]:=-0.256; out[0,4]:=1.5206 end;
70: begin out[0,0]:=-2.590; out[0,1]:=2.140; out[0,2]:=-0.439; out[0,3]:=-0.110; out[0,4]:=1.5206 end;
71: begin out[0,0]:=-2.475; out[0,1]:=1.853; out[0,2]:=-0.213; out[0,3]:=-0.162; out[0,4]:=1.5206 end;
end;
end; { procedure YREAD }

function sigmoid (x:double):double;
{sigmoid fonksiyonu}
var
y:double;
begin
y:=1/(1+exp(-x));
sigmoid:=y;
end; { function SIGMOID }

procedure wforward;
{ wforward propagation & ileri yayilim }
var
li, ni, ni_end, no, no_end: integer;
x, th: double;
begin
for li:=1 to Layers-1 do
begin
ni_end:= node[li];
no_end:= node[li-1];
for ni:= 0 to ni_end-1 do
begin
x:= 0;
for no:= 0 to no_end-1 do
x:= x + weight[li,ni,no] * out[li-1,no];
out[li,ni]:= sigmoid( x-theta[li,ni] );
end;
end;
end; { procedure FORWARD }

function back: double;
{ back propagation & geriye yayilim }
var
li, ni, ni_end, no, no_end: integer; e, err, x,
d, w, y: double;
begin
err:=0;
for ni:=0 to outputs-1 do
begin
y:= out[2,ni];
des:= dess[isylla,ni];
e:= des - y;
der[2,ni]:= e*y*(1-y);
err:=err+ e*e;
end;
for li:=2 downto 1 do

```

```

begin
  no_end:= node[li-1];
  ni_end:= node[li];
  for no:= 0 to no_end-1 do
    begin
      x:= 0;
      y:= out[li-1,no];
      for ni:= 0 to ni_end-1 do
        begin
          d:= der[li,ni];
          w:= weight[li,ni,no];
          x:= x + d*w;
        end;
        der[li-1,no]:= y*(1-y)*x;
      end;
    end;
    back:= 0.5*err;
  end; { function BACK }

procedure learning (alp, eps: double );
{ update offsets & weights }
var
li, lo, ni, ni_end, no, no_end: integer;
di, yo, ew, et: double;
begin
  for li:= 1 to layers-1 do
    begin
      ni_end:= node[li];
      for ni:= 0 to ni_end-1 do
        begin
          et:= der[li,ni];
          dtheta[li,ni]:= -eps*et + alp*dtheta[li,ni];
          theta[li,ni]:= theta[li,ni] + dtheta[li,ni];
        end;
      end;
    for li:= 1 to layers-1 do
      begin
        lo:= li-1;
        ni_end:= node[li];
        no_end:= node[lo];
        for ni:= 0 to ni_end-1 do
          begin
            di:= der[li,ni];
            for no:= 0 to no_end-1 do
              begin
                yo:= out[lo,no];
                ew:= di*yo;
                dweight[li,ni,no]:= eps*ew + alp*dweight[li,ni,no]; weight[li,ni,no]:= eight[li,ni,no] +
                  dweight[li,ni,no];
              end;
            end;
          end;
        end; { procedure LEARNING }
  end;

```

```

procedure make_matrix( it, isylla: integer );
var
i,j: integer;
begin
  for i:= 0 to inputs-1 do
    matrix_tmp[it,isylla,i]:= out[0,i];
  for i:= 0 to outputs-1 do matrix_tmp[it,isylla,inputs+i]:= out[Layers_Max-1,i];
end; { procedure MAKE_MATRIX }

procedure write_weights;
var
lc,nc,nc_end,ic,ic_end: integer;
begin
  rewrite(weightfile);
  for lc:=1 to layers-1 do
    begin
      nc_end:=node[lc];
      ic_end:=node[lc-1];
      for nc:=0 to nc_end-1 do
        begin
          write(weightfile,weight[lc,nc,ic]);
          write(weightfile,theta[lc,nc]);
        end;
    end;
  end;
end;

procedure read_weights;
var
lc,nc,nc_end,ic,ic_end: integer;
begin
  reset(weightfile);
  for lc:=1 to layers-1 do
    begin
      nc_end:=node[lc];
      ic_end:=node[lc-1];
      for nc:=0 to nc_end-1 do
        begin
          read(weightfile,weight[lc,nc,ic]);
          read(weightfile,theta[lc,nc]);
        end;
    end;
  end;
end;

begin { main }
{ ilk veri grubunu yaz }

  for i:= 0 to 0 do writeln ('BEKİR KARLIK');
  node[2]:= Output_Nodes;
  Outputs:= Output_Nodes;
  node[1]:= Hidden_Nodes;
  node[0]:= Input_Nodes;
  Inputs:= Input_Nodes;
  Layers:= Layers_Max;
  eps:= Epsilon;

```

alp:= Alpha;  
num:= Outputs Max; { burada 72 }

{ ikinci veri grubunu yaz }

{ \*\*\*\* HEDEF DEĞER VERİLERİ OKU \*\*\*\* }

```

dесс[0,0]:=0.9;dесс[0,1]:=-0.1;dесс[0,2]:=0.1;dесс[0,3]:=0.1;dесс[0,4]:=0.1;dесс[0,5]:=0.1;
десс[1,0]:=-0.9;dесс[1,1]:=-0.1;dесс[1,2]:=0.1;dесс[1,3]:=-0.1;dесс[1,4]:=0.1;dесс[1,5]:=0.1;
десс[2,0]:=-0.9;dесс[2,1]:=0.1;dесс[2,2]:=-0.1;dесс[2,3]:=0.1;dесс[2,4]:=-0.1;dесс[2,5]:=0.1;
десс[3,0]:=-0.9;dесс[3,1]:=0.1;dесс[3,2]:=-0.1;dесс[3,3]:=0.1;dесс[3,4]:=0.1;dесс[3,5]:=0.1;
десс[4,0]:=-0.9;dесс[4,1]:=0.1;dесс[4,2]:=0.1;dесс[4,3]:=0.1;dесс[4,4]:=0.1;dесс[4,5]:=0.1;
десс[5,0]:=-0.9;dесс[5,1]:=0.1;dесс[5,2]:=0.1;dесс[5,3]:=0.1;dесс[5,4]:=0.1;dесс[5,5]:=0.1;
десс[6,0]:=-0.9;dесс[6,1]:=0.1;dесс[6,2]:=0.1;dесс[6,3]:=0.1;dесс[6,4]:=0.1;dесс[6,5]:=0.1;
десс[7,0]:=-0.9;dесс[7,1]:=0.1;dесс[7,2]:=-0.1;dесс[7,3]:=0.1;dесс[7,4]:=0.1;dесс[7,5]:=0.1;
десс[8,0]:=-0.9;dесс[8,1]:=0.1;dесс[8,2]:=0.1;dесс[8,3]:=0.1;dесс[8,4]:=0.1;dесс[8,5]:=0.1;
десс[9,0]:=-0.9;dесс[9,1]:=0.1;dесс[9,2]:=0.1;dесс[9,3]:=0.1;dесс[9,4]:=0.1;dесс[9,5]:=0.1;
десс[10,0]:=-0.9;dесс[10,1]:=-0.1;dесс[10,2]:=0.1;dесс[10,3]:=0.1;dесс[10,4]:=-0.1;dесс[10,5]:=0.1;
десс[11,0]:=-0.9;dесс[11,1]:=-0.1;dесс[11,2]:=0.1;dесс[11,3]:=0.1;dесс[11,4]:=-0.1;dесс[11,5]:=0.1;
десс[12,0]:=-0.1;dесс[12,1]:=-0.9;dесс[12,2]:=0.1;dесс[12,3]:=-0.1;dесс[12,4]:=0.1;dесс[12,5]:=0.1;
десс[13,0]:=0.1;dесс[13,1]:=-0.9;dесс[13,2]:=0.1;dесс[13,3]:=0.1;dесс[13,4]:=-0.1;dесс[13,5]:=0.1;
десс[14,0]:=0.1;dесс[14,1]:=-0.9;dесс[14,2]:=0.1;dесс[14,3]:=0.1;dесс[14,4]:=-0.1;dесс[14,5]:=0.1;
десс[15,0]:=0.1;dесс[15,1]:=-0.9;dесс[15,2]:=0.1;dесс[15,3]:=0.1;dесс[15,4]:=-0.1;dесс[15,5]:=0.1;
десс[16,0]:=-0.1;dесс[16,1]:=-0.9;dесс[16,2]:=0.1;dесс[16,3]:=0.1;dесс[16,4]:=-0.1;dесс[16,5]:=0.1;
десс[17,0]:=-0.1;dесс[17,1]:=-0.9;dесс[17,2]:=0.1;dесс[17,3]:=0.1;dесс[17,4]:=-0.1;dесс[17,5]:=0.1;
десс[18,0]:=-0.1;dесс[18,1]:=-0.9;dесс[18,2]:=0.1;dесс[18,3]:=0.1;dесс[18,4]:=-0.1;dесс[18,5]:=0.1;
десс[19,0]:=-0.1;dесс[19,1]:=-0.9;dесс[19,2]:=0.1;dесс[19,3]:=0.1;dесс[19,4]:=-0.1;dесс[19,5]:=0.1;
десс[20,0]:=0.1;dесс[20,1]:=-0.9;dесс[20,2]:=0.1;dесс[20,3]:=0.1;dесс[20,4]:=-0.1;dесс[20,5]:=0.1;
десс[21,0]:=-0.1;dесс[21,1]:=-0.9;dесс[21,2]:=0.1;dесс[21,3]:=0.1;dесс[21,4]:=-0.1;dесс[21,5]:=0.1;
десс[22,0]:=-0.1;dесс[22,1]:=-0.9;dесс[22,2]:=0.1;dесс[22,3]:=0.1;dесс[22,4]:=-0.1;dесс[22,5]:=0.1;
десс[23,0]:=-0.1;dесс[23,1]:=-0.9;dесс[23,2]:=0.1;dесс[23,3]:=0.1;dесс[23,4]:=-0.1;dесс[23,5]:=0.1;
десс[24,0]:=-0.1;dесс[24,1]:=0.1;dесс[24,2]:=-0.9;dесс[24,3]:=0.1;dесс[24,4]:=-0.1;dесс[24,5]:=0.1;
десс[25,0]:=0.1;dесс[25,1]:=0.1;dесс[25,2]:=-0.9;dесс[25,3]:=0.1;dесс[25,4]:=-0.1;dесс[25,5]:=0.1;
десс[26,0]:=0.1;dесс[26,1]:=0.1;dесс[26,2]:=-0.9;dесс[26,3]:=0.1;dесс[26,4]:=-0.1;dесс[26,5]:=0.1;
десс[27,0]:=0.1;dесс[27,1]:=0.1;dесс[27,2]:=-0.9;dесс[27,3]:=0.1;dесс[27,4]:=-0.1;dесс[27,5]:=0.1;
десс[28,0]:=0.1;dесс[28,1]:=-0.1;dесс[28,2]:=-0.9;dесс[28,3]:=0.1;dесс[28,4]:=-0.1;dесс[28,5]:=0.1;
десс[29,0]:=0.1;dесс[29,1]:=0.1;dесс[29,2]:=-0.9;dесс[29,3]:=0.1;dесс[29,4]:=-0.1;dесс[29,5]:=0.1;
десс[30,0]:=0.1;dесс[30,1]:=0.1;dесс[30,2]:=-0.9;dесс[30,3]:=0.1;dесс[30,4]:=-0.1;dесс[30,5]:=0.1;
десс[31,0]:=0.1;dесс[31,1]:=0.1;dесс[31,2]:=-0.9;dесс[31,3]:=0.1;dесс[31,4]:=0.1;dесс[31,5]:=0.1;
десс[32,0]:=0.1;dесс[32,1]:=0.1;dесс[32,2]:=-0.9;dесс[32,3]:=0.1;dесс[32,4]:=-0.1;dесс[32,5]:=0.1;
десс[33,0]:=0.1;dесс[33,1]:=0.1;dесс[33,2]:=-0.9;dесс[33,3]:=0.1;dесс[33,4]:=0.1;dесс[33,5]:=0.1;
десс[34,0]:=0.1;dесс[34,1]:=0.1;dесс[34,2]:=-0.9;dесс[34,3]:=0.1;dесс[34,4]:=0.1;dесс[34,5]:=0.1;
десс[35,0]:=0.1;dесс[35,1]:=0.1;dесс[35,2]:=-0.9;dесс[35,3]:=0.1;dесс[35,4]:=0.1;dесс[35,5]:=0.1;
десс[36,0]:=0.1;dесс[36,1]:=0.1;dесс[36,2]:=-0.1;dесс[36,3]:=0.9;dесс[36,4]:=0.1;dесс[36,5]:=0.1;
десс[37,0]:=0.1;dесс[37,1]:=-0.1;dесс[37,2]:=0.1;dесс[37,3]:=-0.9;dесс[37,4]:=0.1;dесс[37,5]:=0.1;
десс[38,0]:=0.1;dесс[38,1]:=-0.1;dесс[38,2]:=0.1;dесс[38,3]:=0.9;dесс[38,4]:=0.1;dесс[38,5]:=0.1;
десс[39,0]:=0.1;dесс[39,1]:=-0.1;dесс[39,2]:=0.1;dесс[39,3]:=-0.9;dесс[39,4]:=0.1;dесс[39,5]:=0.1;
десс[40,0]:=0.1;dесс[40,1]:=0.1;dесс[40,2]:=-0.1;dесс[40,3]:=0.9;dесс[40,4]:=0.1;dесс[40,5]:=0.1;
десс[41,0]:=0.1;dесс[41,1]:=-0.1;dесс[41,2]:=0.1;dесс[41,3]:=0.9;dесс[41,4]:=0.1;dесс[41,5]:=0.1;
десс[42,0]:=0.1;dесс[42,1]:=0.1;dесс[42,2]:=-0.1;dесс[42,3]:=0.9;dесс[42,4]:=0.1;dесс[42,5]:=0.1;
десс[43,0]:=0.1;dесс[43,1]:=0.1;dесс[43,2]:=-0.1;dесс[43,3]:=0.9;dесс[43,4]:=0.1;dесс[43,5]:=0.1;
десс[44,0]:=0.1;dесс[44,1]:=-0.1;dесс[44,2]:=0.1;dесс[44,3]:=0.9;dесс[44,4]:=-0.1;dесс[44,5]:=0.1;
десс[45,0]:=0.1;dесс[45,1]:=0.1;dесс[45,2]:=-0.1;dесс[45,3]:=0.9;dесс[45,4]:=0.1;dесс[45,5]:=0.1;

```

```

dess[46,0]:=0.1;dess[46,1]:=0.1;dess[46,2]:=0.1;dess[46,3]:=0.9;dess[46,4]:=0.1;dess[46,5]:=0.1;
dess[47,0]:=0.1;dess[47,1]:=0.1;dess[47,2]:=0.1;dess[47,3]:=0.9;dess[47,4]:=0.1;dess[47,5]:=0.1;
dess[48,0]:=0.1;dess[48,1]:=0.1;dess[48,2]:=0.1;dess[48,3]:=0.1;dess[48,4]:=0.9;dess[48,5]:=0.1;
dess[49,0]:=0.1;dess[49,1]:=0.1;dess[49,2]:=0.1;dess[49,3]:=0.1;dess[49,4]:=0.9;dess[49,5]:=0.1;
dess[50,0]:=0.1;dess[50,1]:=0.1;dess[50,2]:=0.1;dess[50,3]:=0.1;dess[50,4]:=0.9;dess[50,5]:=0.1;
dess[51,0]:=0.1;dess[51,1]:=0.1;dess[51,2]:=0.1;dess[51,3]:=0.1;dess[51,4]:=0.9;dess[51,5]:=0.1;
dess[52,0]:=0.1;dess[52,1]:=0.1;dess[52,2]:=0.1;dess[52,3]:=0.1;dess[52,4]:=0.9;dess[52,5]:=0.1;
dess[53,0]:=0.1;dess[53,1]:=0.1;dess[53,2]:=0.1;dess[53,3]:=0.1;dess[53,4]:=0.9;dess[53,5]:=0.1;
dess[54,0]:=0.1;dess[54,1]:=0.1;dess[54,2]:=0.1;dess[54,3]:=0.1;dess[54,4]:=0.9;dess[54,5]:=0.1;
dess[55,0]:=0.1;dess[55,1]:=0.1;dess[55,2]:=0.1;dess[55,3]:=0.1;dess[55,4]:=0.9;dess[55,5]:=0.1;
dess[56,0]:=0.1;dess[56,1]:=0.1;dess[56,2]:=0.1;dess[56,3]:=0.1;dess[56,4]:=0.9;dess[56,5]:=0.1;
dess[57,0]:=0.1;dess[57,1]:=0.1;dess[57,2]:=0.1;dess[57,3]:=0.1;dess[57,4]:=0.9;dess[57,5]:=0.1;
dess[58,0]:=0.1;dess[58,1]:=0.1;dess[58,2]:=0.1;dess[58,3]:=0.1;dess[58,4]:=0.9;dess[58,5]:=0.1;
dess[59,0]:=0.1;dess[59,1]:=0.1;dess[59,2]:=0.1;dess[59,3]:=0.1;dess[59,4]:=0.9;dess[59,5]:=0.1;
dess[60,0]:=0.1;dess[60,1]:=0.1;dess[60,2]:=0.1;dess[60,3]:=0.1;dess[60,4]:=0.1;dess[60,5]:=0.9;
dess[61,0]:=0.1;dess[61,1]:=0.1;dess[61,2]:=0.1;dess[61,3]:=0.1;dess[61,4]:=0.1;dess[61,5]:=0.9;
dess[62,0]:=0.1;dess[62,1]:=0.1;dess[62,2]:=0.1;dess[62,3]:=0.1;dess[62,4]:=0.1;dess[62,5]:=0.9;
dess[63,0]:=0.1;dess[63,1]:=0.1;dess[63,2]:=0.1;dess[63,3]:=0.1;dess[63,4]:=0.1;dess[63,5]:=0.9;
dess[64,0]:=0.1;dess[64,1]:=0.1;dess[64,2]:=0.1;dess[64,3]:=0.1;dess[64,4]:=0.1;dess[64,5]:=0.9;
dess[65,0]:=0.1;dess[65,1]:=0.1;dess[65,2]:=0.1;dess[65,3]:=0.1;dess[65,4]:=0.1;dess[65,5]:=0.9;
dess[66,0]:=0.1;dess[66,1]:=0.1;dess[66,2]:=0.1;dess[66,3]:=0.1;dess[66,4]:=0.1;dess[66,5]:=0.9;
dess[67,0]:=0.1;dess[67,1]:=0.1;dess[67,2]:=0.1;dess[67,3]:=0.1;dess[67,4]:=0.1;dess[67,5]:=0.9;
dess[68,0]:=0.1;dess[68,1]:=0.1;dess[68,2]:=0.1;dess[68,3]:=0.1;dess[68,4]:=0.1;dess[68,5]:=0.9;
dess[69,0]:=0.1;dess[69,1]:=0.1;dess[69,2]:=0.1;dess[69,3]:=0.1;dess[69,4]:=0.1;dess[69,5]:=0.9;
dess[70,0]:=0.1;dess[70,1]:=0.1;dess[70,2]:=0.1;dess[70,3]:=0.1;dess[70,4]:=0.1;dess[70,5]:=0.9;
dess[71,0]:=0.1;dess[71,1]:=0.1;dess[71,2]:=0.1;dess[71,3]:=0.1;dess[71,4]:=0.1;dess[71,5]:=0.9;

```

```

{ *****
  BAŞLANGIÇ MATRİSİ
  *****

for i:= 0 to num-1 do
  for j:= 0 to ( inputs+Outputs-2 ) do
    matrix[i,j]:= 0;

for ii:= 0 to ( Trunc(Iterative_Max/Every)-1 ) do
  for i:= 0 to num-1 do
    for j:= 0 to ( inputs+Outputs-2 ) do
      matrix_tmp[ii,i,j]:=0;
  assign(outfile,'outfile.txt');
  assign(weightfile,'wof.num');
  for i:=1 to 24 do
    writeln;
    write('Eitim ( 0 veya Test ( 1 ? ');
    readln(tt);
    if tt=1 then goto 10;
    writeln('Eitim ...');writeln; rewrite(outfile);
    wrand;
    j:=0;dcount:=trunc(iterative_max/every)+1;

{ *****
  ÖĞRENME FAZI
  *****

} while ( j < Iterative_Max ) do

```

```

begin
dcount:=dcount-1;
for count:= 0 to Every-1 do
begin
  error:= 0;
  for isylla:=0 to num-1 do
  begin
    initial;
    yread( isylla );
    wforward;
    err:= back;
    learning( alp, eps );
    error:= error+err;
  end;
  error:= error / outputs;
  eps:= 0.5 * sqrt( error );
  Inc(j);
end;

{ **** TEST ETME FAZI **** }

terror:= 0;
for isylla:= 0 to num-1 do
begin
  yread( isylla );
  wforward;
  terr:= back;
  terror:= terror + terr;
  make_matrix( trunc( j/Every ) - 1, isylla ); end;
writeln( outfile, 'NO: A1 A2 A3 A4 P D BD K BB Da Dk   desired value' );
writeln( outfile, '-----' );
for i:= 0 to num-1 do
begin
  str( i:2, st1 );
  write(outfile,st1+");";
  for ii:= 0 to inputs-1 do
  begin
    str( matrix_tmp[trunc(j/Every)-1,i,ii]:6:3, st1 );
    write(outfile,st1+");";
  end;
  write(outfile,'');
  for ii:= 0 to outputs-1 do
  begin
    str( matrix_tmp[trunc(j/Every)-1,i,inputs+ii]:3:1, st1 ); write( outfile,
      st1+");";
  end;
  for ii:= 0 to outputs-1 do
  begin
    str(dess[i,ii]:3:1,st1);
    write( outfile,st1+");";
  end;
  writeln(outfile,"");
end;

```

```

terror:= terror/outputs;
str ( j:4, st1 ); str ( cps:9:6, st2 );
str ( error:9:6, st3 ); str ( terror:9:6, st4 );
writeln( outfile, 'iteration=' , st1, ' ', eps=' , st2,
          ' ', error_1=' , st3, ' ', error_t=' , st4 );
writeln( outfile );
{ }

total_rate:=0;
for isylla:= 0 to outputs-1 do
begin
  rate[isylla]:= trunc(matrix_tmp[trunc(j/Every)-1,isylla,isylla]); total_rate:= total_rate +
  rate[isylla];
end;
total_rate:= total_rate/outputs;
{ }
if ( j = Iterative_Max ) then
begin
  writeln( outfile, 'Learn & test finished at time' );
  end;
write_weights;
end;
close( outfile );
goto 30;
10:writeln('Test ...');writeln;
read_weights;
20:write('A1 = ?');readin(out[0,0]);
write('A2 = ?');readin(out[0,1]);
write('A3 = ?');readin(out[0,2]);
write('A4 = ?');readin(out[0,3]);
write('P = ?');readin(out[0,4]);
wforward;
writeln(' A1   A2   A3   A4   P    D BD K BB DADK ');
writeln('----- ----- ----- ----- ----- ----- -----');
for ii:=0 to inputs-1 do
begin
  str(out[0,ii]:4:3,st1);
  write(st1+' ');
end;
writeln(' ');
for ii:=0 to outputs-1 do
begin
  str(out[layers-1,ii]:3:1,st1);
  write(st1+' ');
end;
writeln;writeln;
goto 20;
30: end.

```

## ÖZGEÇMİŞ

<b>Bekir KARLIK</b>	Elektrik Yüksek Mühendisi (1991 Yıldız Teknik Üniversitesi)
<b>Doğum Tarihi ve Yeri</b>	08.01.1964, Karaman
<b>1984-1988</b>	Yıldız Teknik Üniversitesi Elektrik-Elektronik Fakültesi Elektrik Mühendisliği Bölümü
<b>1978-1981</b>	İzmir Mithat Paşa Endüstri Meslek Lisesi Elektrik Bölümü
<b>1975-1978</b>	İzmir 9 Eylül Orta Okulu
<b>1970-1975</b>	Karaman İstiklal İlkokulu
<b>GÖREVİ</b>	
<b>1989-1993</b>	Araştırma Görevlisi Yıldız Teknik Üniversitesi Elektrik Elektronik Fakültesi Elektrik Mühendisliği Bölümü Kontrol ve Kumanda Sistemleri Anabilim Dalı
<b>Yabancı Dil</b>	İngilizce, Fransızca